

図-6. 6. 1. 23(7) 電磁流速計による調査結果に基づく夏季の潮流楕円

注) 調査期間：平成 20 年 7 月 3 日～9 月 5 日（解析は 8～9 月の 30 日間のデータを用いています）

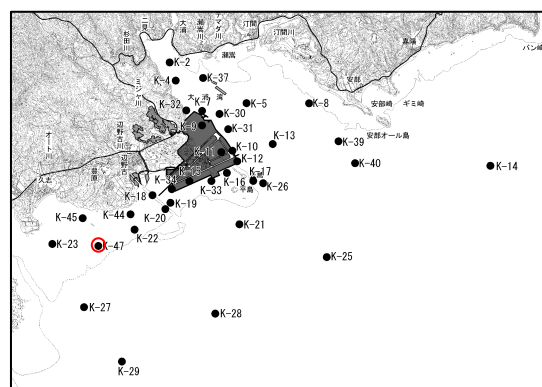
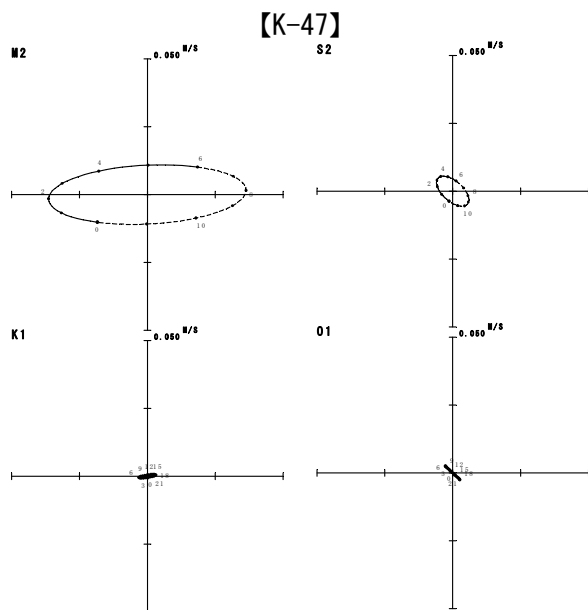


図-6. 6. 1. 23(8) 電磁流速計による調査結果に基づく夏季の潮流楕円

注) 調査期間：平成 20 年 7 月 3 日～9 月 5 日（解析は 8～9 月の 30 日間のデータを用いています。）

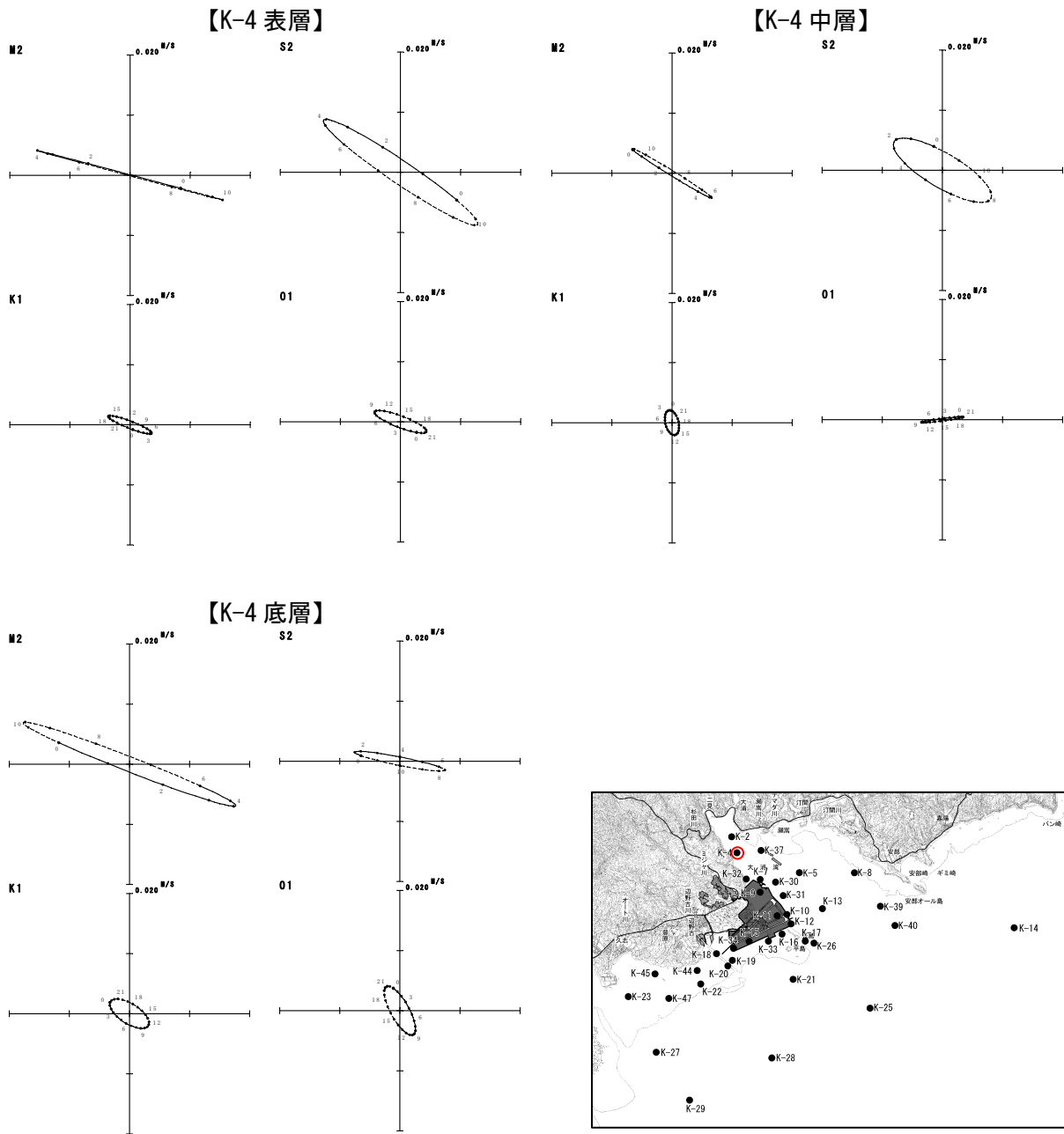


図-6.6.1.24(1) 超音波流速計による調査結果に基づく夏季の潮流楕円

注) 調査期間：平成 20 年 7 月 3 日～9 月 5 日 (解析は 8～9 月の 30 日間のデータを用いています。)

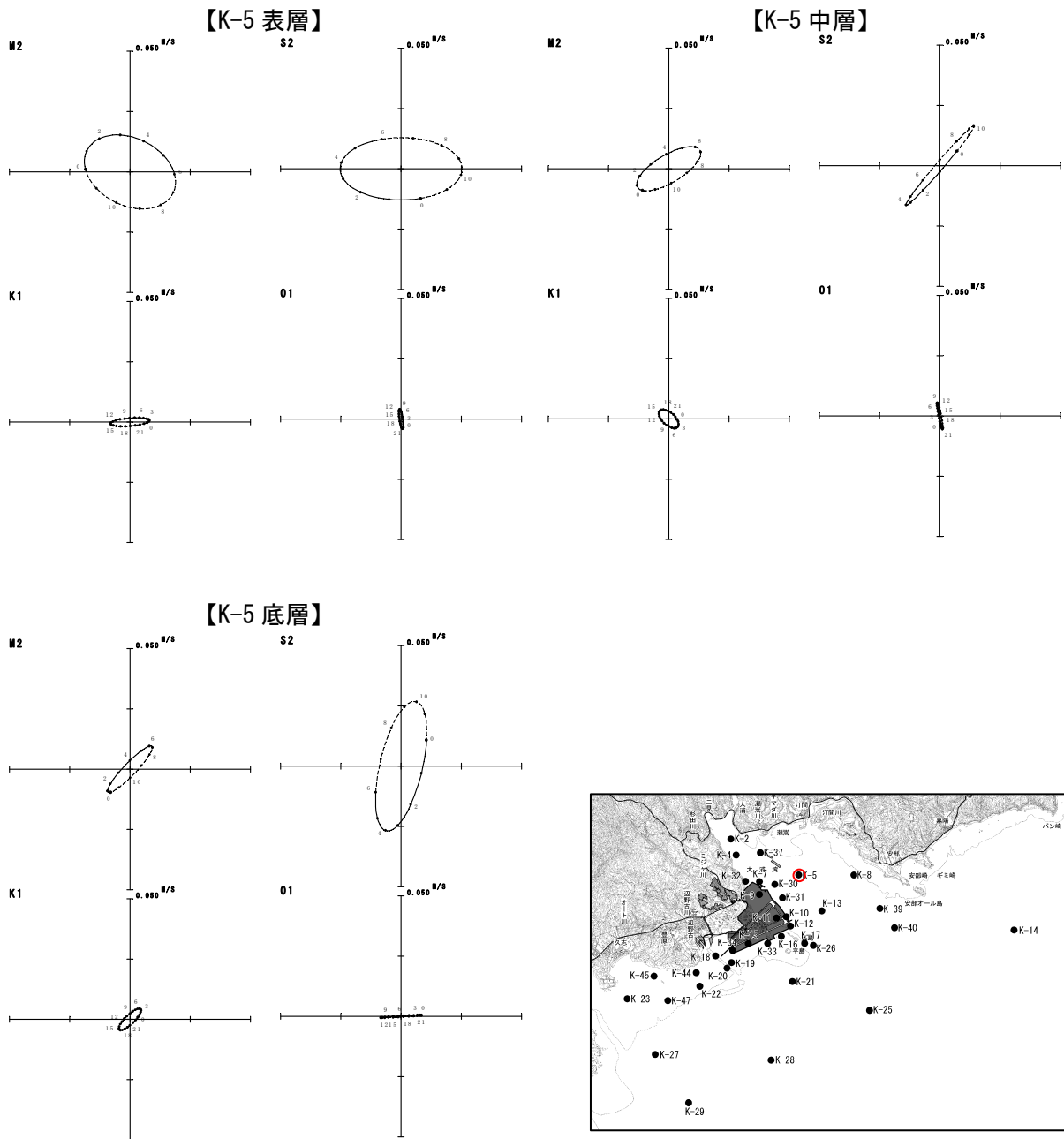


図-6.6.1.24(2) 超音波流速計による調査結果に基づく夏季の潮流楕円

注) 調査期間：平成20年7月3日～9月5日（解析は8～9月の30日間のデータを用いています。）

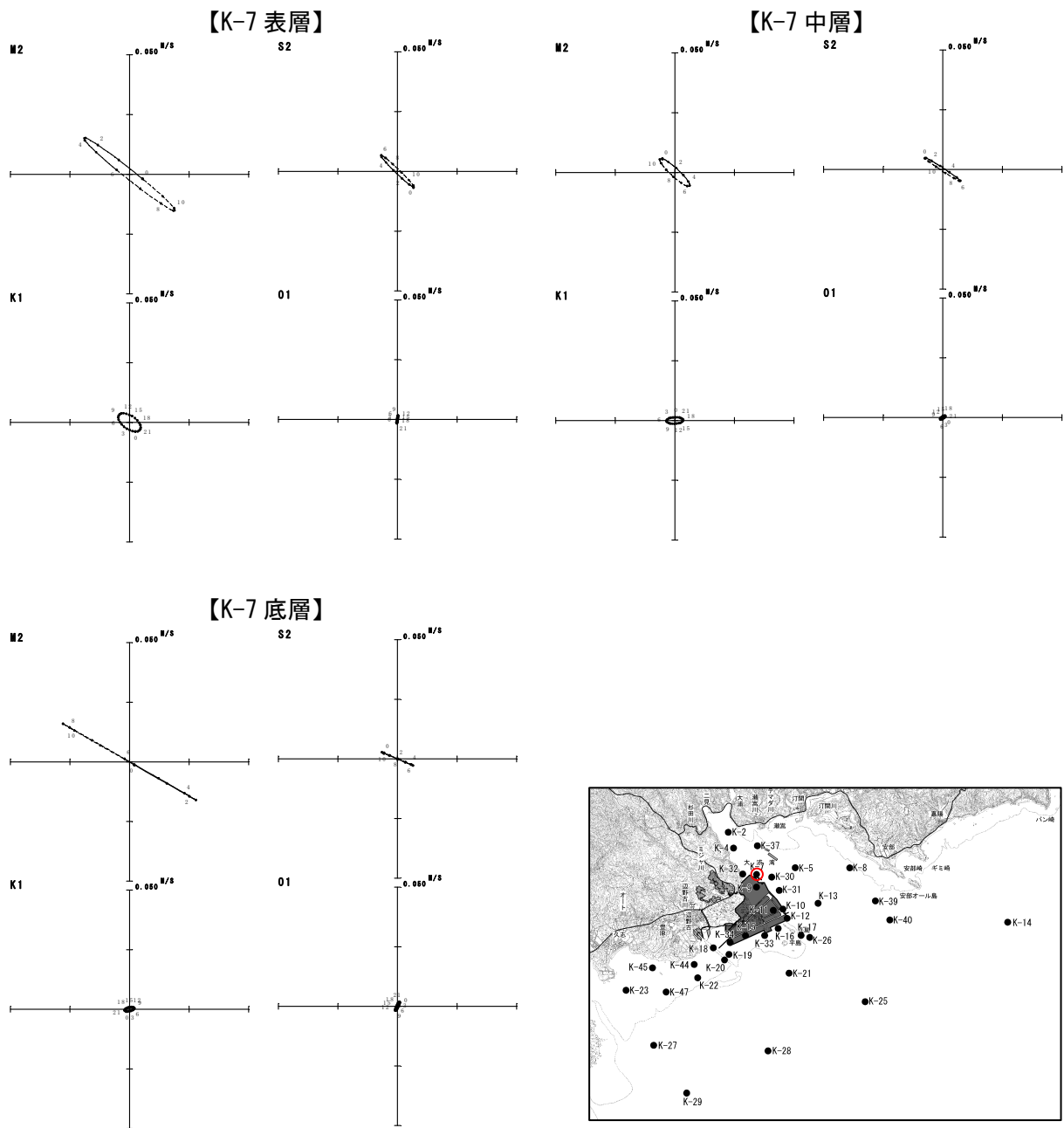


図-6. 6. 1. 24(3) 超音波流速計による調査結果に基づく夏季の潮流楕円  
 注) 調査期間：平成 20 年 7 月 3 日～9 月 5 日 (解析は 8～9 月の 30 日間のデータを用いています。)

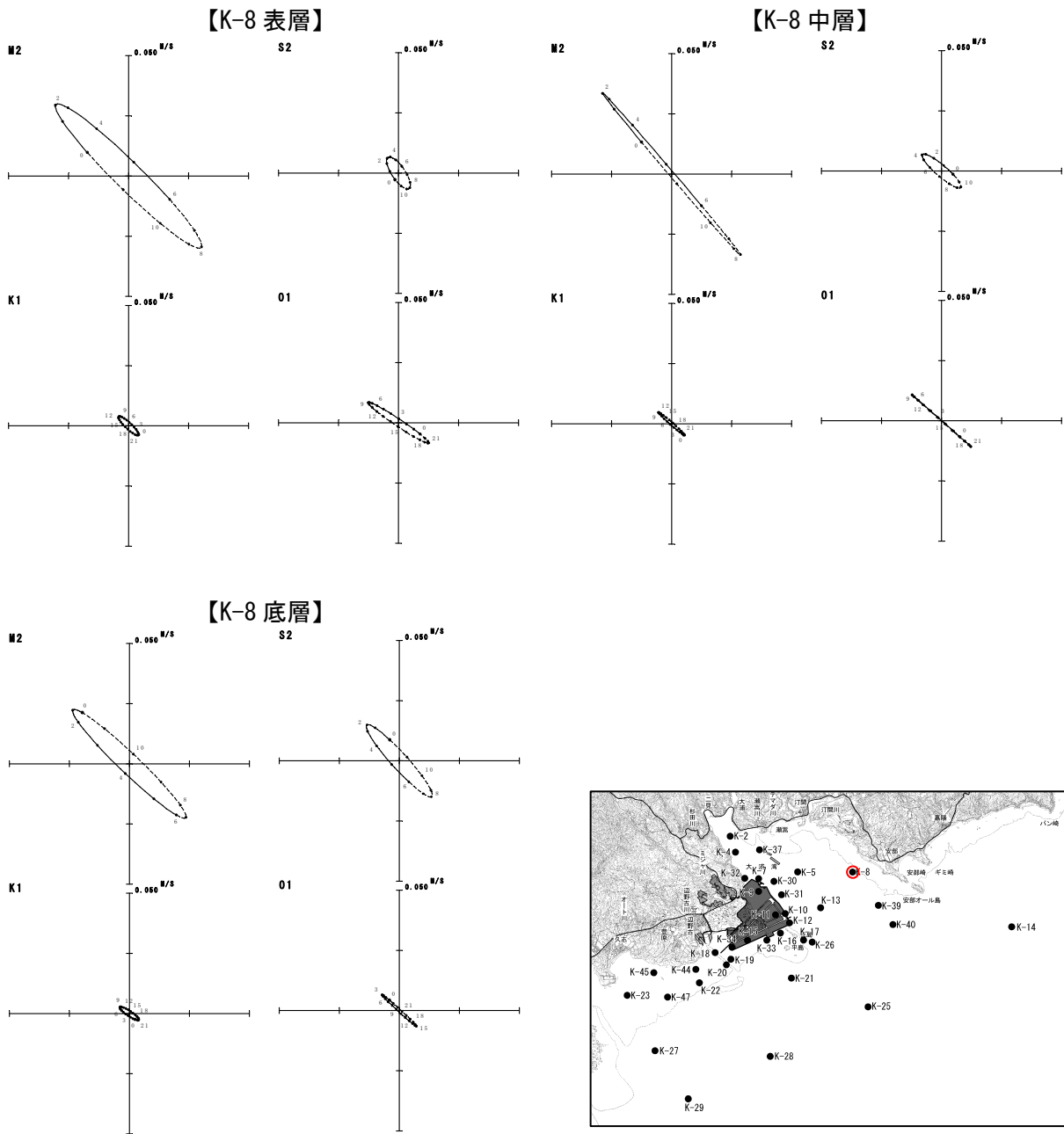


図-6.6.1.24(4) 超音波流速計による調査結果に基づく夏季の潮流楕円  
 注) 調査期間：平成20年7月3日～9月5日（解析は8～9月の30日間のデータを用いています。）

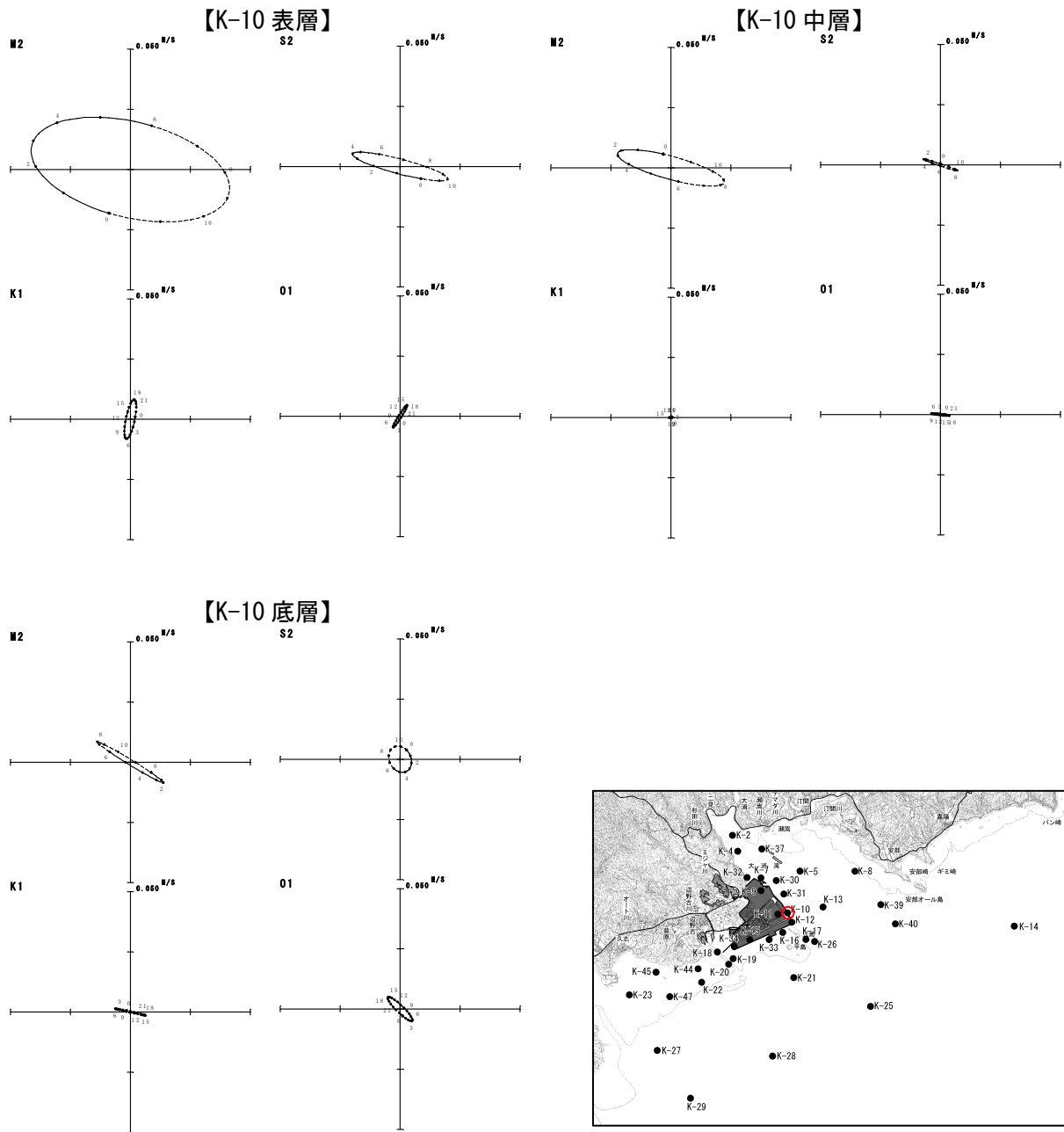


図-6.6.1.24(5) 超音波流速計による調査結果に基づく夏季の潮流楕円  
 注) 調査期間：平成20年7月3日～9月5日（解析は8～9月の30日間のデータを用いています。）

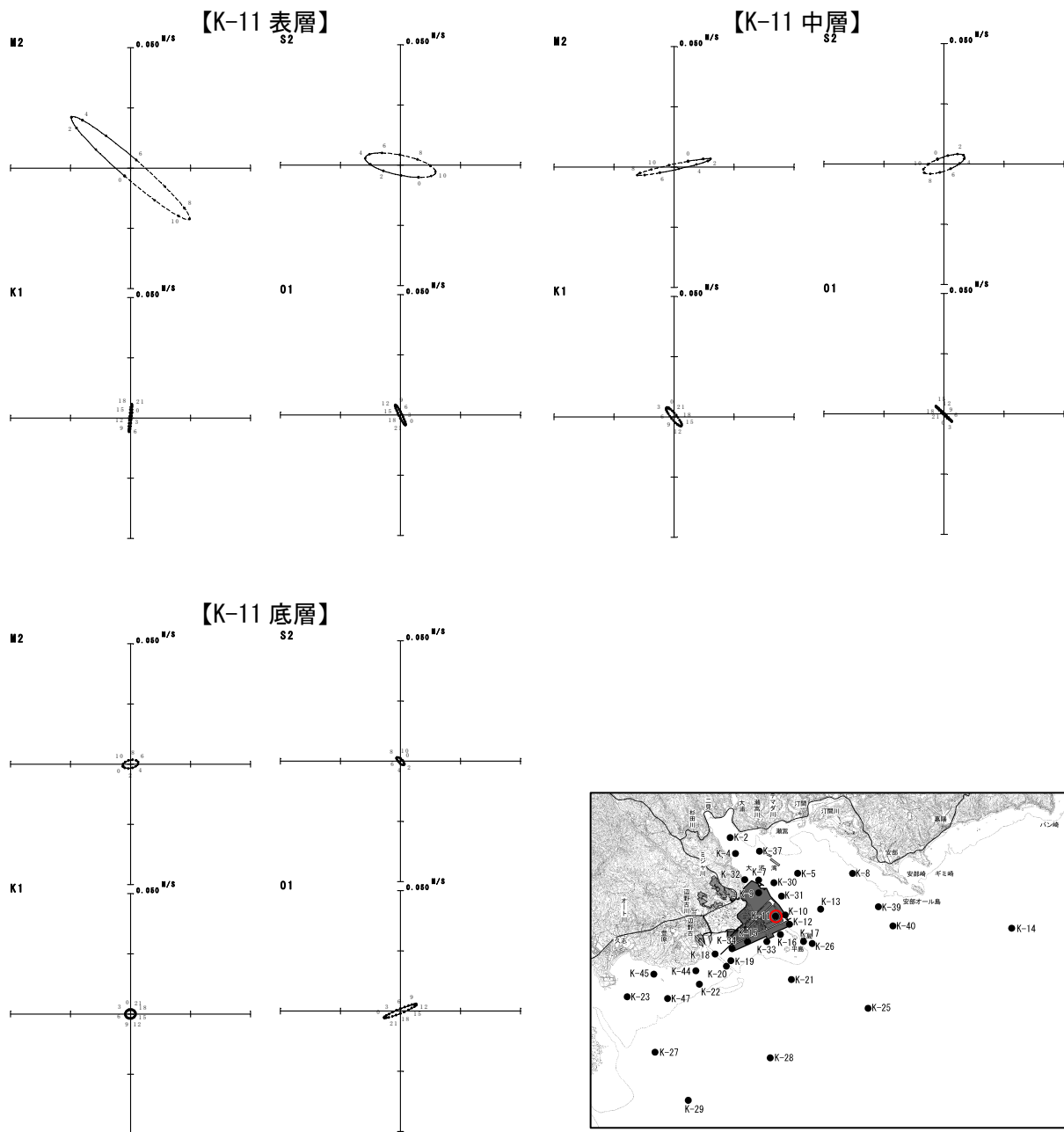


図-6.6.1.24(6) 超音波流速計による調査結果に基づく夏季の潮流楕円  
 注) 調査期間：平成20年7月3日～9月5日（解析は8～9月の30日間のデータを用いています。）

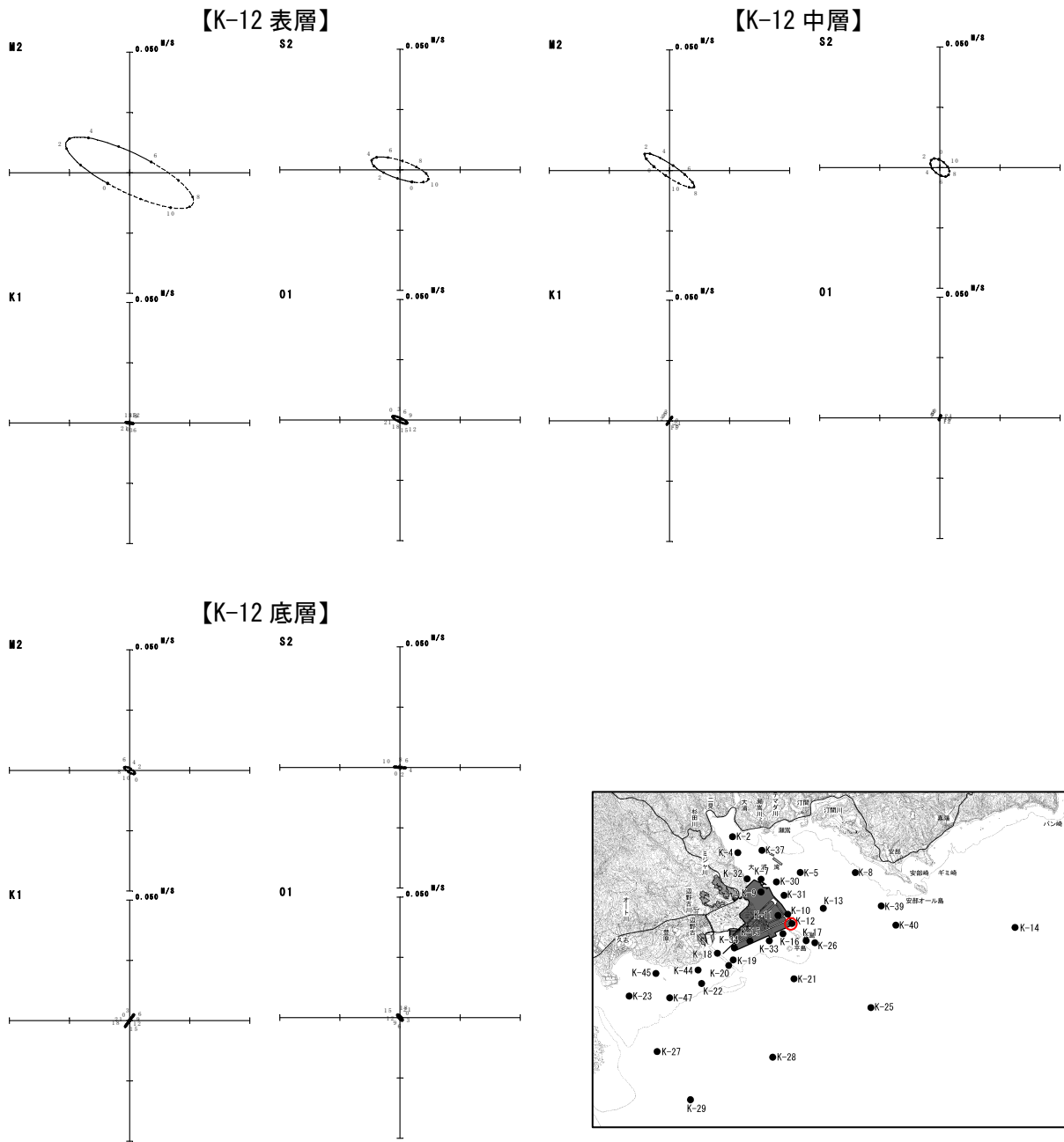


図-6.6.1.24(7) 超音波流速計による調査結果に基づく夏季の潮流楕円  
 注) 調査期間：平成20年7月3日～9月5日 (解析は8～9月の30日間のデータを用いています。)

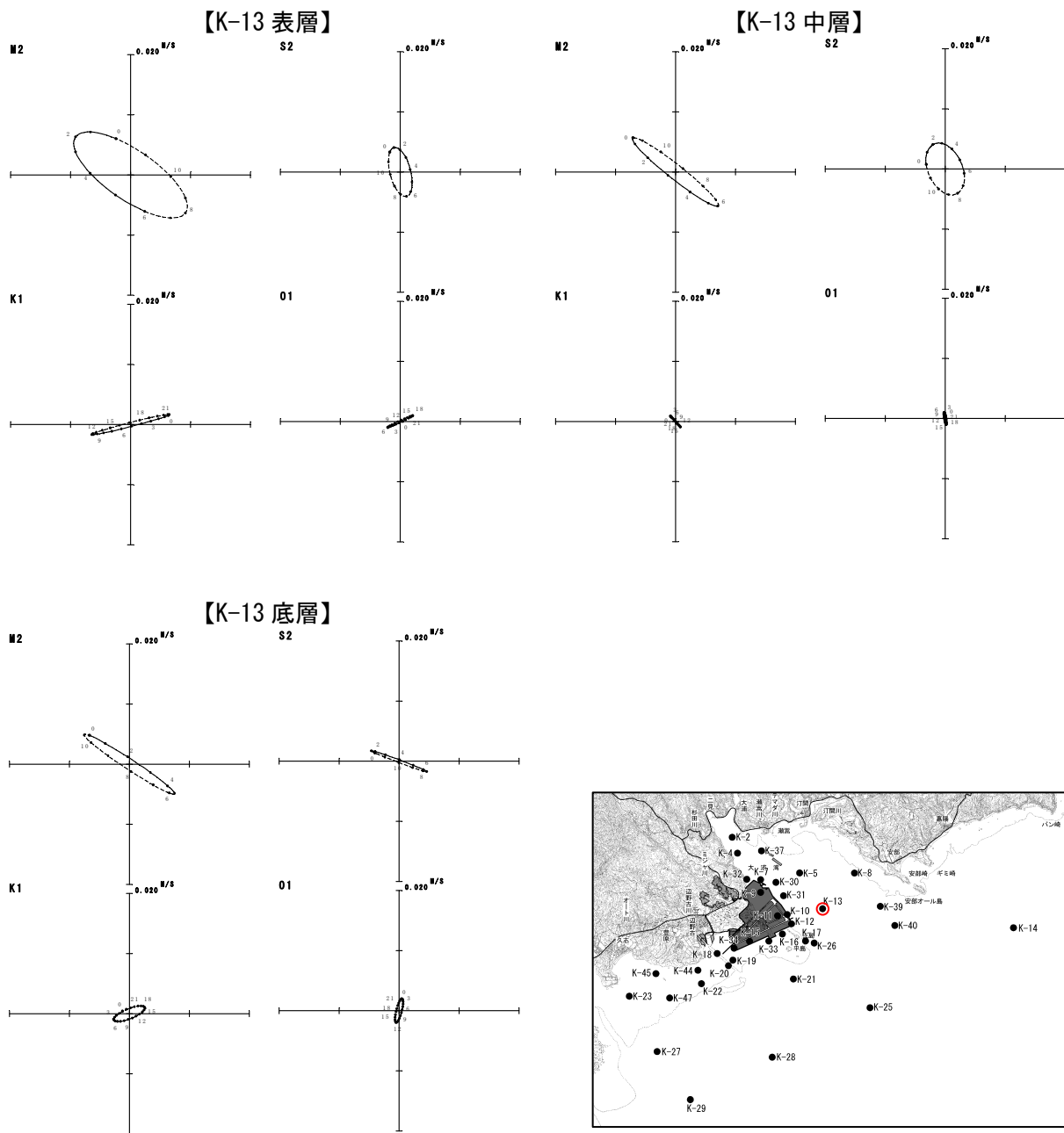


図-6.6.1.24(8) 超音波流速計による調査結果に基づく夏季の潮流楕円  
 注) 調査期間：平成20年7月3日～9月5日（解析は8～9月の30日間のデータを用いています。）

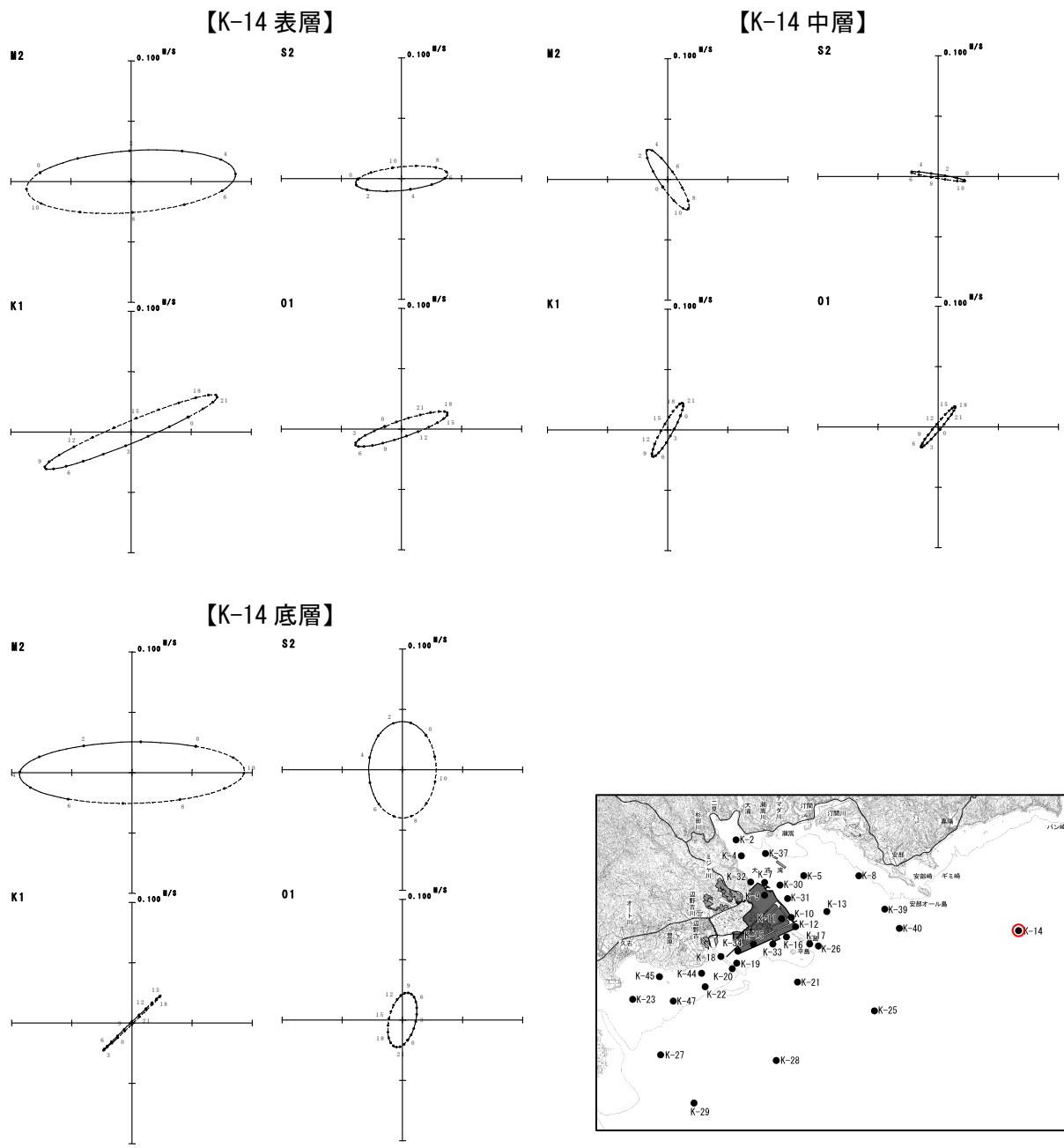


図-6.6.1.24(9) 超音波流速計による調査結果に基づく夏季の潮流楕円  
 注) 調査期間：平成20年7月3日～9月5日 (解析は8～9月の30日間のデータを用いています。)

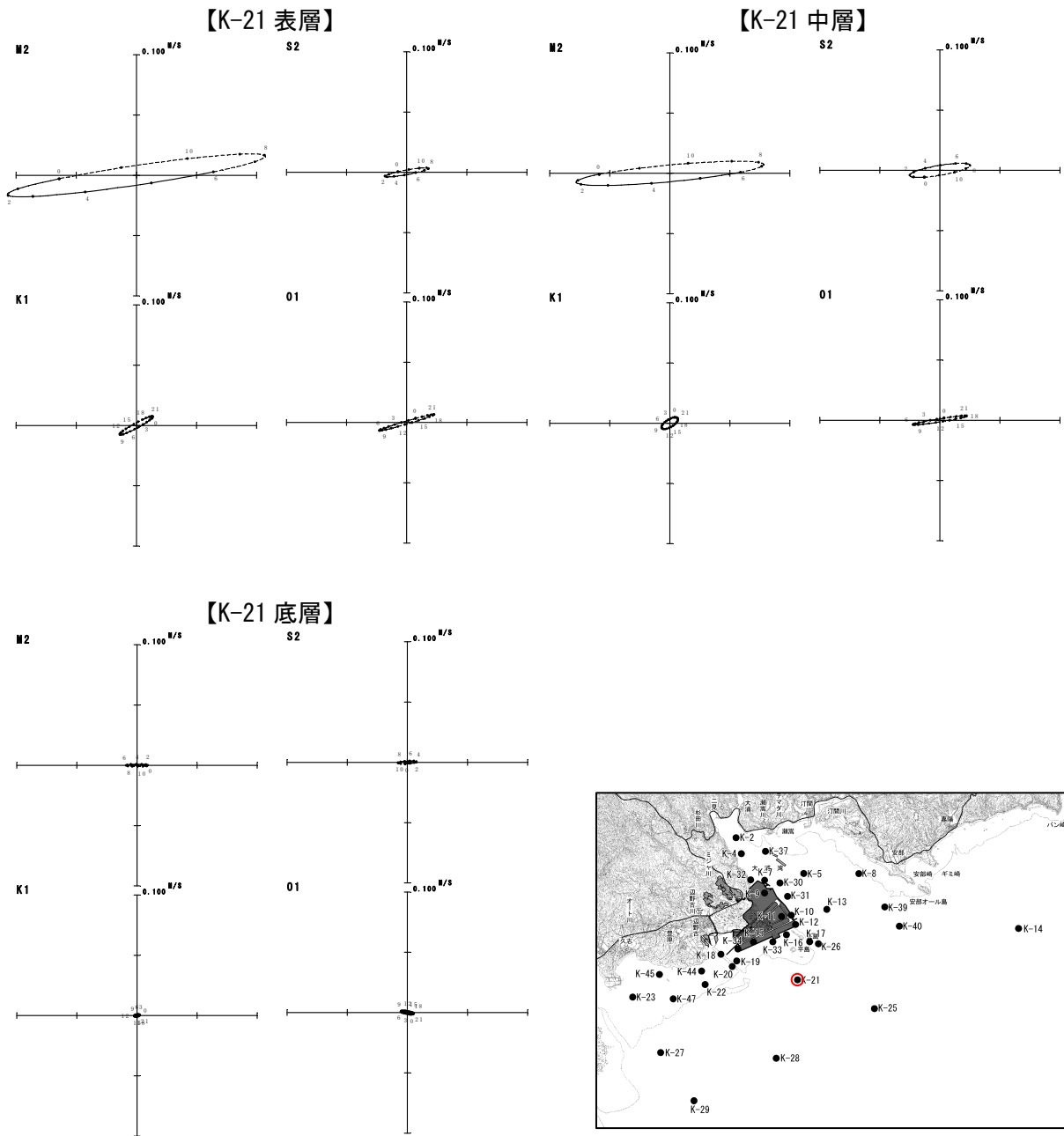


図-6.6.1.24(10) 超音波流速計による調査結果に基づく夏季の潮流楕円  
 注) 調査期間：平成20年7月3日～9月5日 (解析は8～9月の30日間のデータを用いています。)

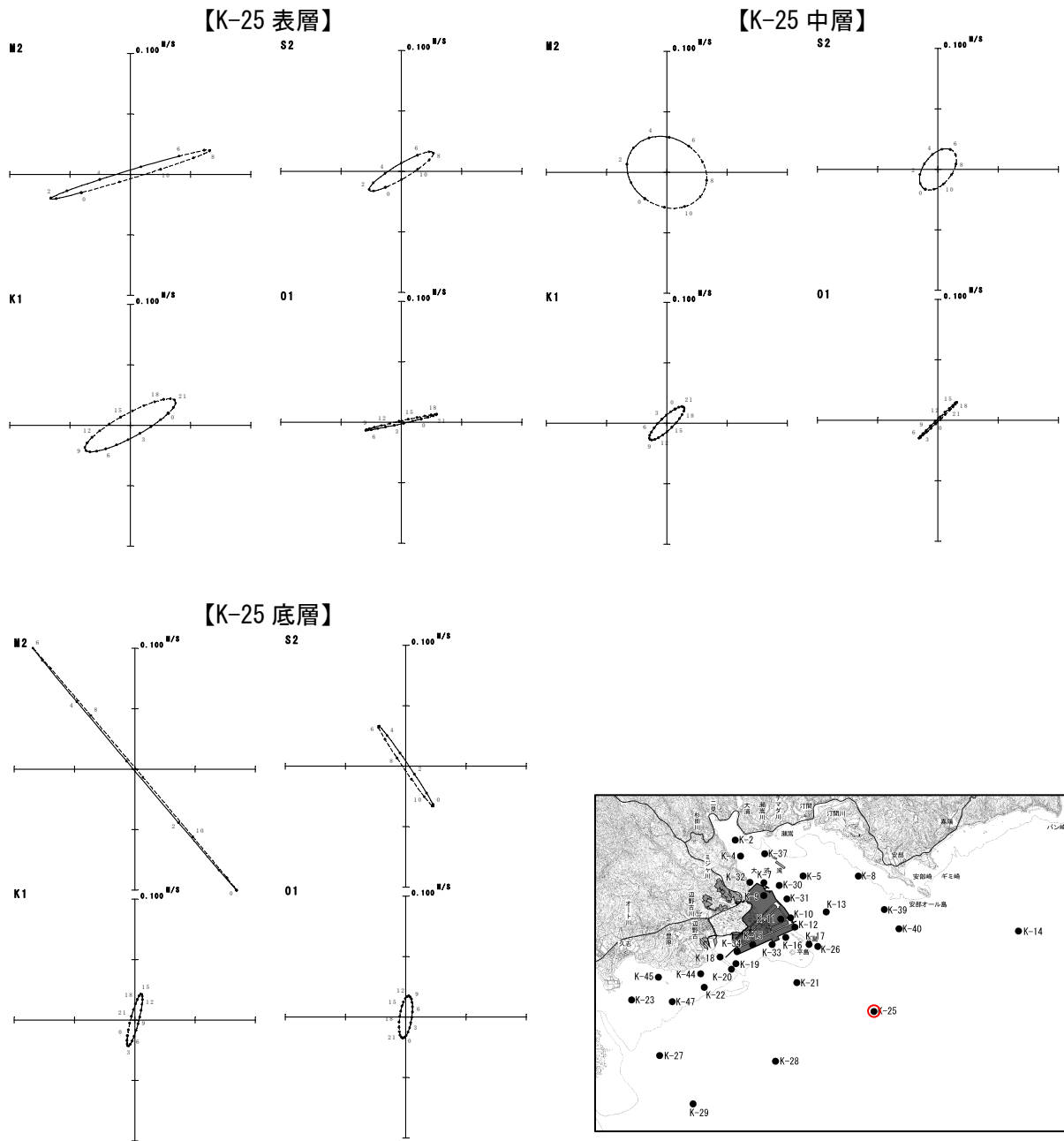


図-6.6.1.24(11) 超音波流速計による調査結果に基づく夏季の潮流楕円  
 注) 調査期間：平成20年7月3日～9月5日 (解析は8～9月の30日間のデータを用いています。)

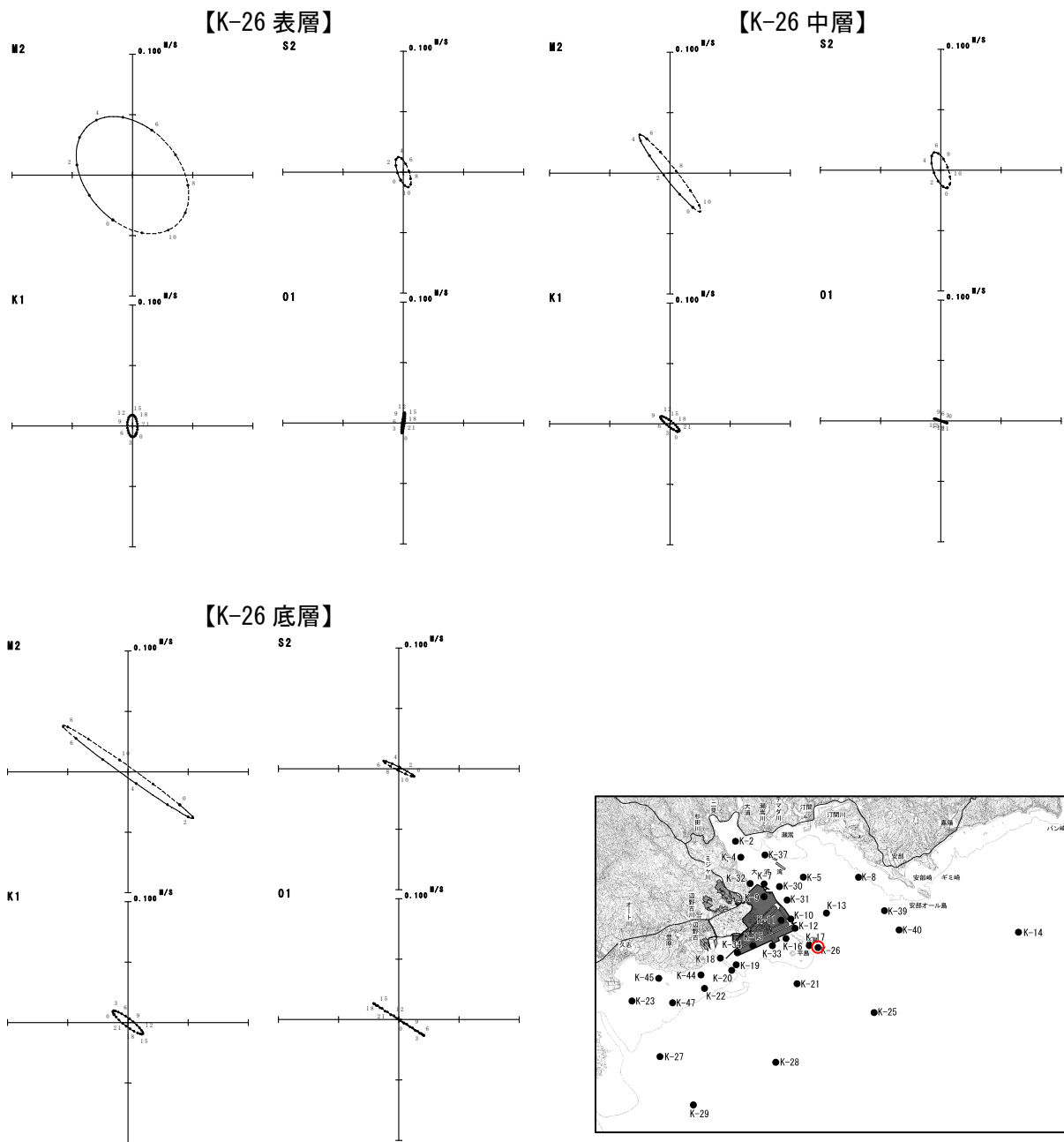


図-6.6.1.24(12) 超音波流速計による調査結果に基づく夏季の潮流楕円  
 注) 調査期間：平成20年7月3日～9月5日（解析は8～9月の30日間のデータを用いています。）



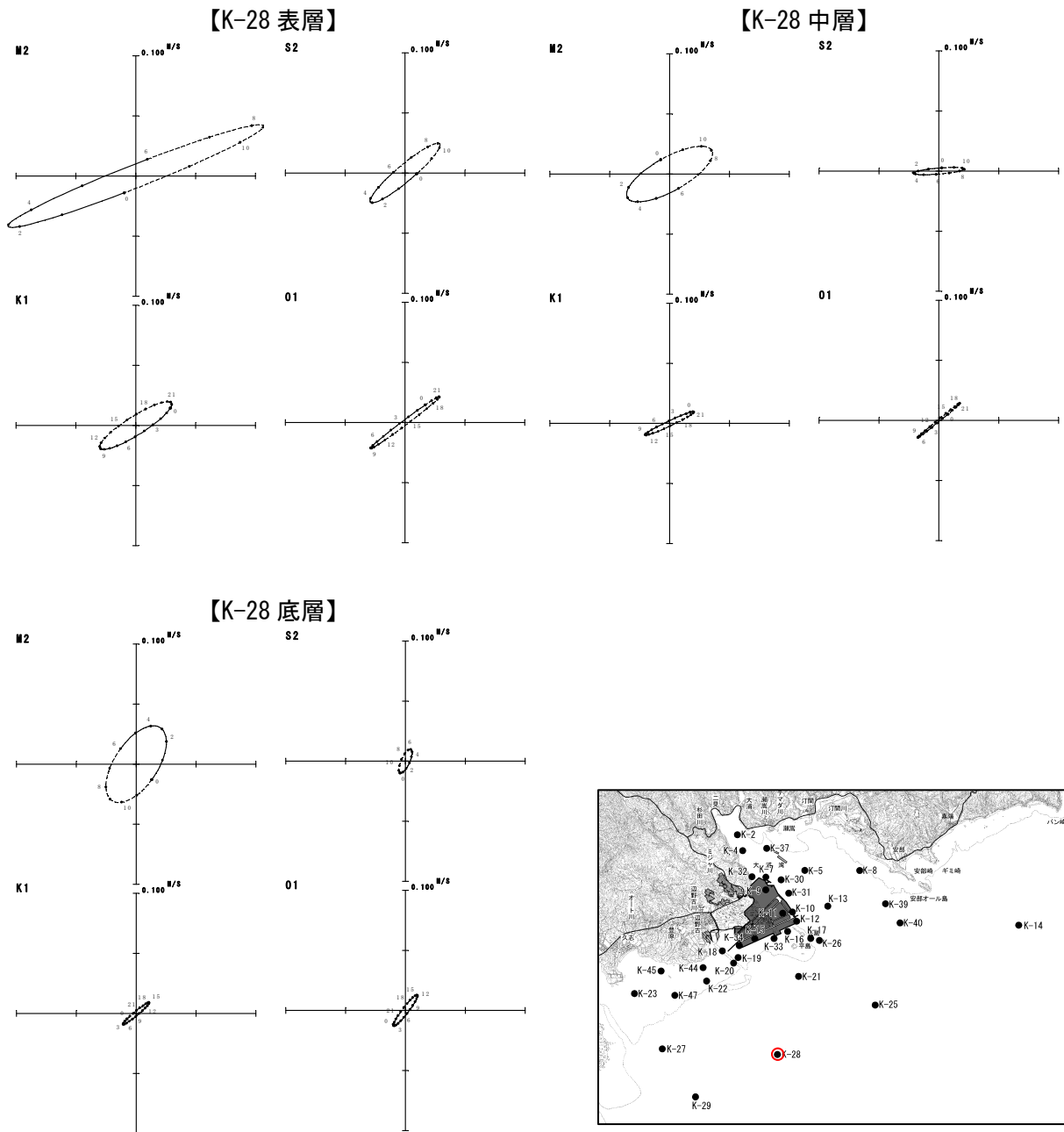


図-6.6.1.24(14) 超音波流速計による調査結果に基づく夏季の潮流楕円  
 注) 調査期間：平成20年7月3日～9月5日 (解析は8～9月の30日間のデータを用いています。)

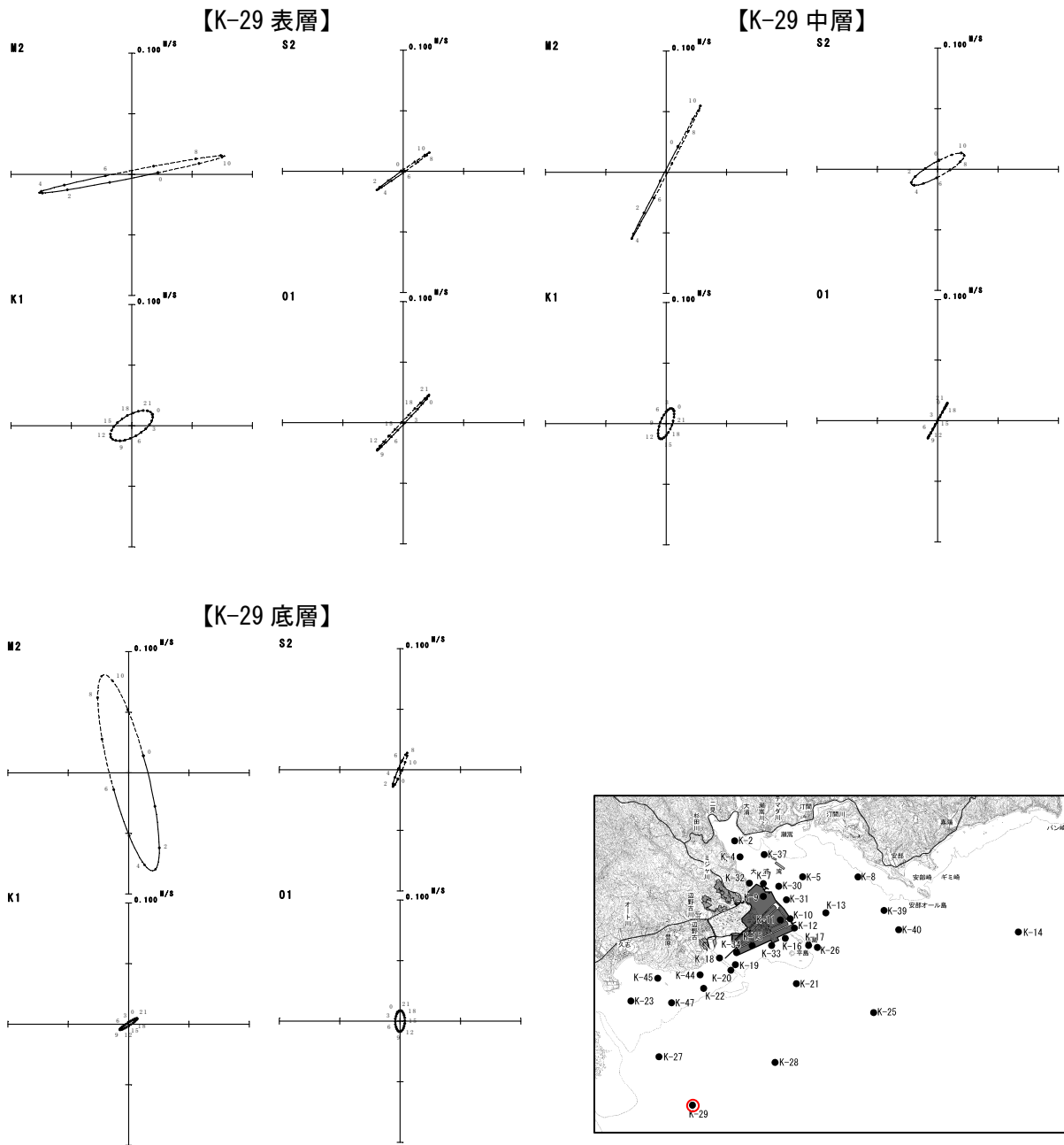


図-6.6.1.24(15) 超音波流速計による調査結果に基づく夏季の潮流楕円  
 注) 調査期間：平成20年7月3日～9月5日（解析は8～9月の30日間のデータを用いています。）

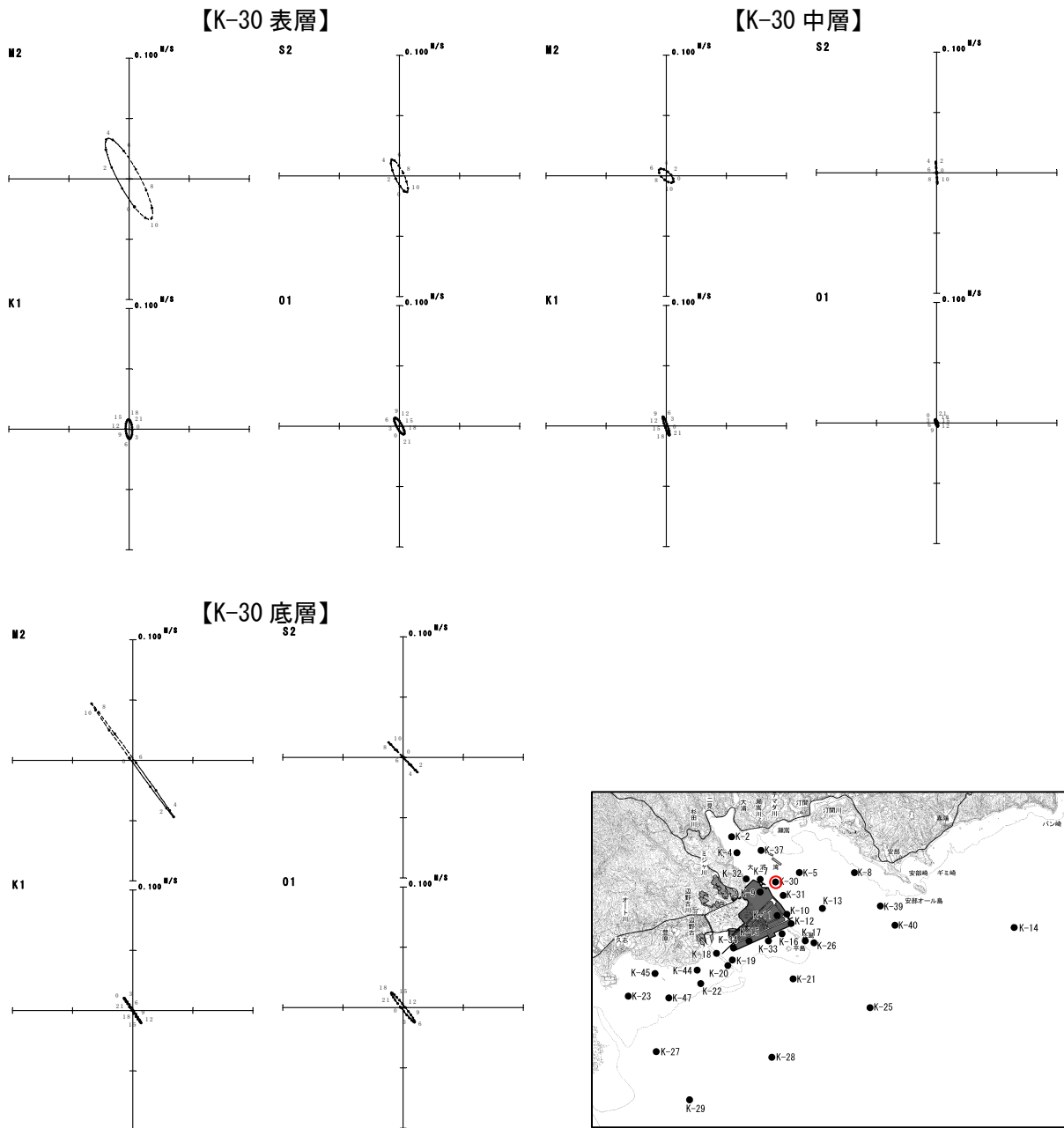


図-6.6.1.24(16) 超音波流速計による調査結果に基づく夏季の潮流楕円  
 注) 調査期間：平成20年7月3日～9月5日 (解析は8～9月の30日間のデータを用いています。)

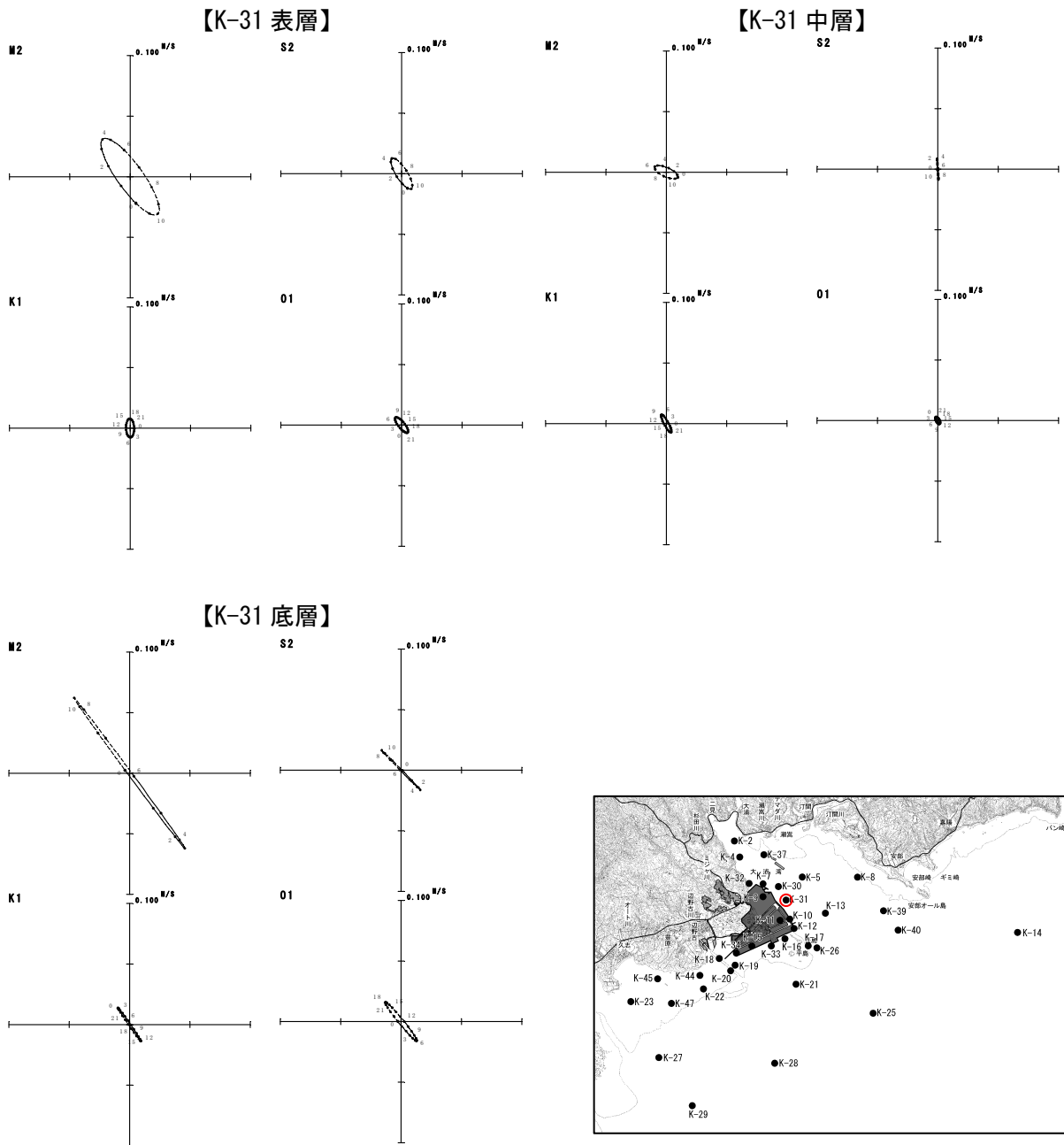


図-6.6.1.24(17) 超音波流速計による調査結果に基づく夏季の潮流楕円  
 注) 調査期間：平成20年7月3日～9月5日（解析は8～9月の30日間のデータを用いています。）

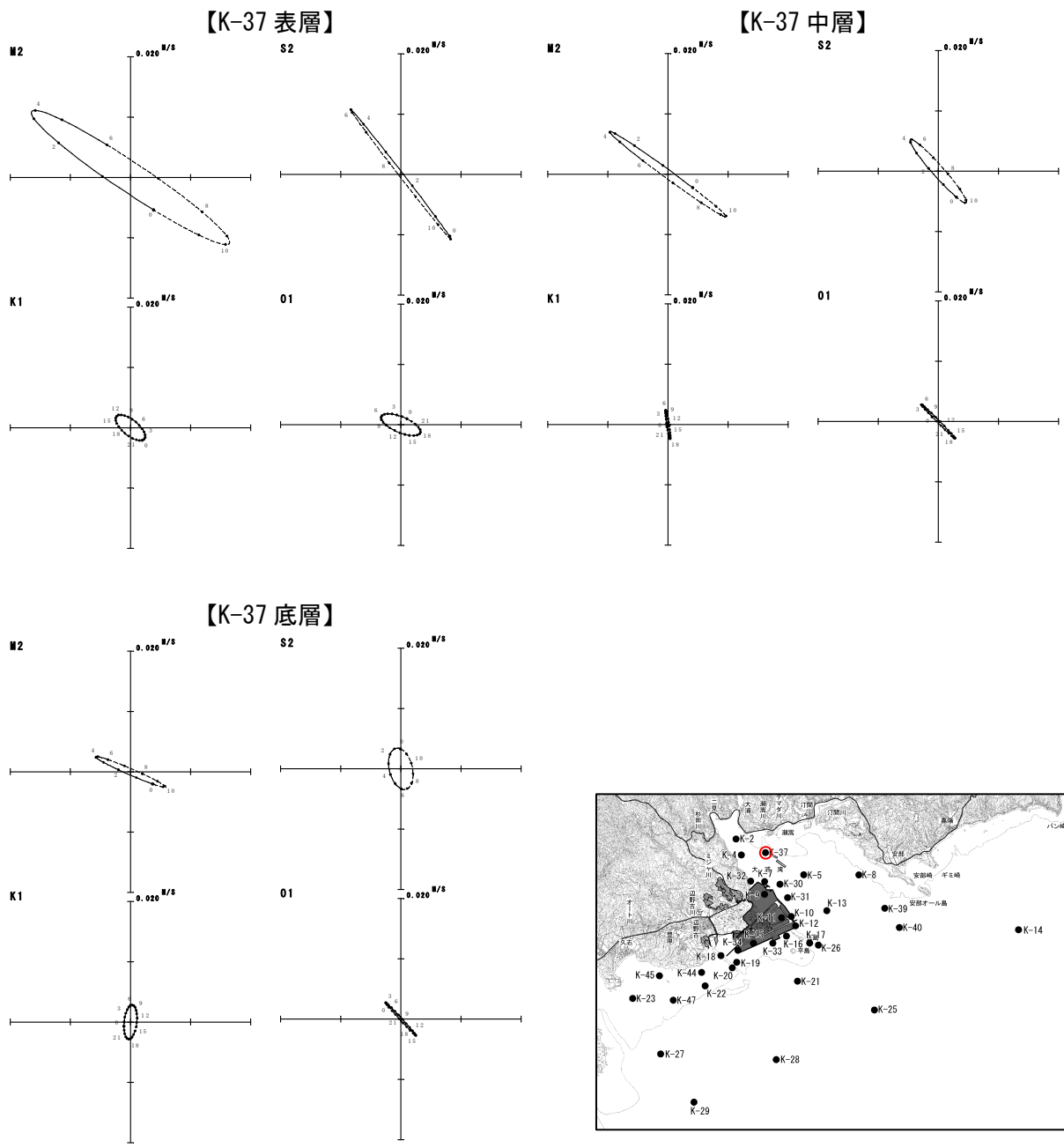


図-6.6.1.24(18) 超音波流速計による調査結果に基づく夏季の潮流楕円  
 注) 調査期間：平成20年7月3日～9月5日（解析は8～9月の30日間のデータを用いています。）

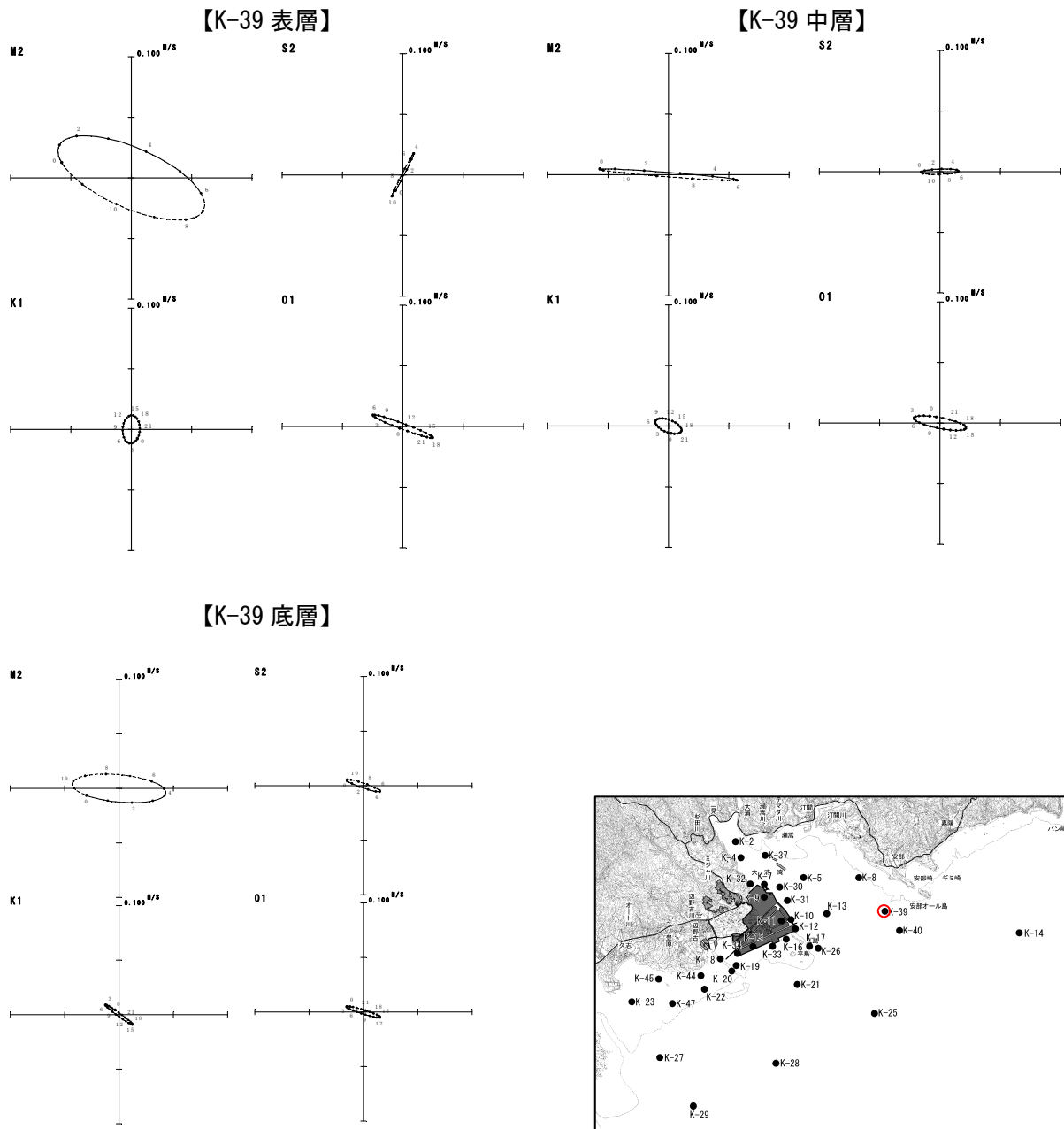


図-6.6.1.24(19) 超音波流速計による調査結果に基づく夏季の潮流楕円  
 注) 調査期間：平成20年7月3日～9月5日（解析は8～9月の30日間のデータを用いています。）

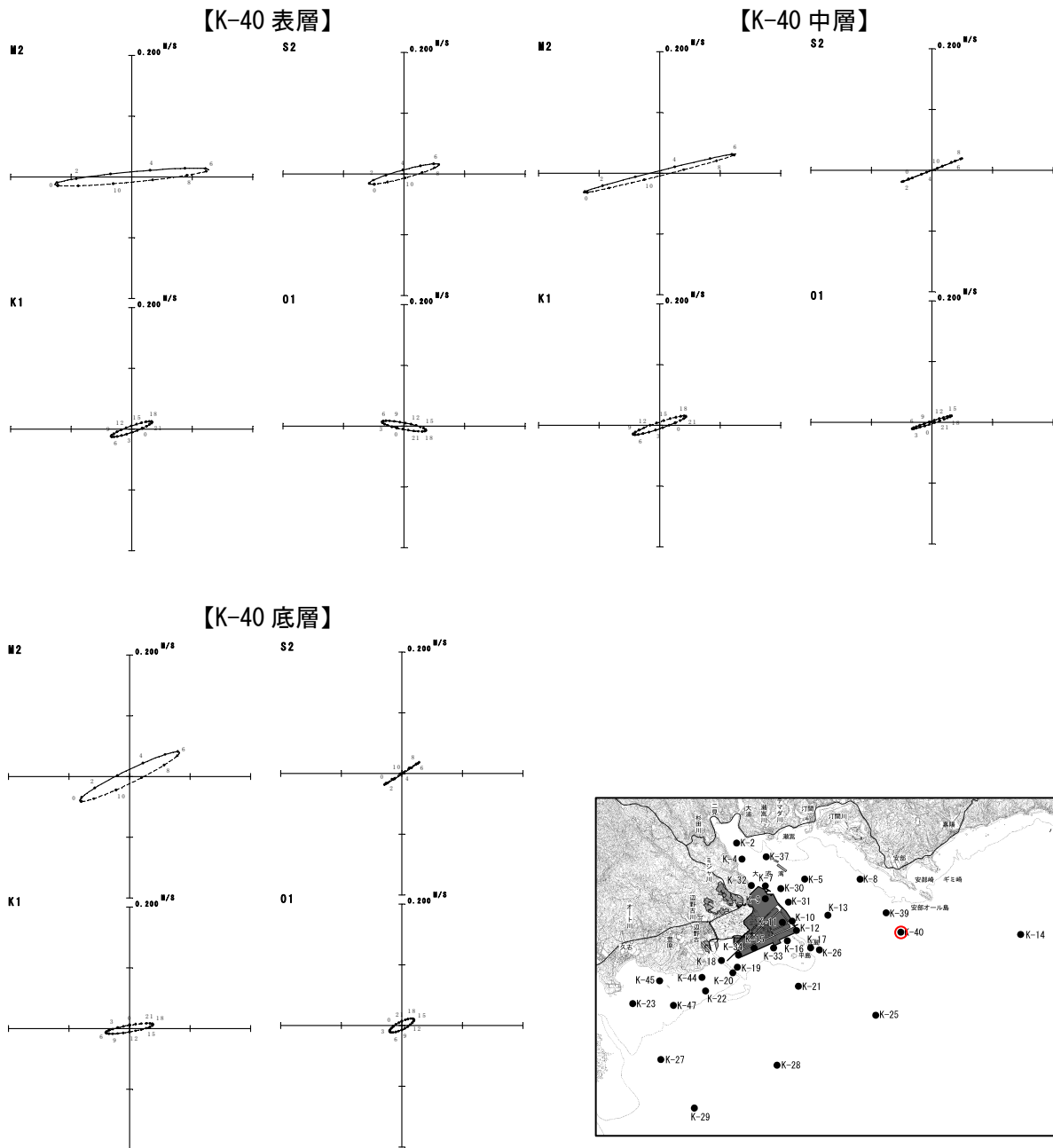


図-6.6.1.24(20) 超音波流速計による調査結果に基づく夏季の潮流楕円  
 注) 調査期間：平成20年7月3日～9月5日（解析は8～9月の30日間のデータを用いています。）

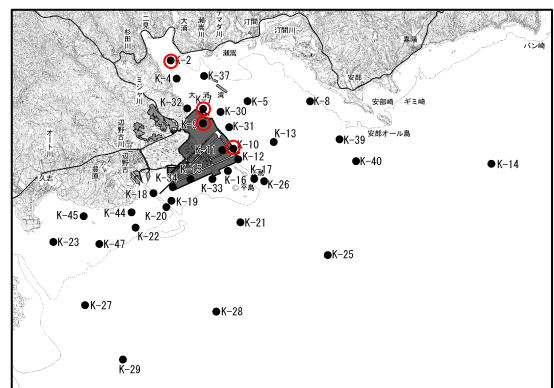
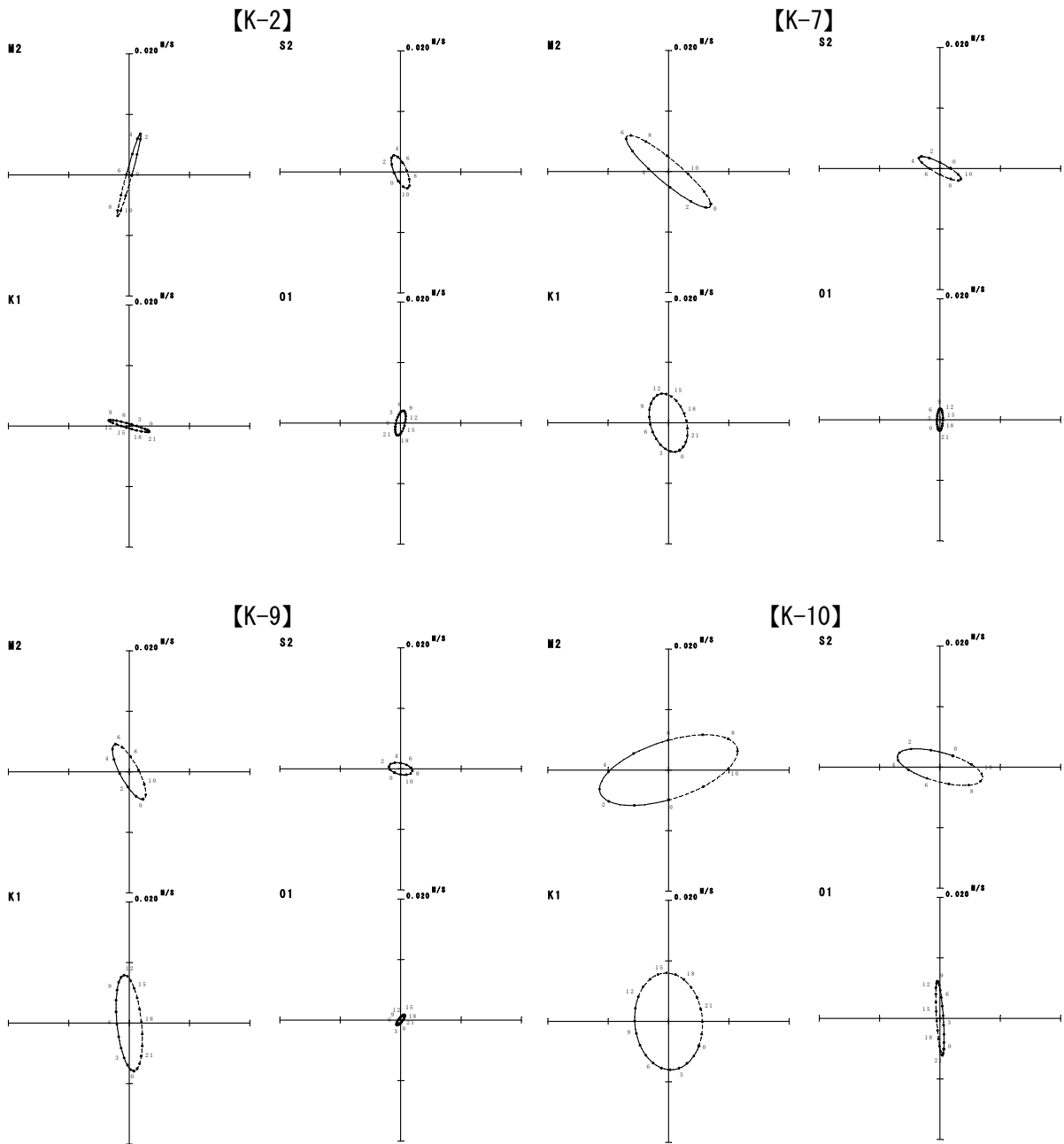


図-6. 6. 1. 25(1) 電磁流速計による調査結果に基づく秋季の潮流楕円

注) 調査期間：平成 20 年 10 月 5 日～11 月 6 日

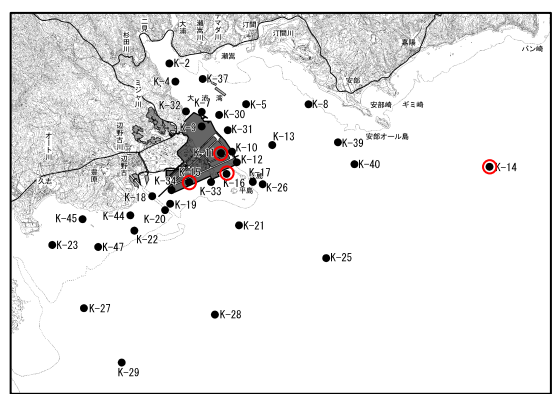
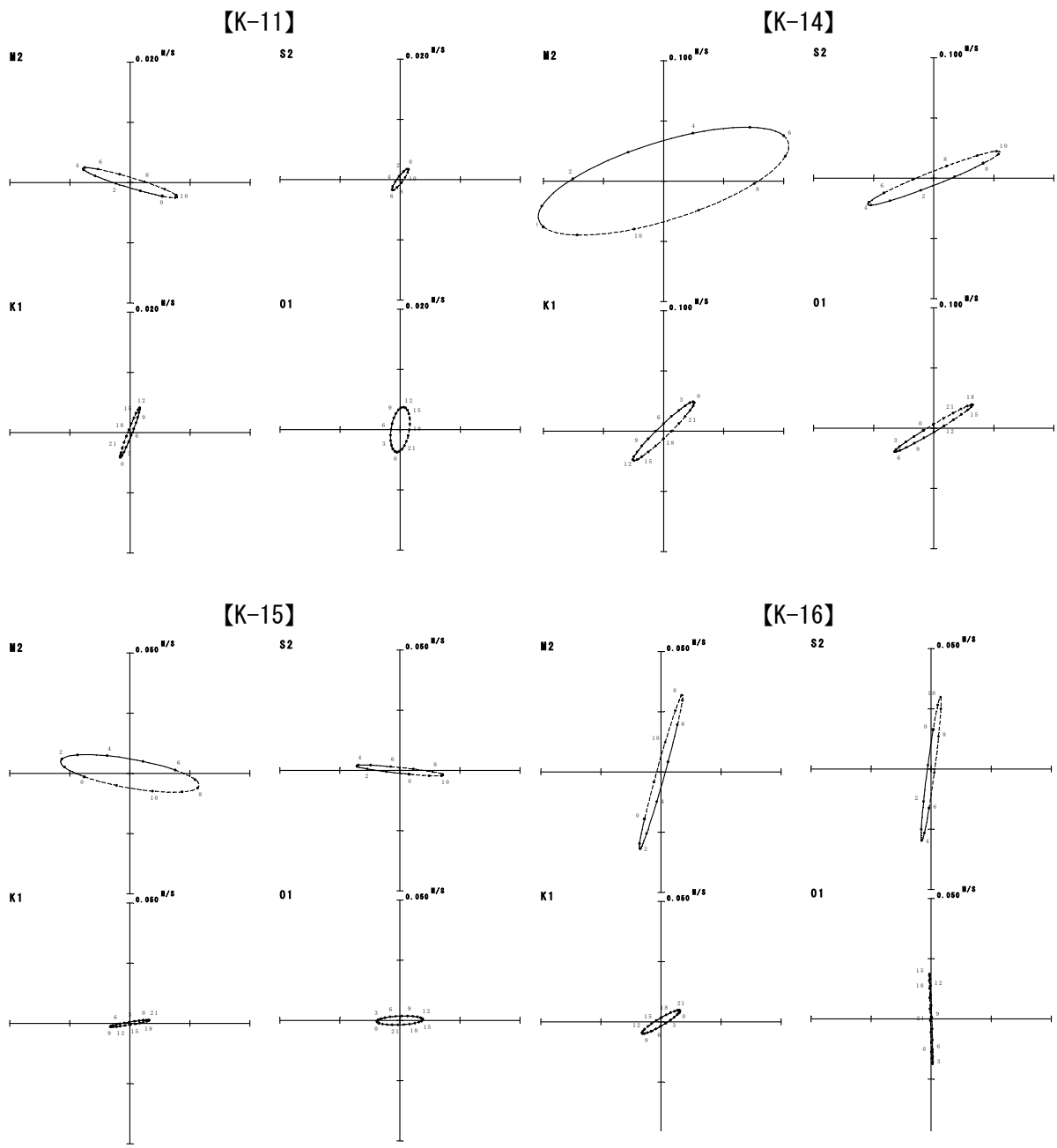


図-6. 6. 1. 25(2) 電磁流速計による調査結果に基づく秋季の潮流楕円  
 注) 調査期間：平成 20 年 10 月 5 日～11 月 6 日

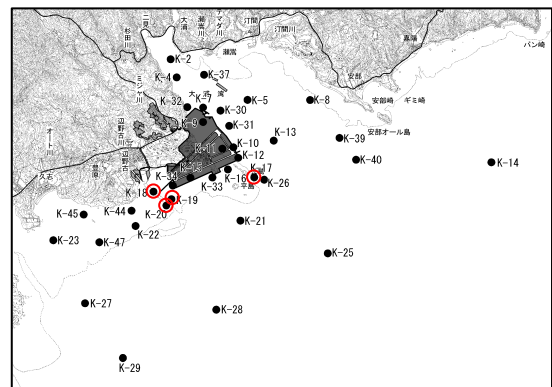
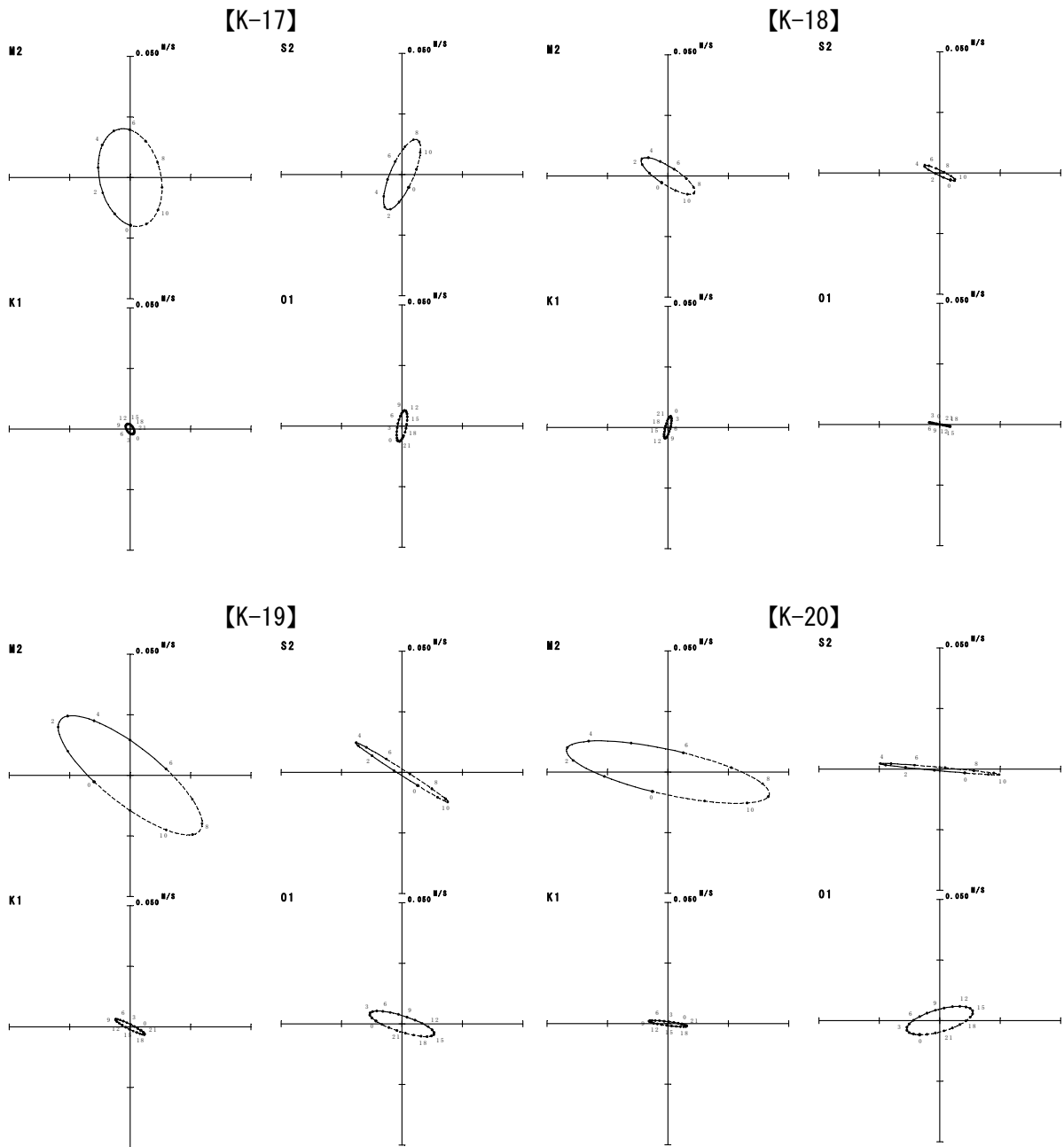


図-6. 6. 1. 25(3) 電磁流速計による調査結果に基づく秋季の潮流楕円

注) 調査期間：平成 20 年 10 月 5 日～11 月 6 日

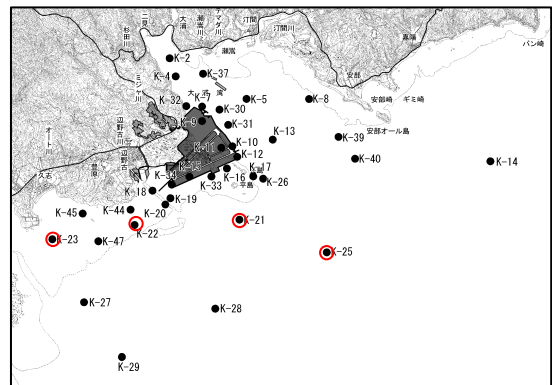
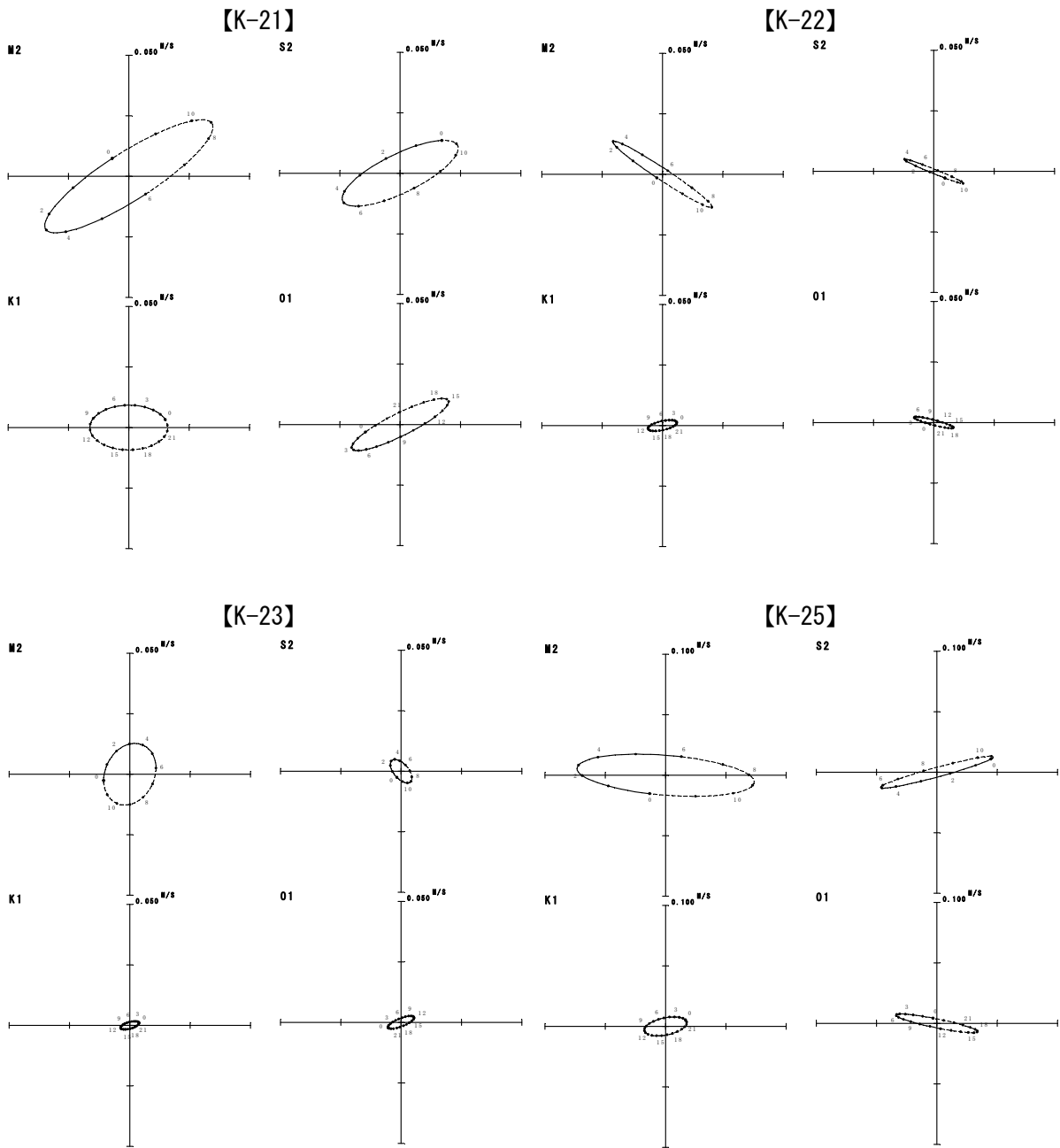


図-6. 6. 1. 25(4) 電磁流速計による調査結果に基づく秋季の潮流楕円

注) 調査期間：平成 20 年 10 月 5 日～11 月 6 日

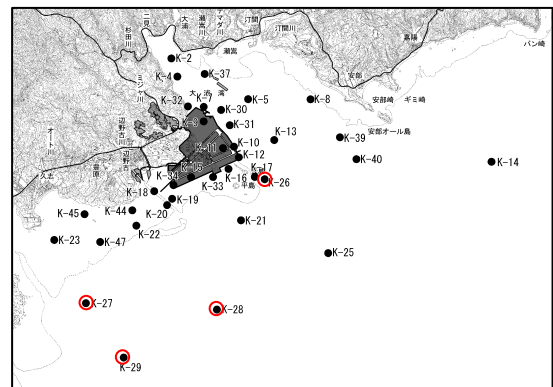
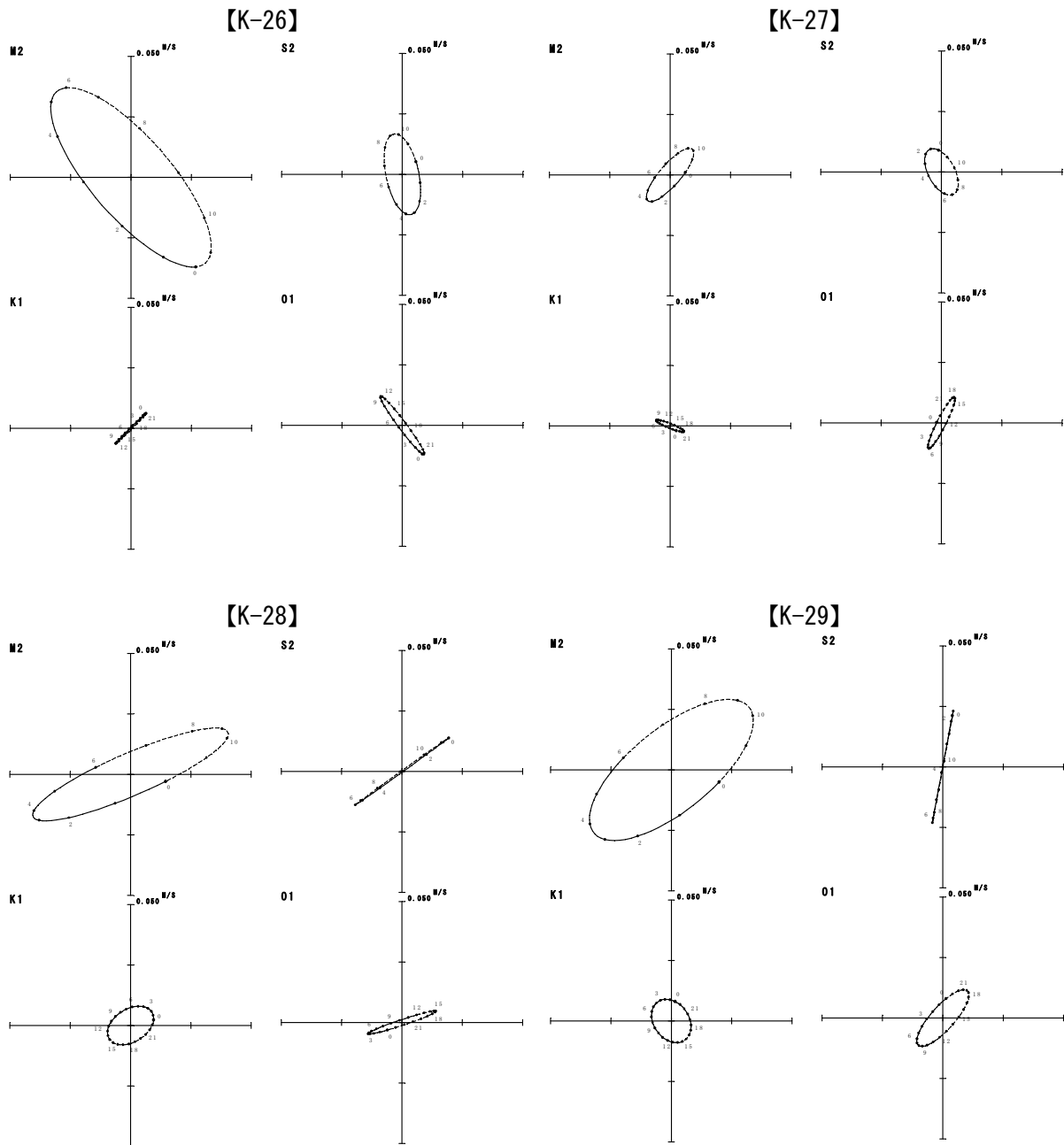


図-6. 6. 1. 25(5) 電磁流速計による調査結果に基づく秋季の潮流楕円

注) 調査期間：平成 20 年 10 月 5 日～11 月 6 日

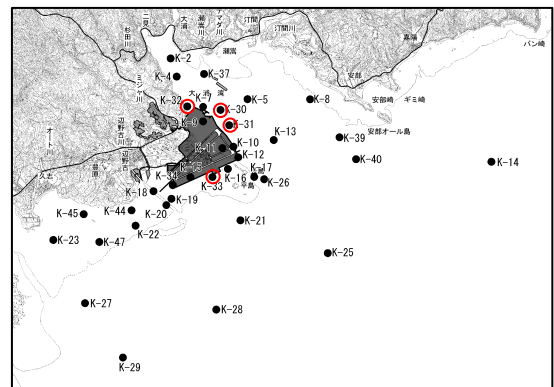
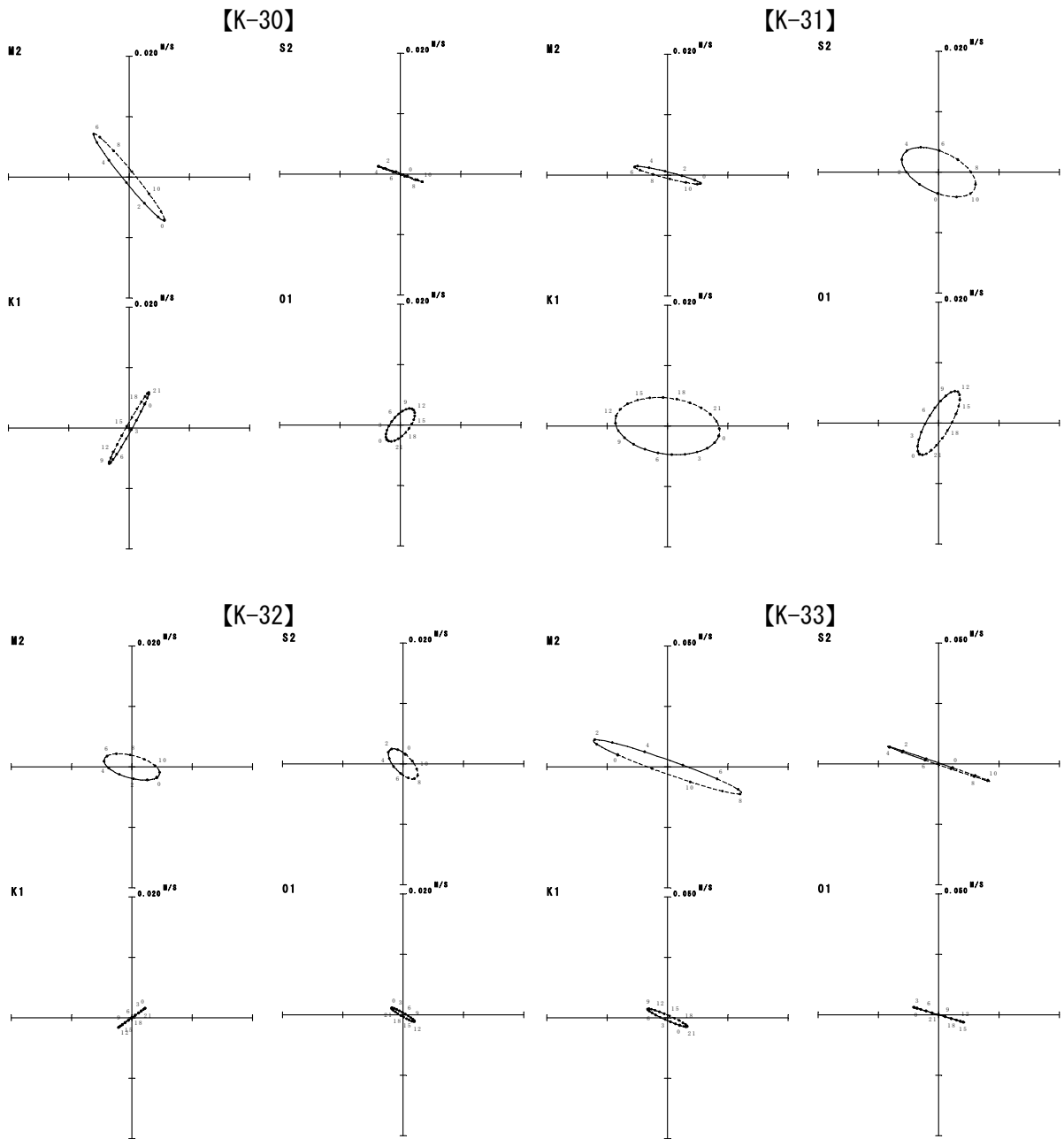


図-6. 6. 1. 25(6) 電磁流速計による調査結果に基づく秋季の潮流楕円

注) 調査期間：平成 20 年 10 月 5 日～11 月 6 日

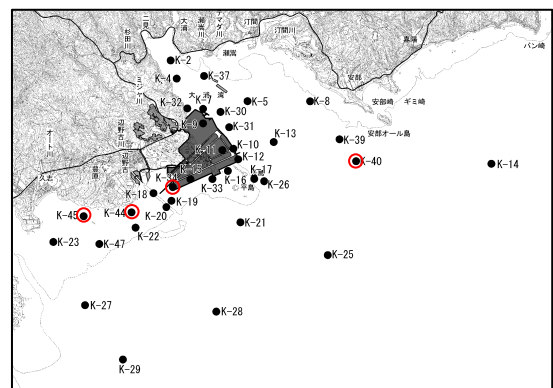
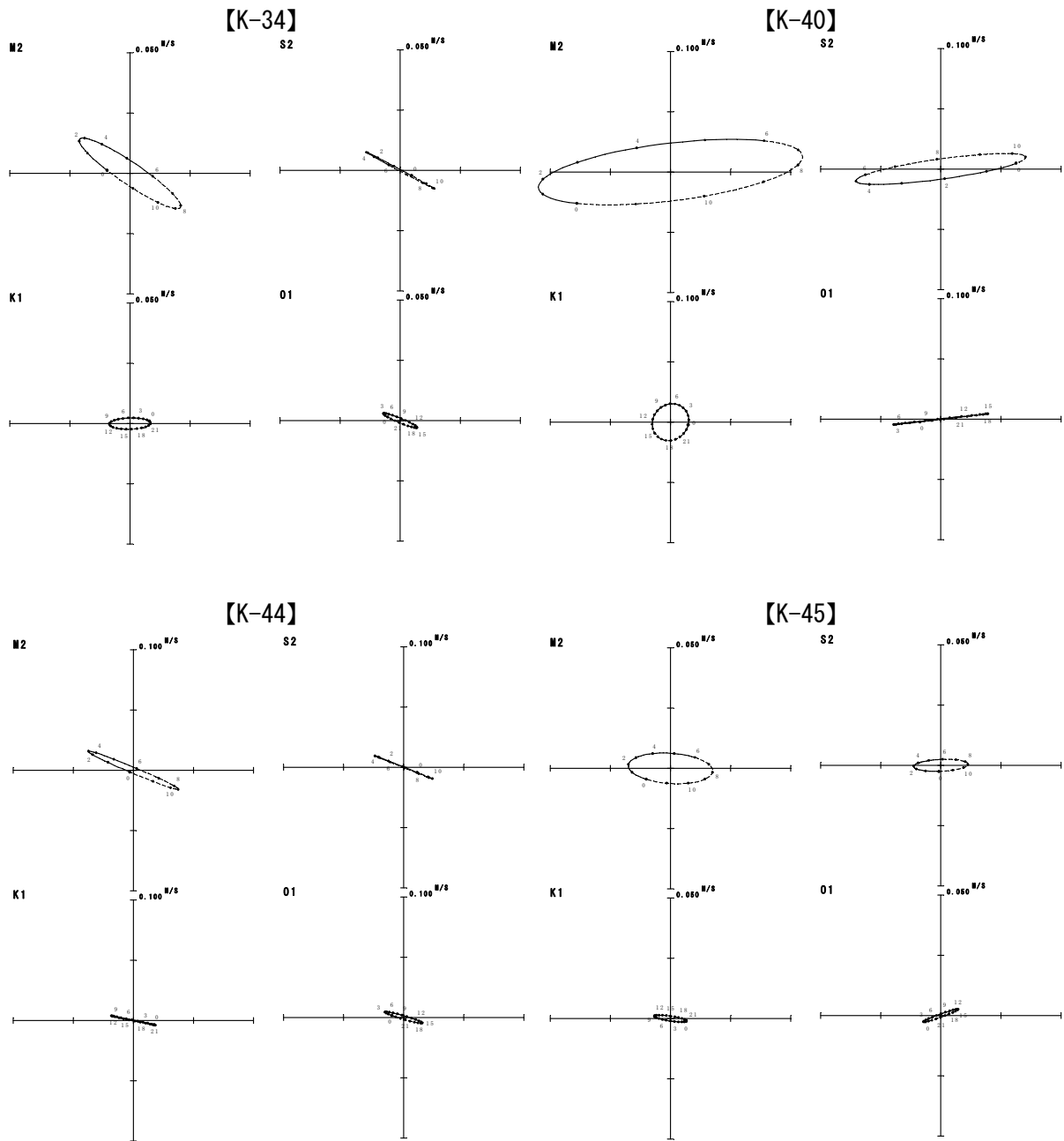


図-6. 6. 1. 25(7) 電磁流速計による調査結果に基づく秋季の潮流楕円

注) 調査期間：平成 20 年 10 月 5 日～11 月 6 日

【K-47】

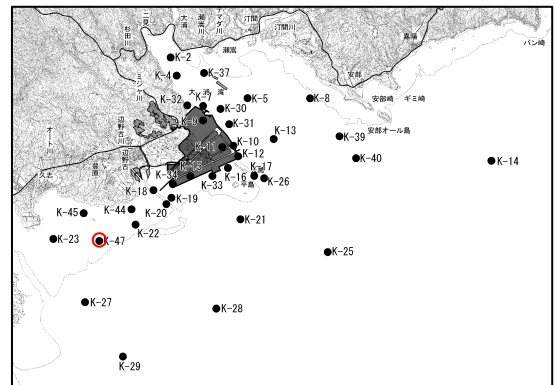
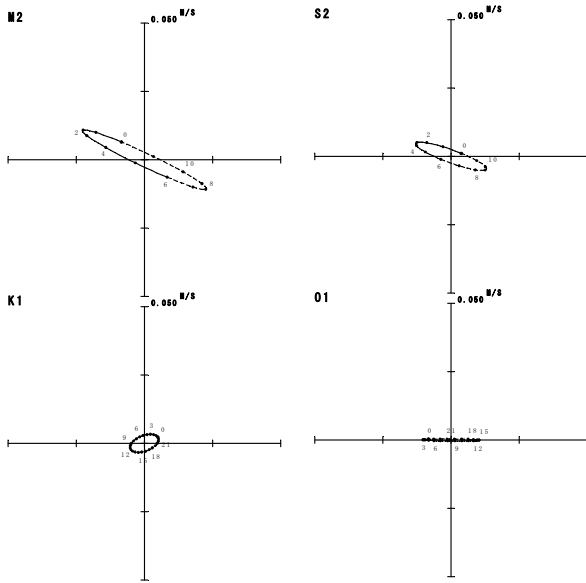


図-6. 6. 1. 25(8) 電磁流速計による調査結果に基づく秋季の潮流楕円

注) 調査期間：平成 20 年 10 月 5 日～11 月 6 日

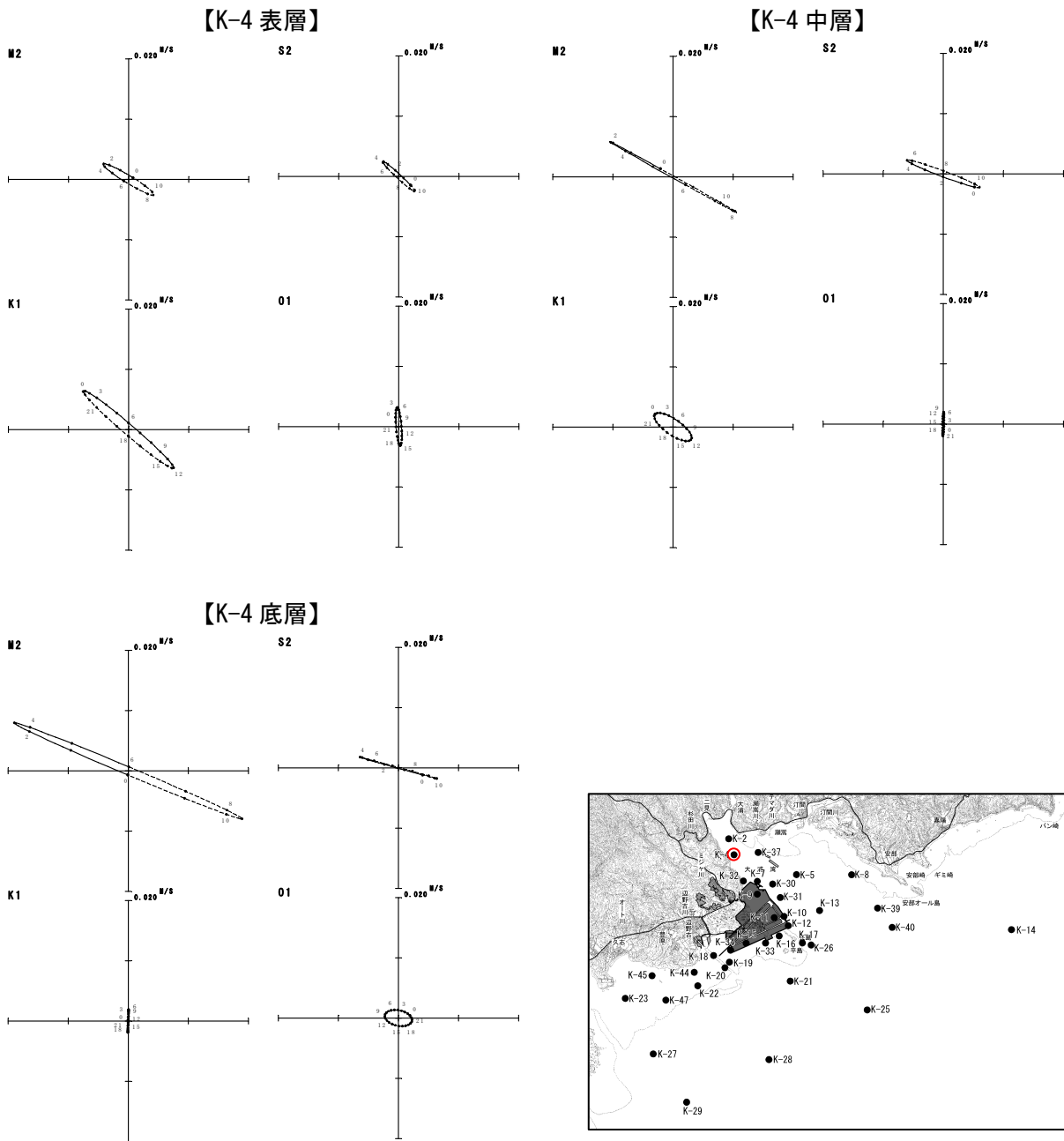


図-6.6.1.26(1) 超音波流速計による調査結果に基づく秋季の潮流楕円

注) 調査期間：平成20年10月5日～11月6日

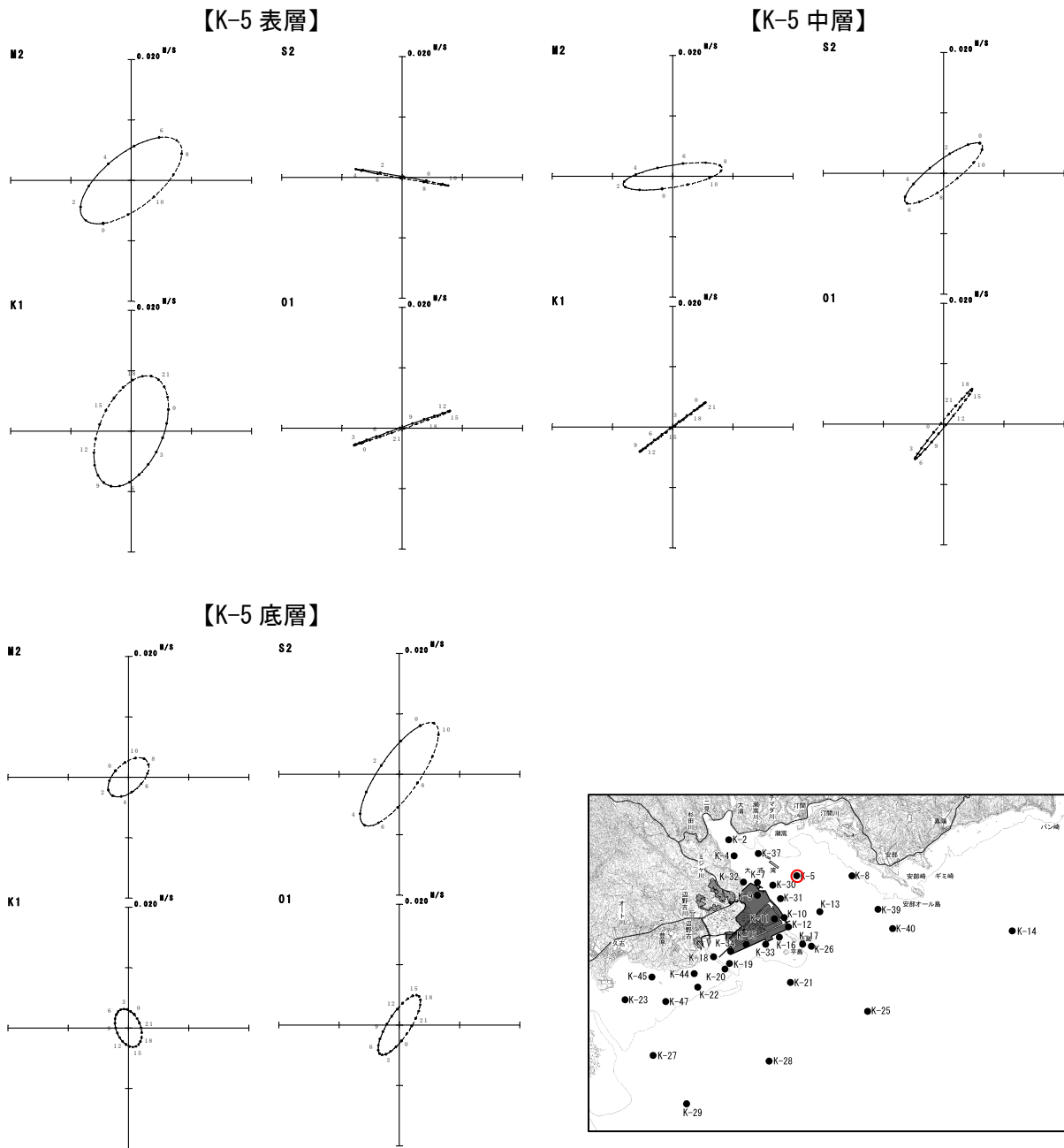


図-6.6.1.26(2) 超音波流速計による調査結果に基づく秋季の潮流楕円

注) 調査期間：平成 20 年 10 月 5 日～11 月 6 日

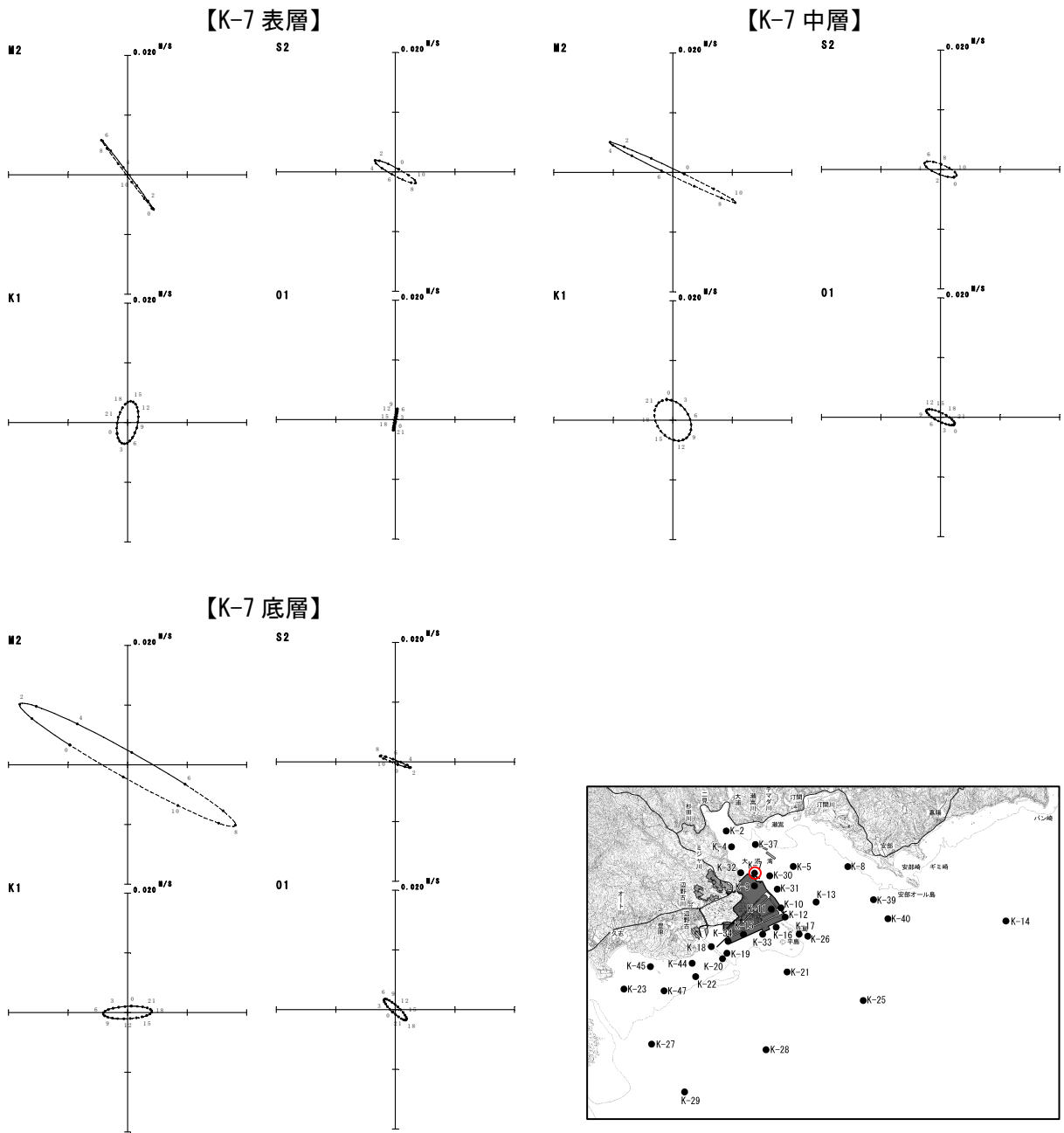


図-6.6.1.26(3) 超音波流速計による調査結果に基づく秋季の潮流楕円

注) 調査期間：平成20年10月5日～11月6日

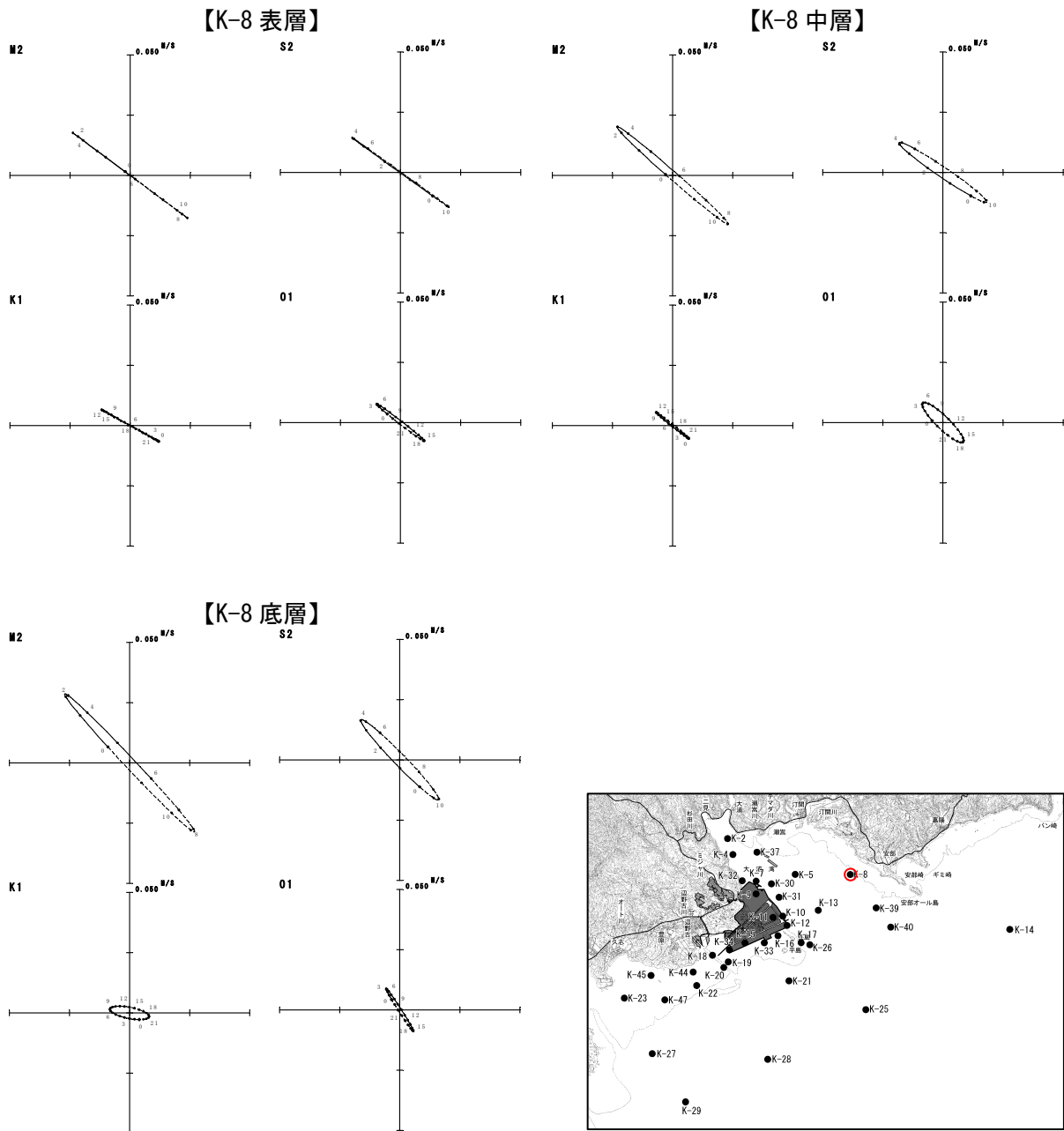


図-6.6.1.26(4) 超音波流速計による調査結果に基づく秋季の潮流楕円

注) 調査期間：平成20年10月5日～11月6日

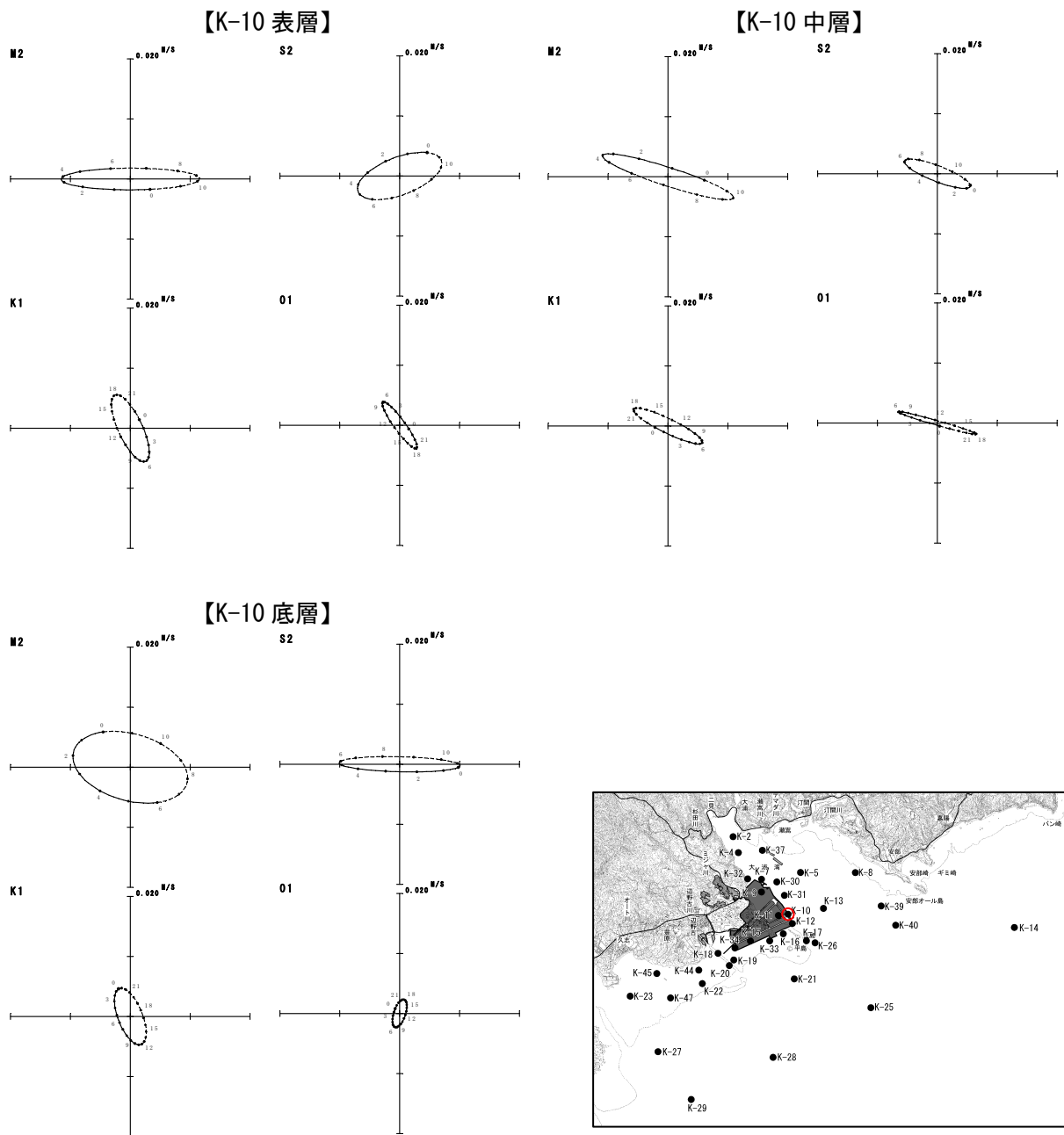


図-6.6.1.26(5) 超音波流速計による調査結果に基づく秋季の潮流楕円

注) 調査期間：平成20年10月5日～11月6日

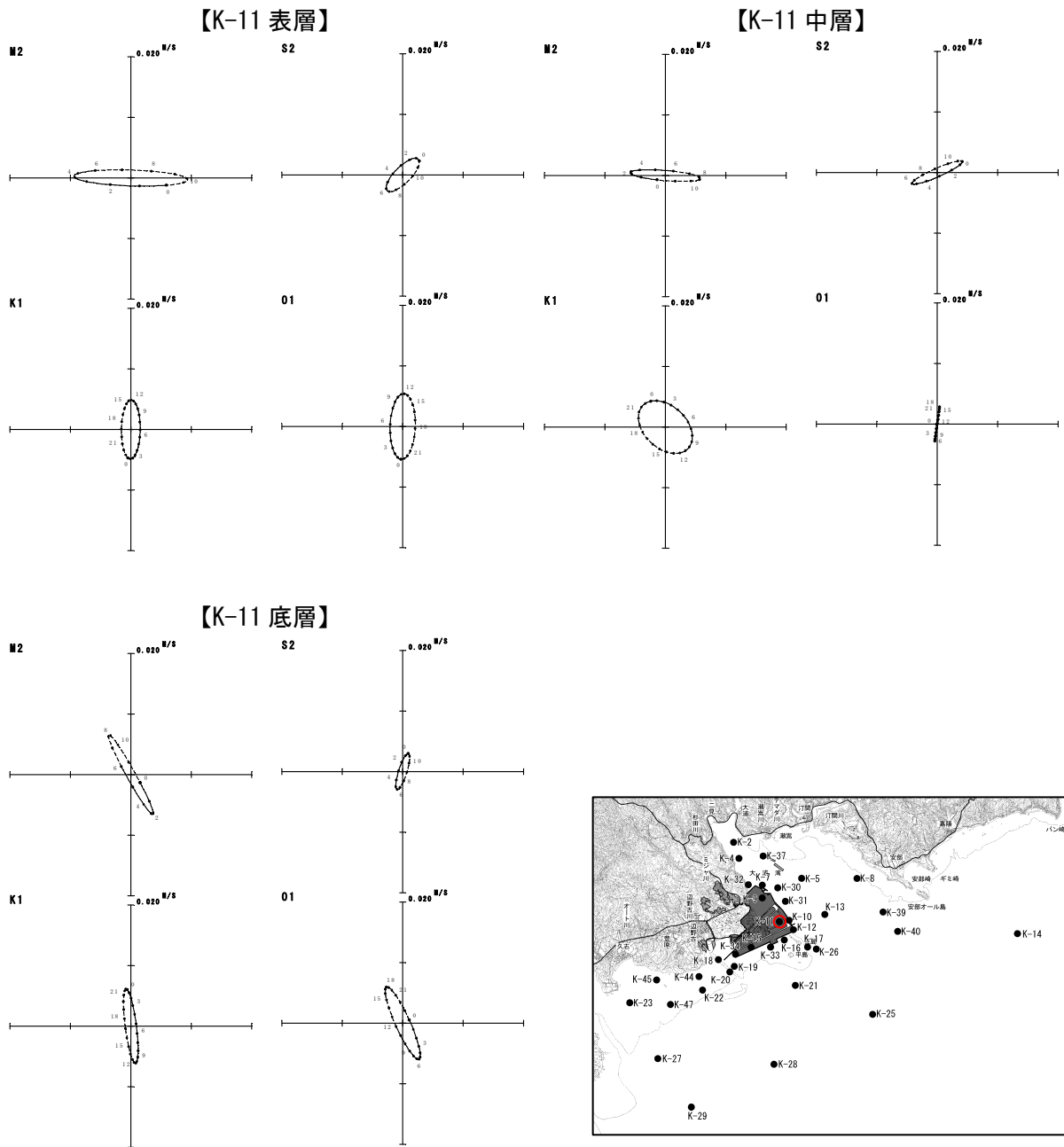


図-6.6.1.26(6) 超音波流速計による調査結果に基づく秋季の潮流楕円

注) 調査期間：平成20年10月5日～11月6日

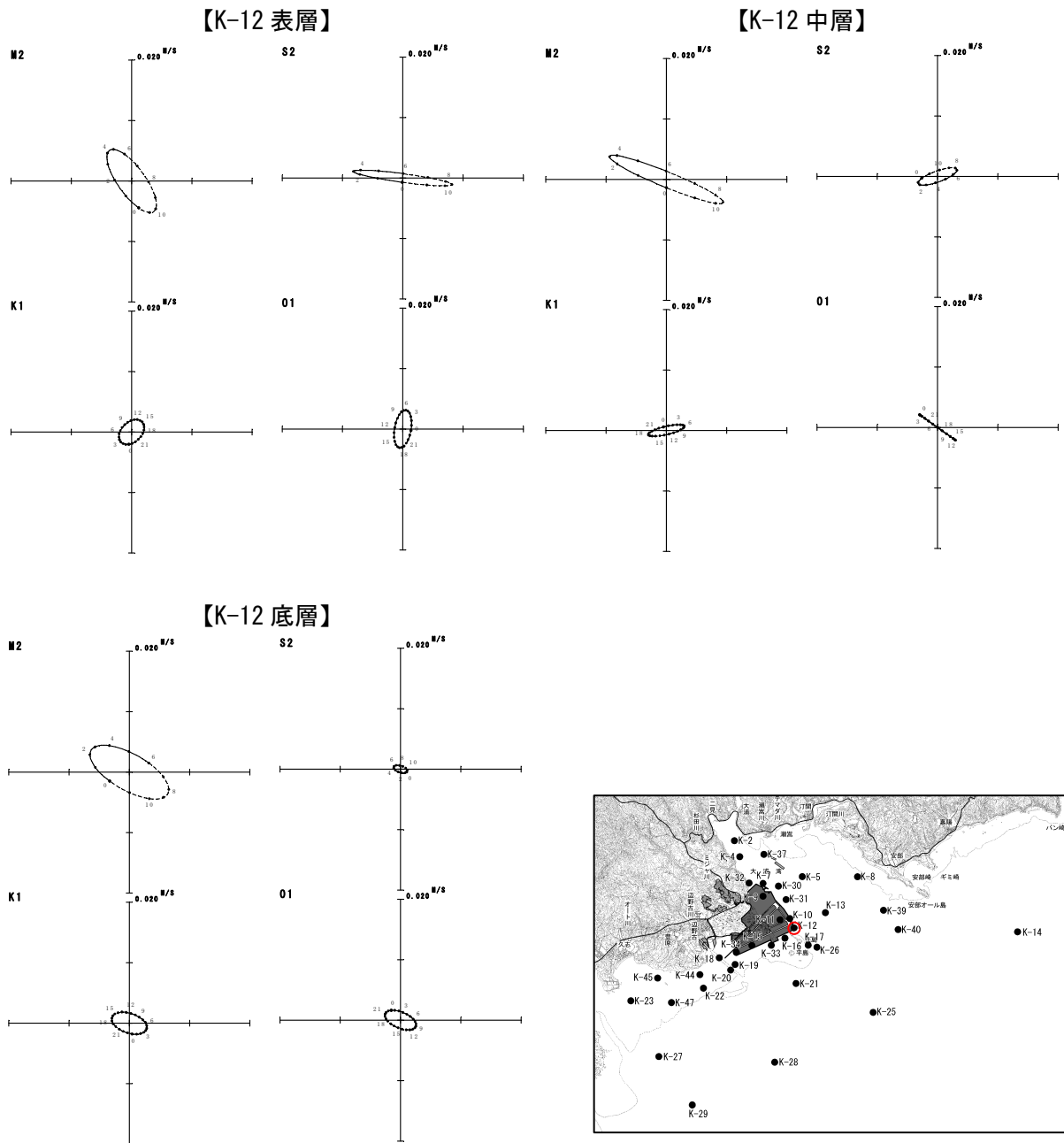


図-6.6.1.26(7) 超音波流速計による調査結果に基づく秋季の潮流楕円

注) 調査期間：平成20年10月5日～11月6日

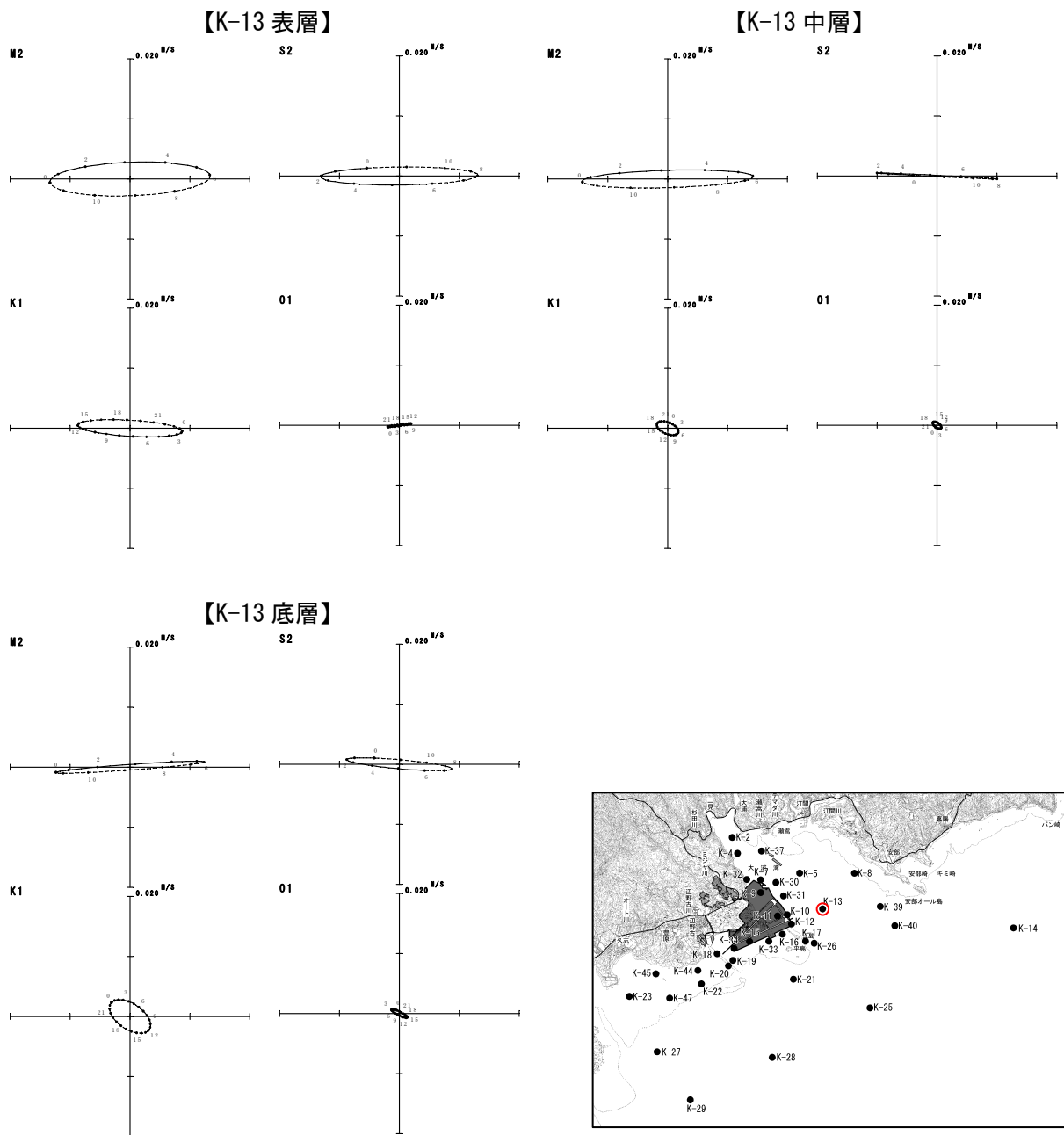


図-6.6.1.26(8) 超音波流速計による調査結果に基づく秋季の潮流楕円

注) 調査期間：平成20年10月5日～11月6日

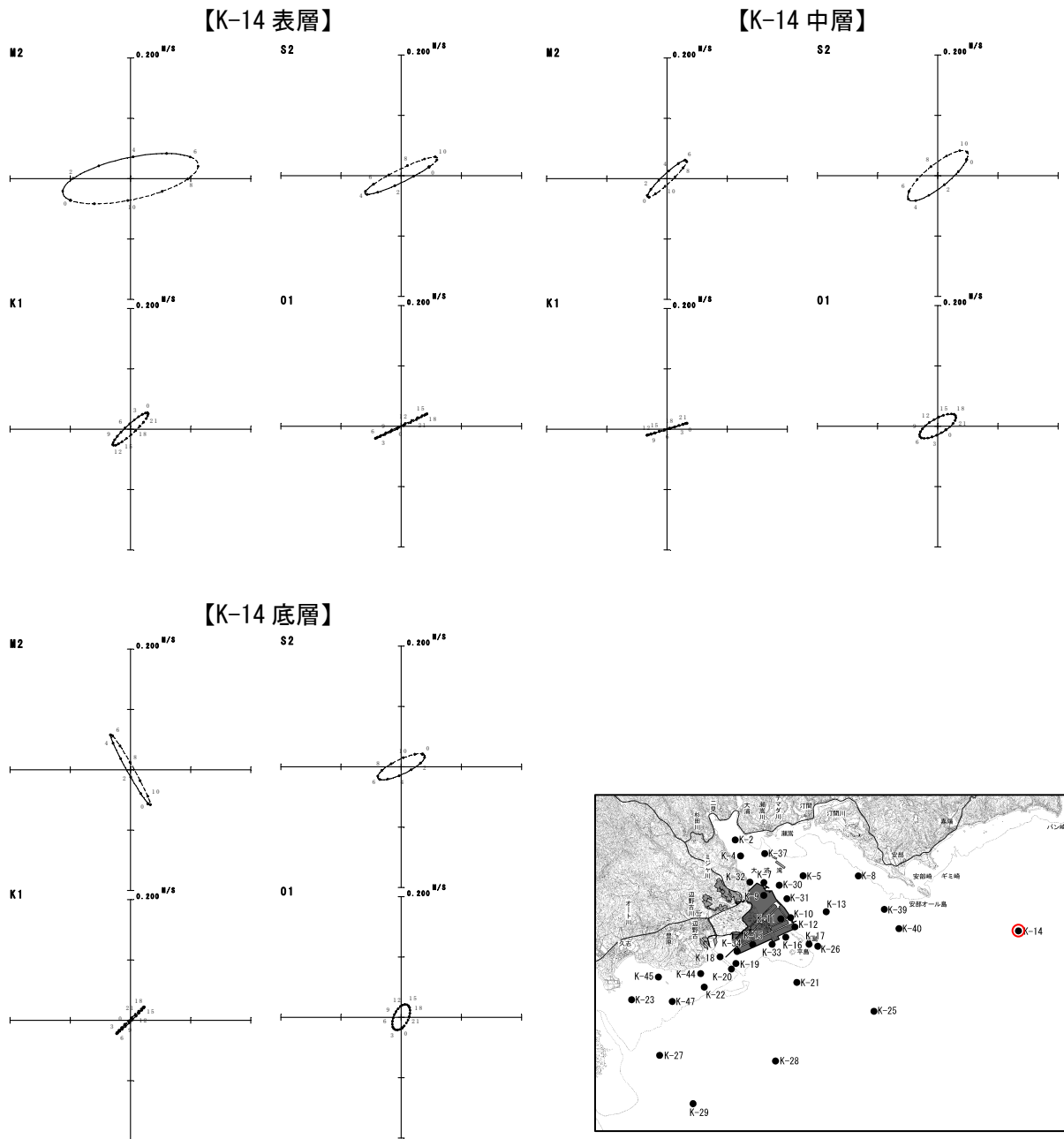


図-6.6.1.26(9) 超音波流速計による調査結果に基づく秋季の潮流楕円

注) 調査期間：平成20年10月5日～11月6日

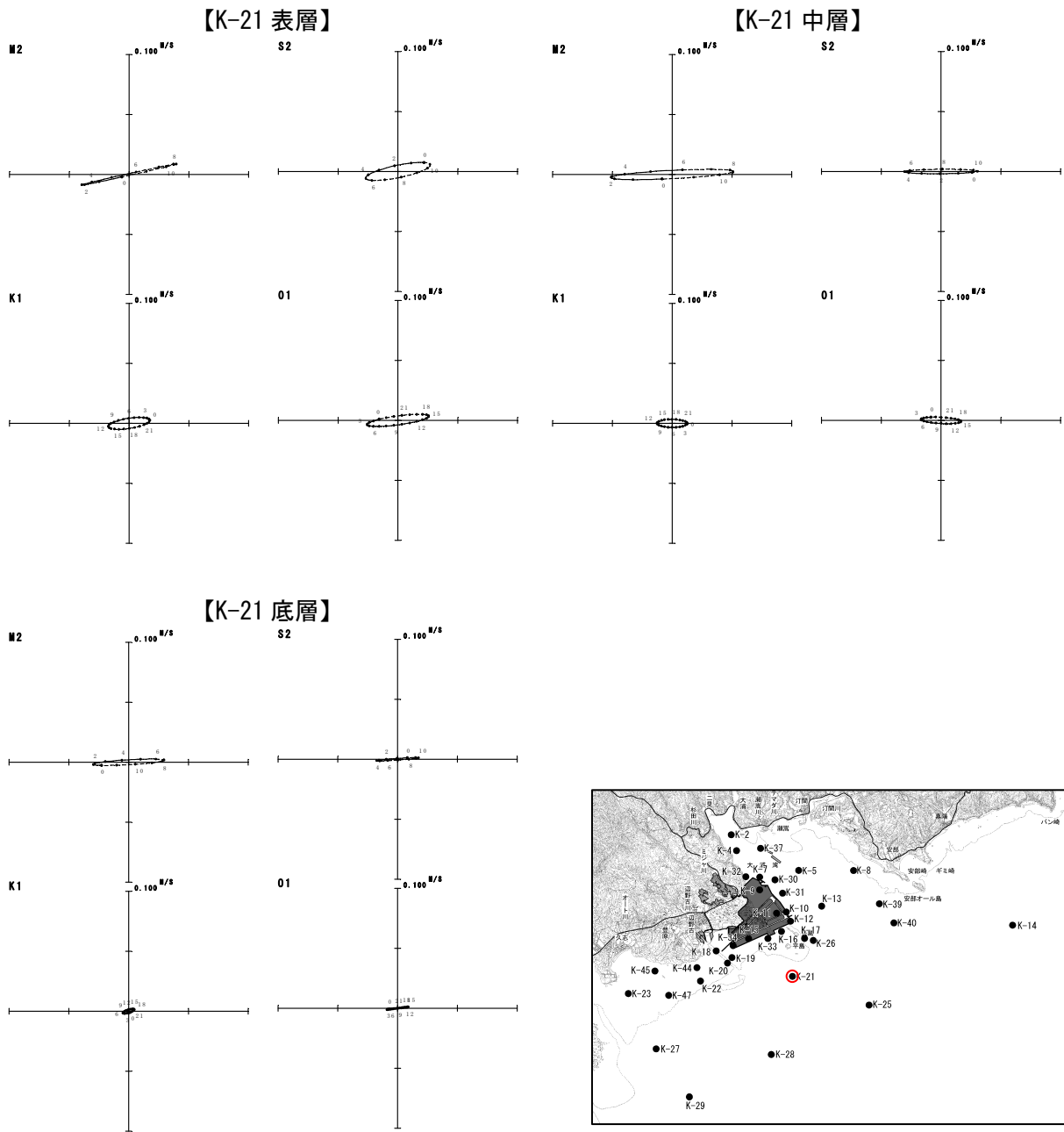


図-6.6.1.26(10) 超音波流速計による調査結果に基づく秋季の潮流楕円

注) 調査期間：平成20年10月5日～11月6日

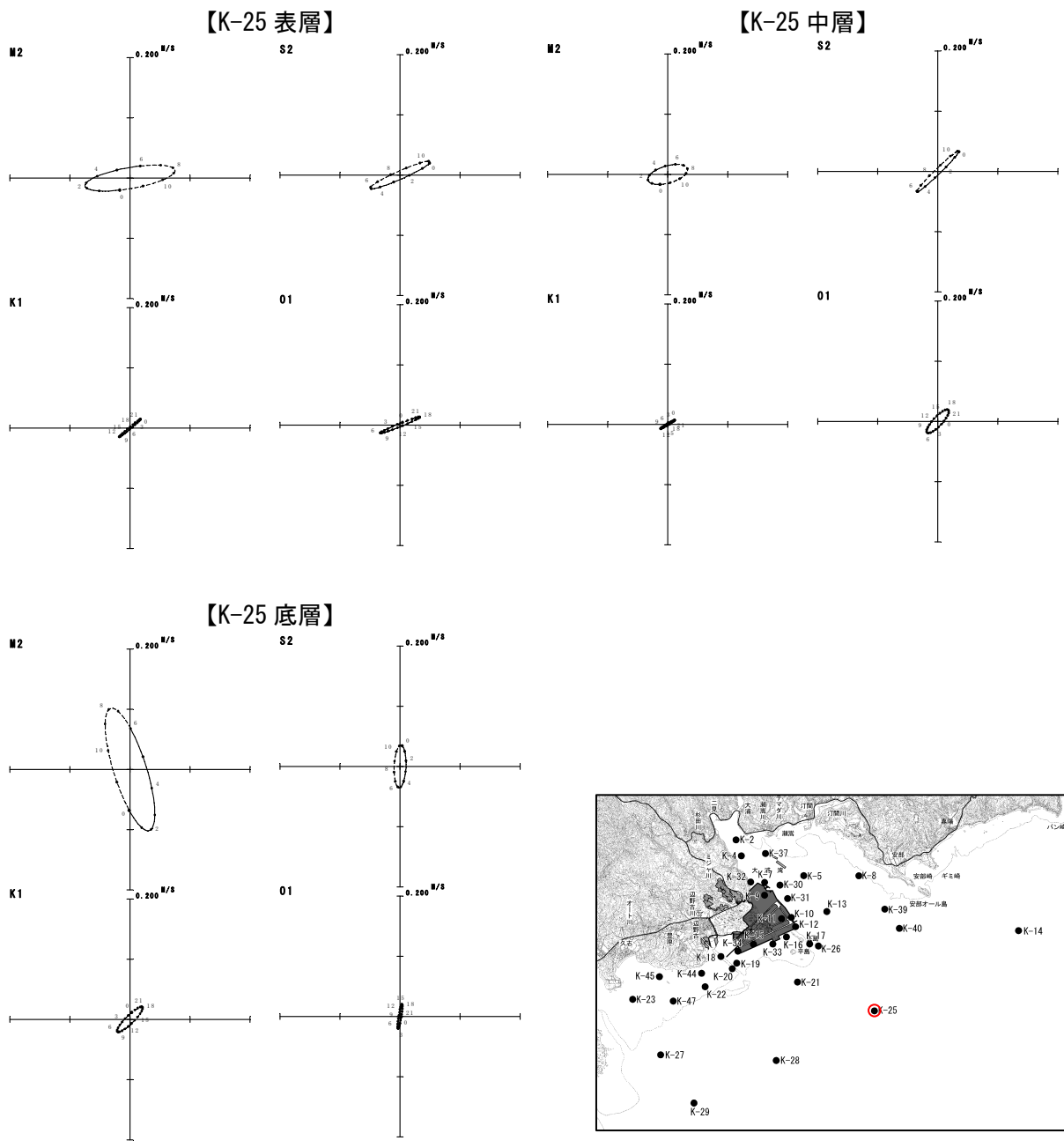


図-6. 6. 1. 26(11) 超音波流速計による調査結果に基づく秋季の潮流楕円

注) 調査期間：平成20年10月5日～11月6日

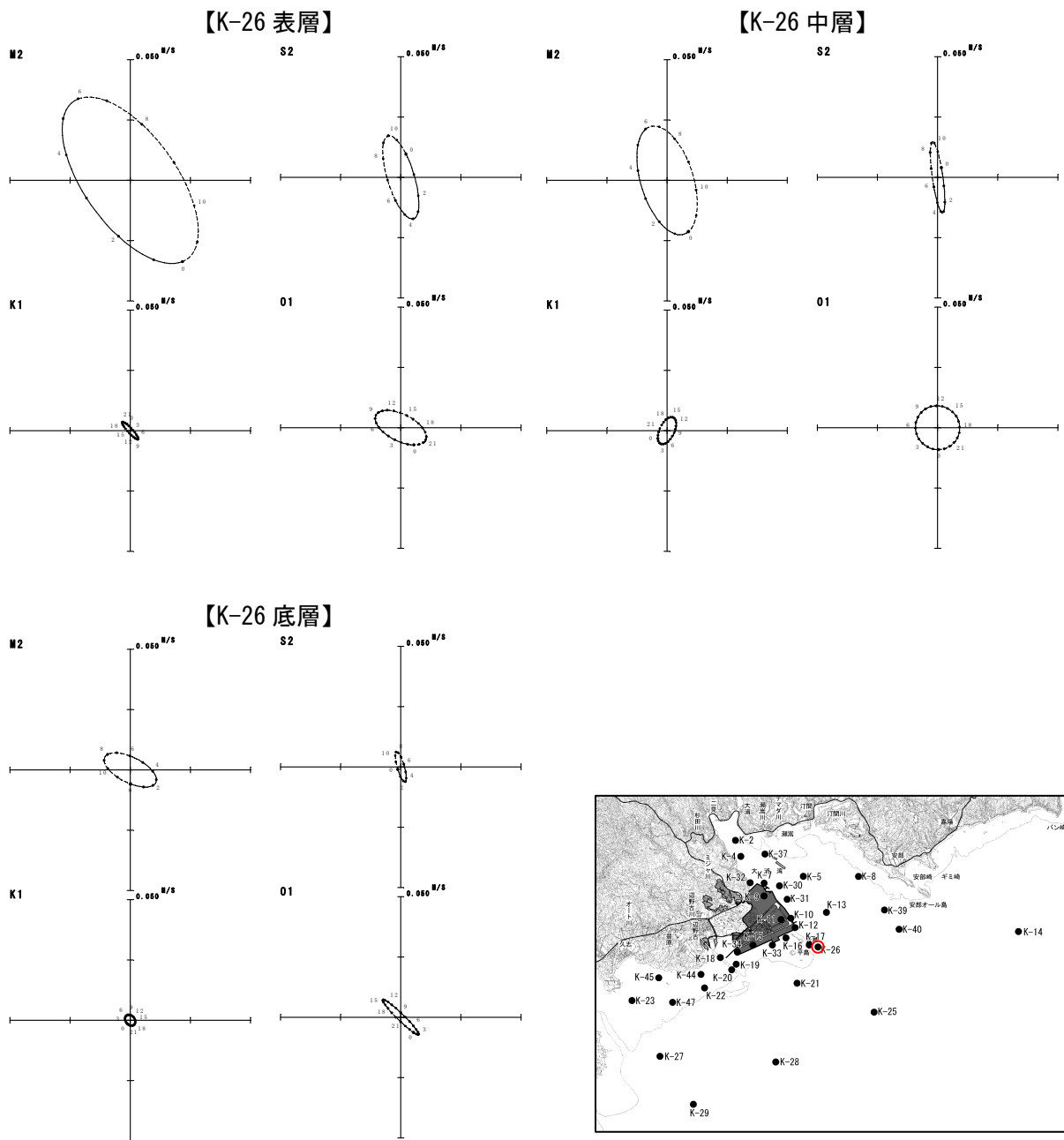


図-6.6.1.26(12) 超音波流速計による調査結果に基づく秋季の潮流楕円

注) 調査期間：平成20年10月5日～11月6日

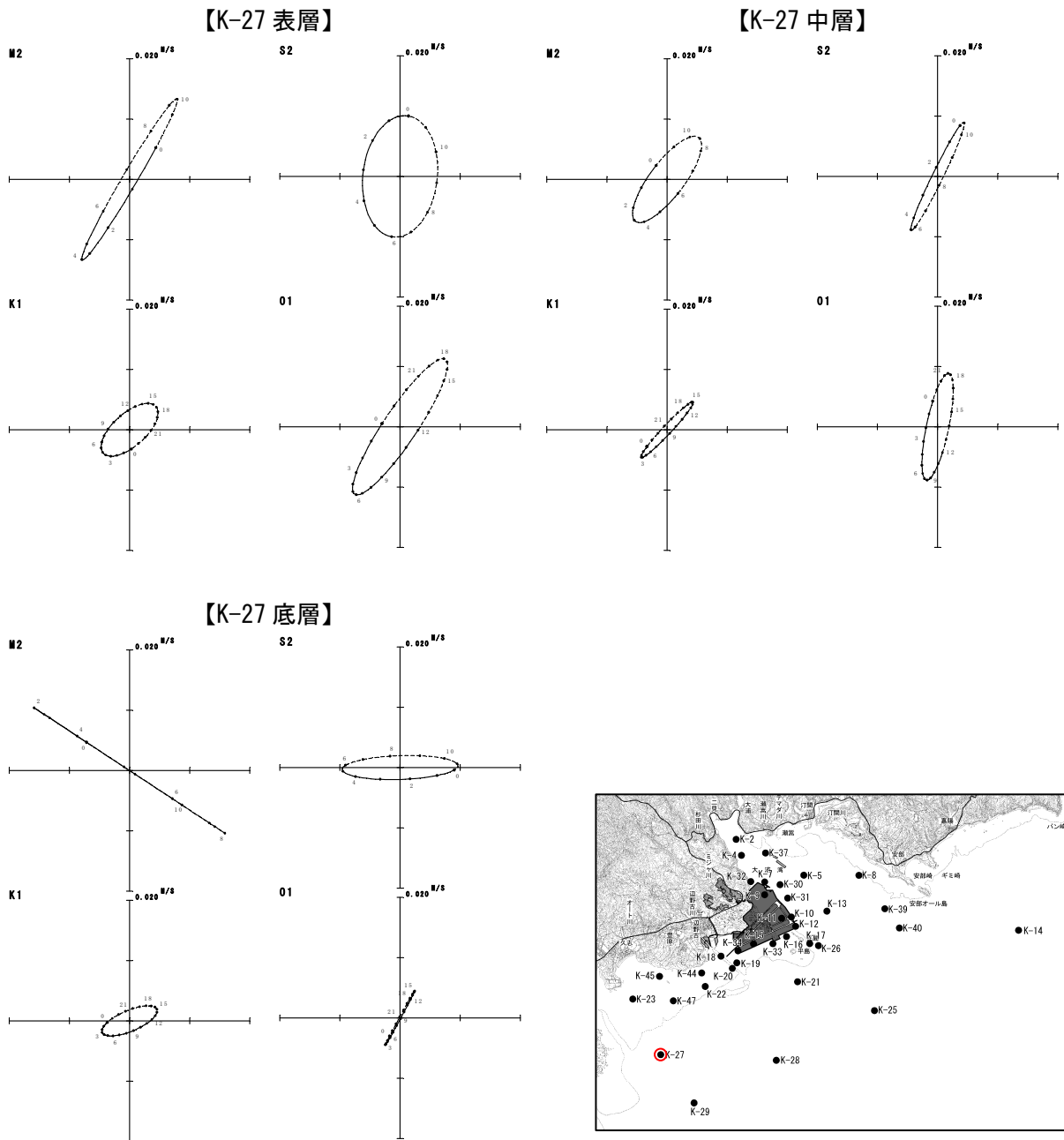


図-6.6.1.26(13) 超音波流速計による調査結果に基づく秋季の潮流楕円

注) 調査期間：平成20年10月5日～11月6日

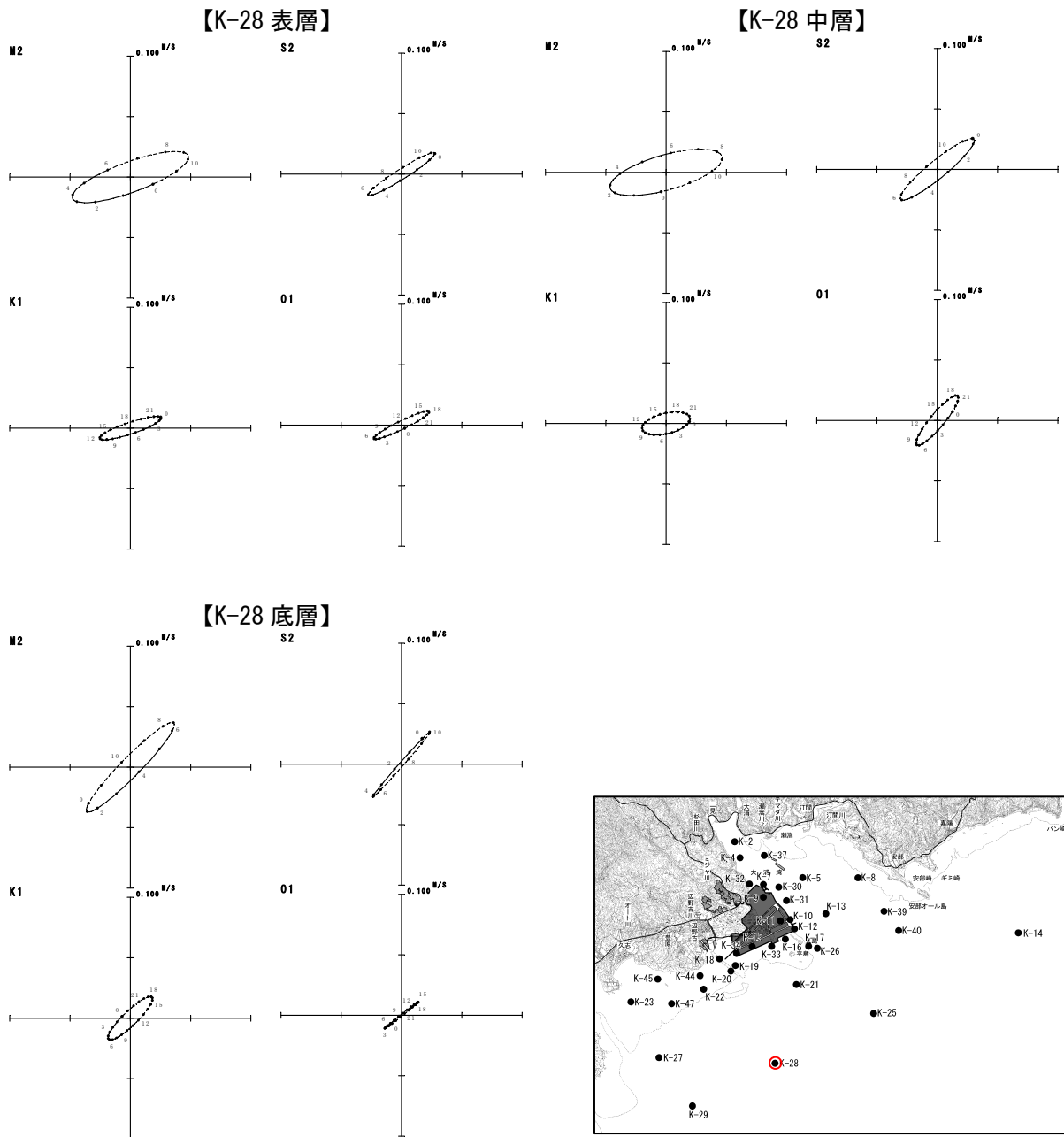


図-6.6.1.26(14) 超音波流速計による調査結果に基づく秋季の潮流楕円

注) 調査期間：平成20年10月5日～11月6日

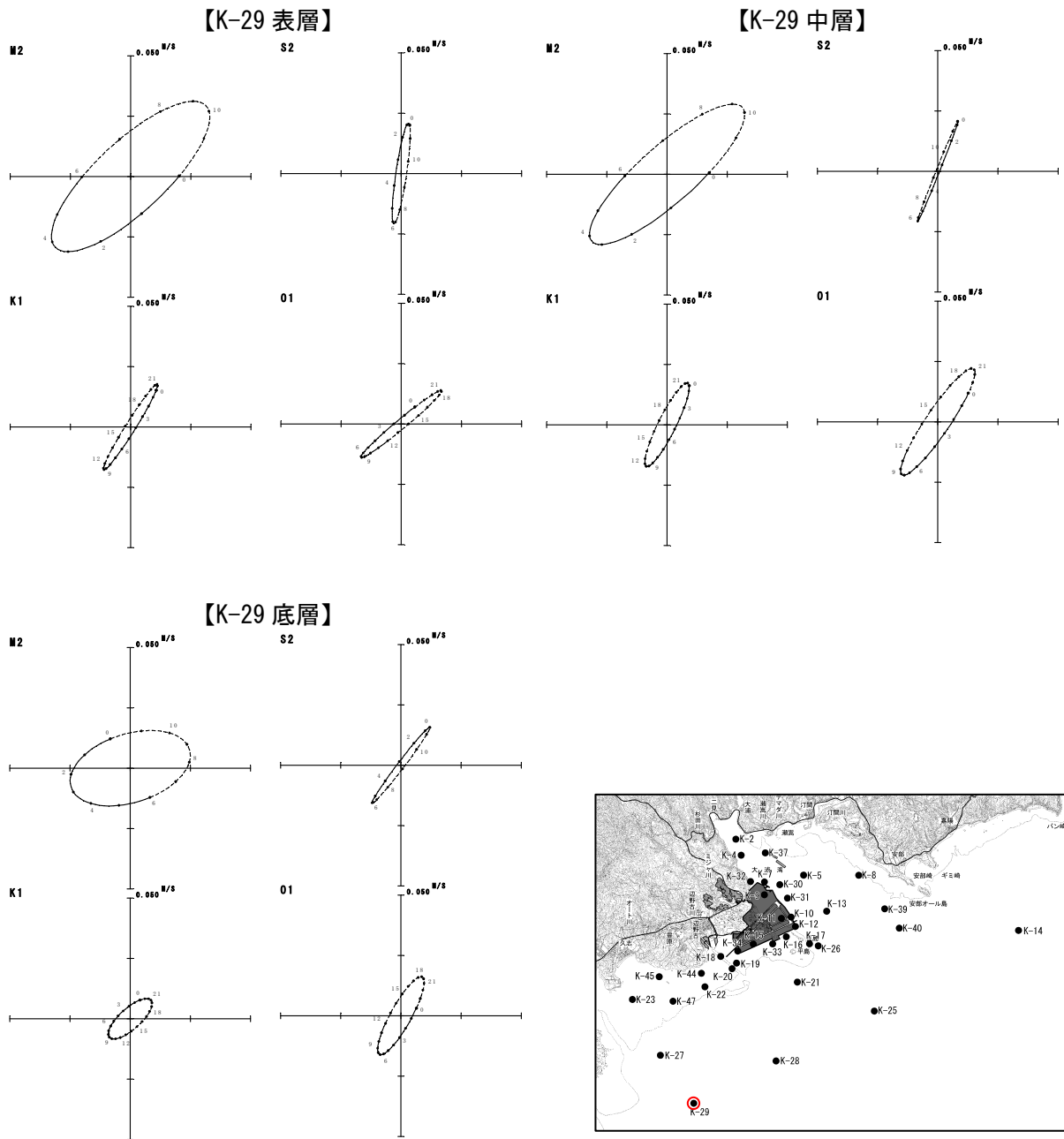


図-6.6.1.26(15) 超音波流速計による調査結果に基づく秋季の潮流楕円

注) 調査期間：平成20年10月5日～11月6日

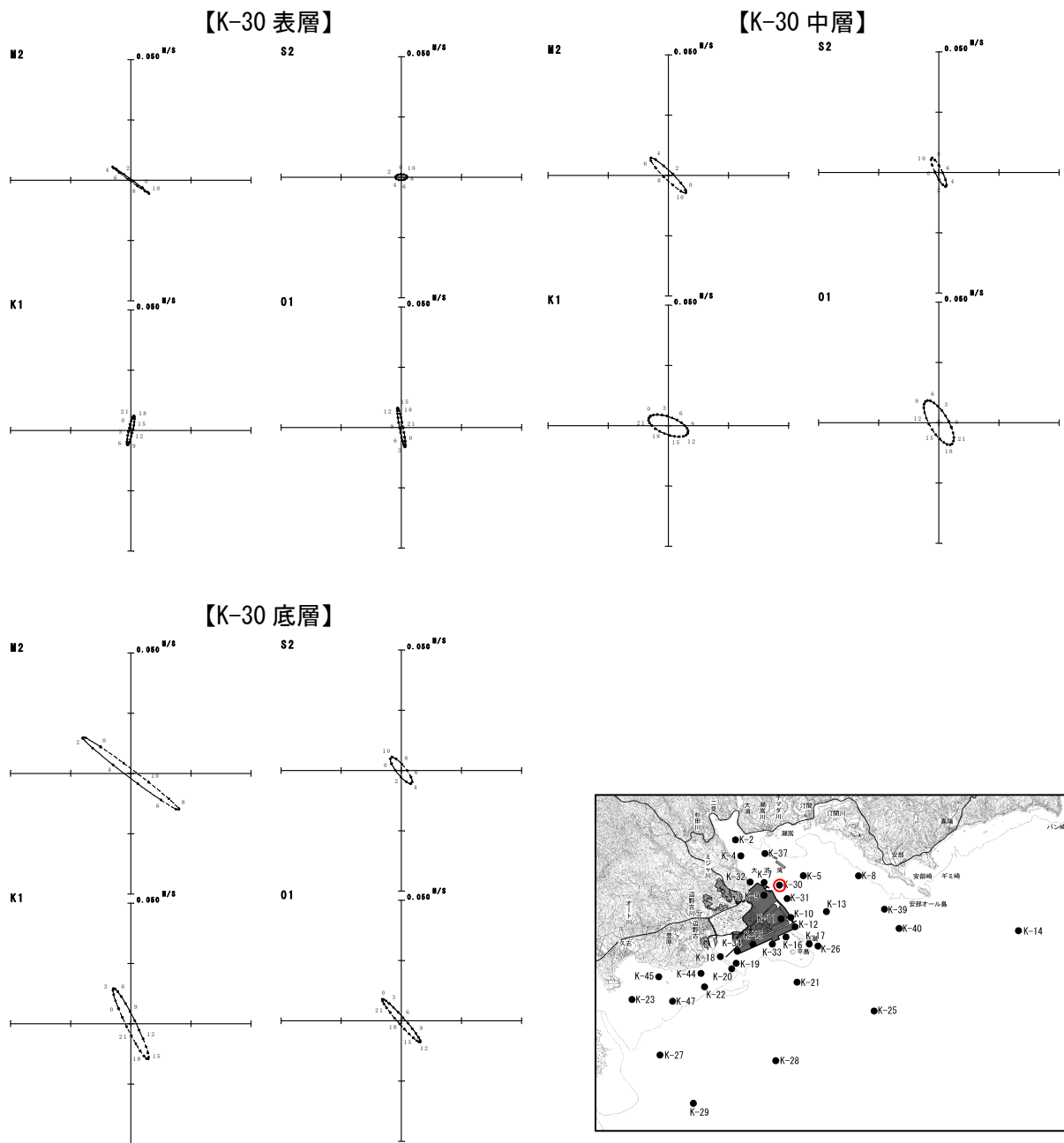


図-6.6.1.26(16) 超音波流速計による調査結果に基づく秋季の潮流楕円

注) 調査期間：平成 20 年 10 月 5 日～11 月 6 日

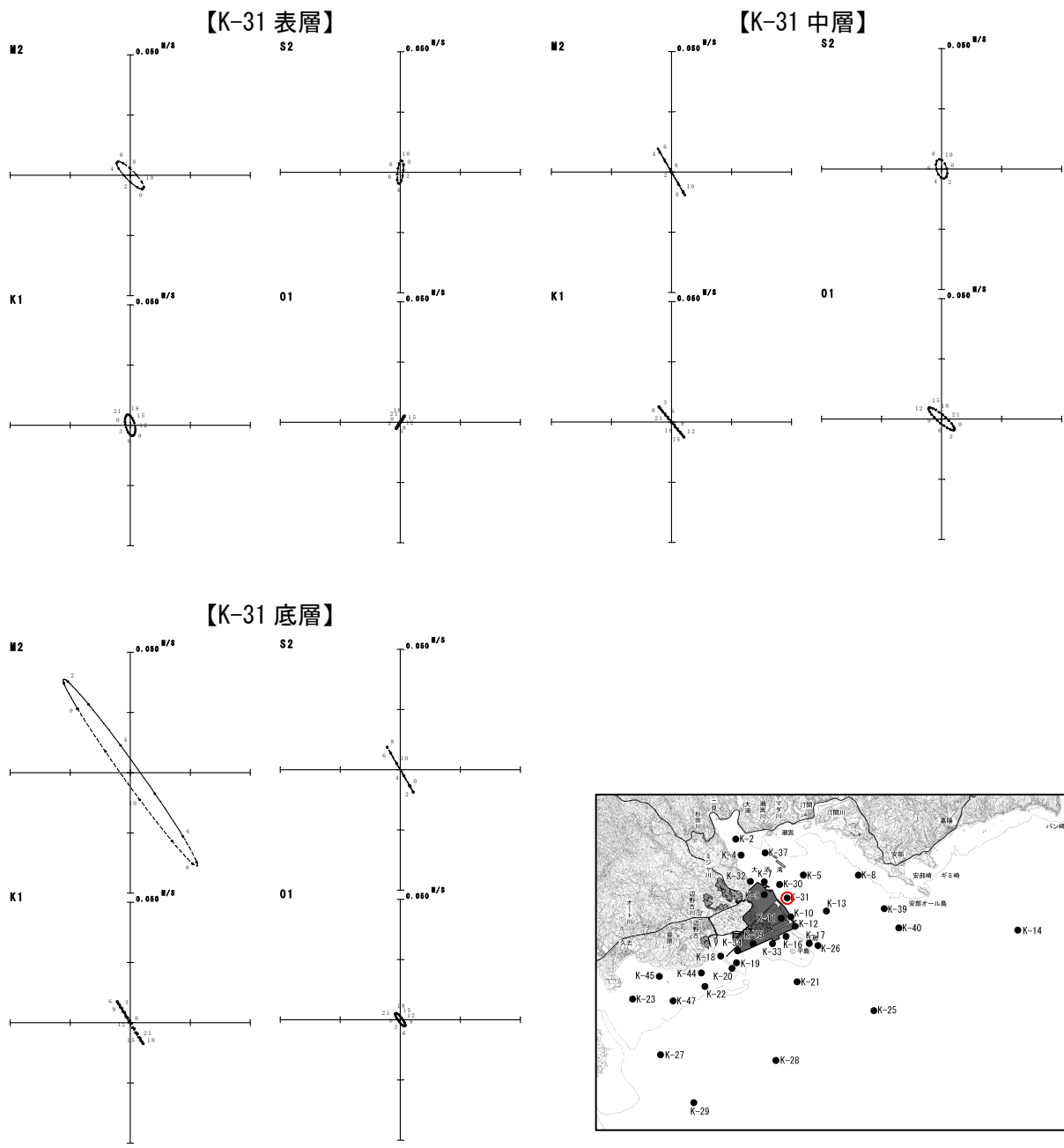


図-6. 6. 1. 26(17) 超音波流速計による調査結果に基づく秋季の潮流楕円

注) 調査期間：平成 20 年 10 月 5 日～11 月 6 日

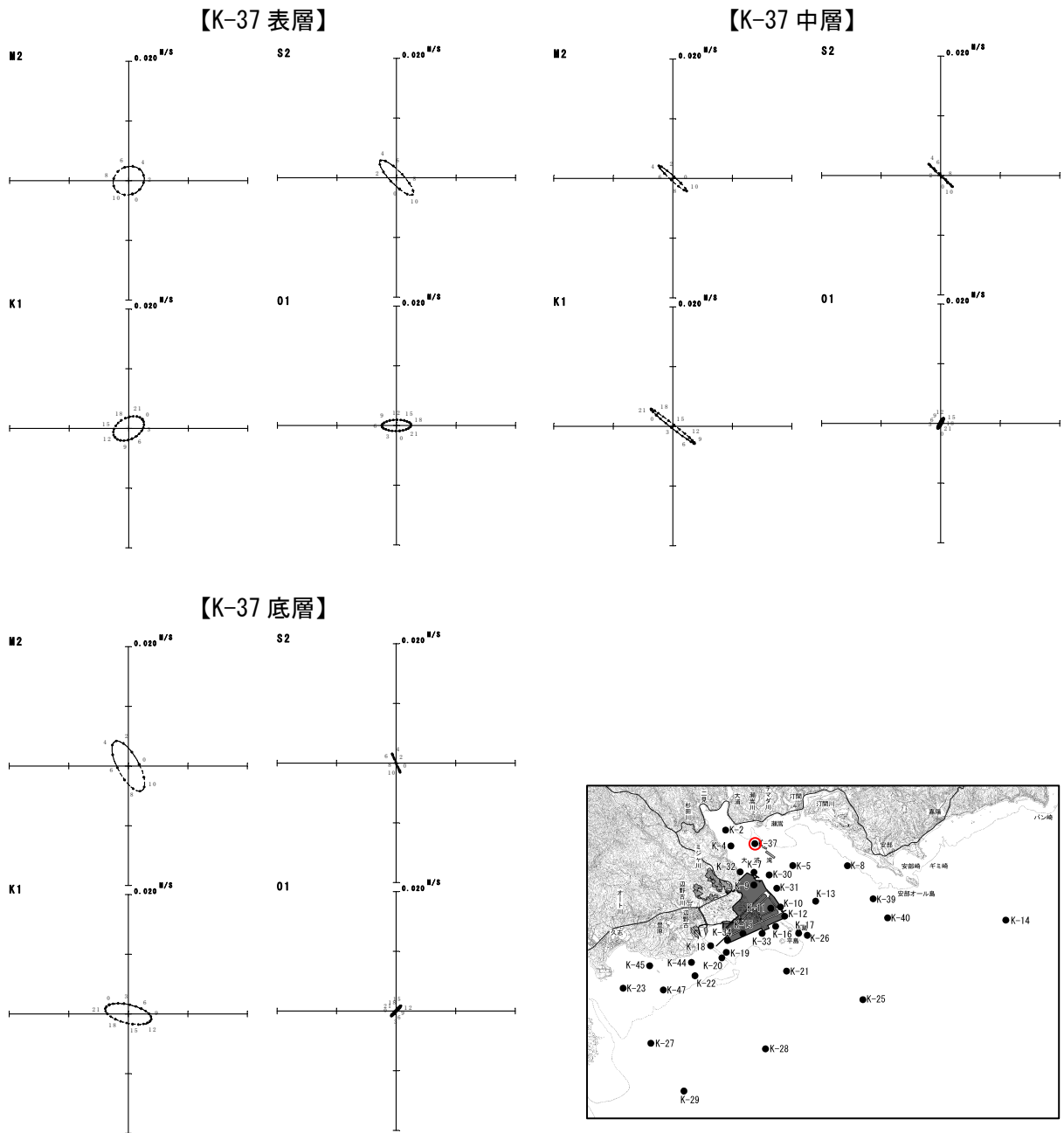


図-6.6.1.26(18) 超音波流速計による調査結果に基づく秋季の潮流楕円

注) 調査期間：平成 20 年 10 月 5 日～11 月 6 日

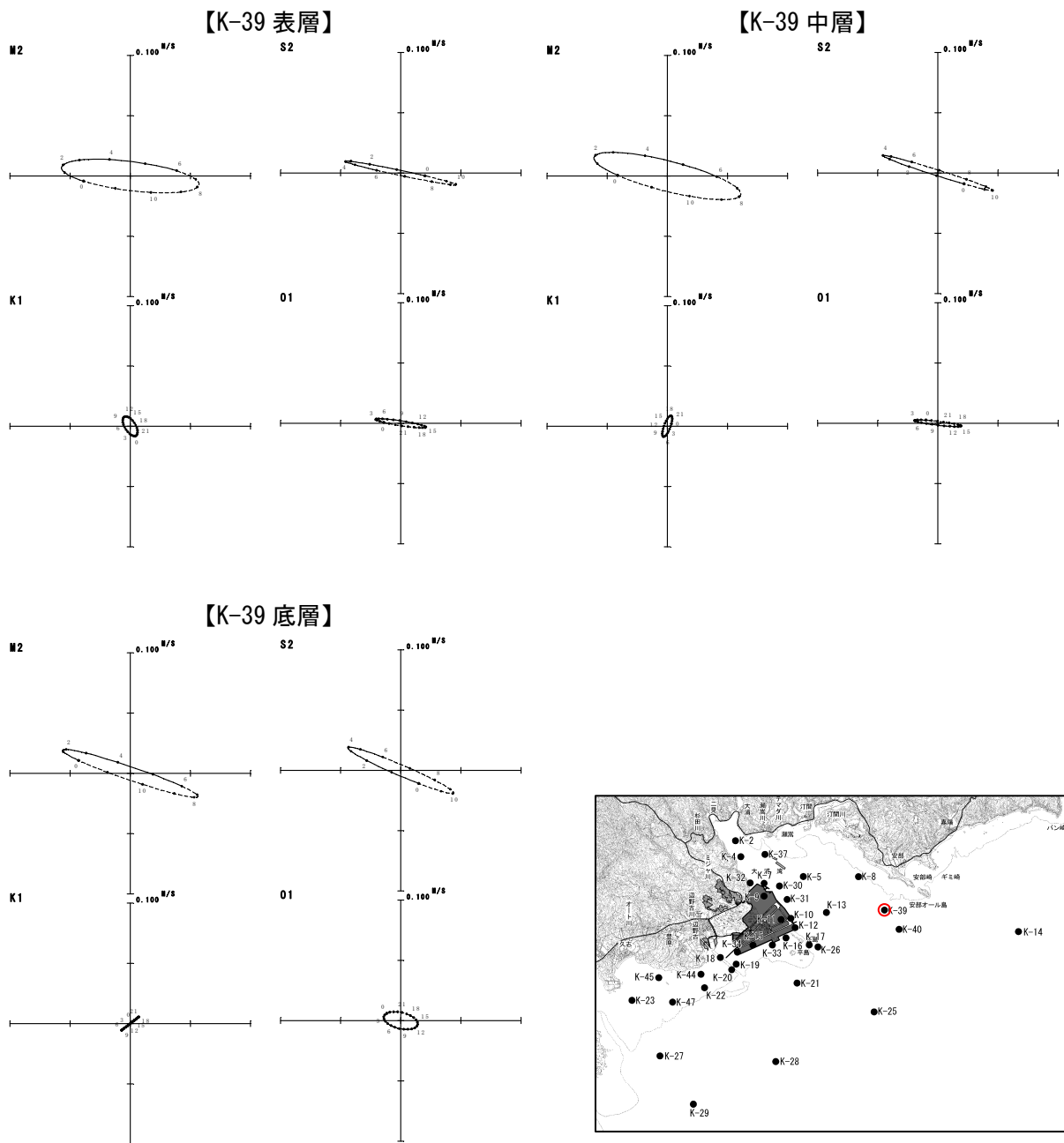


図-6.6.1.26(19) 超音波流速計による調査結果に基づく秋季の潮流楕円

注) 調査期間：平成20年10月5日～11月6日

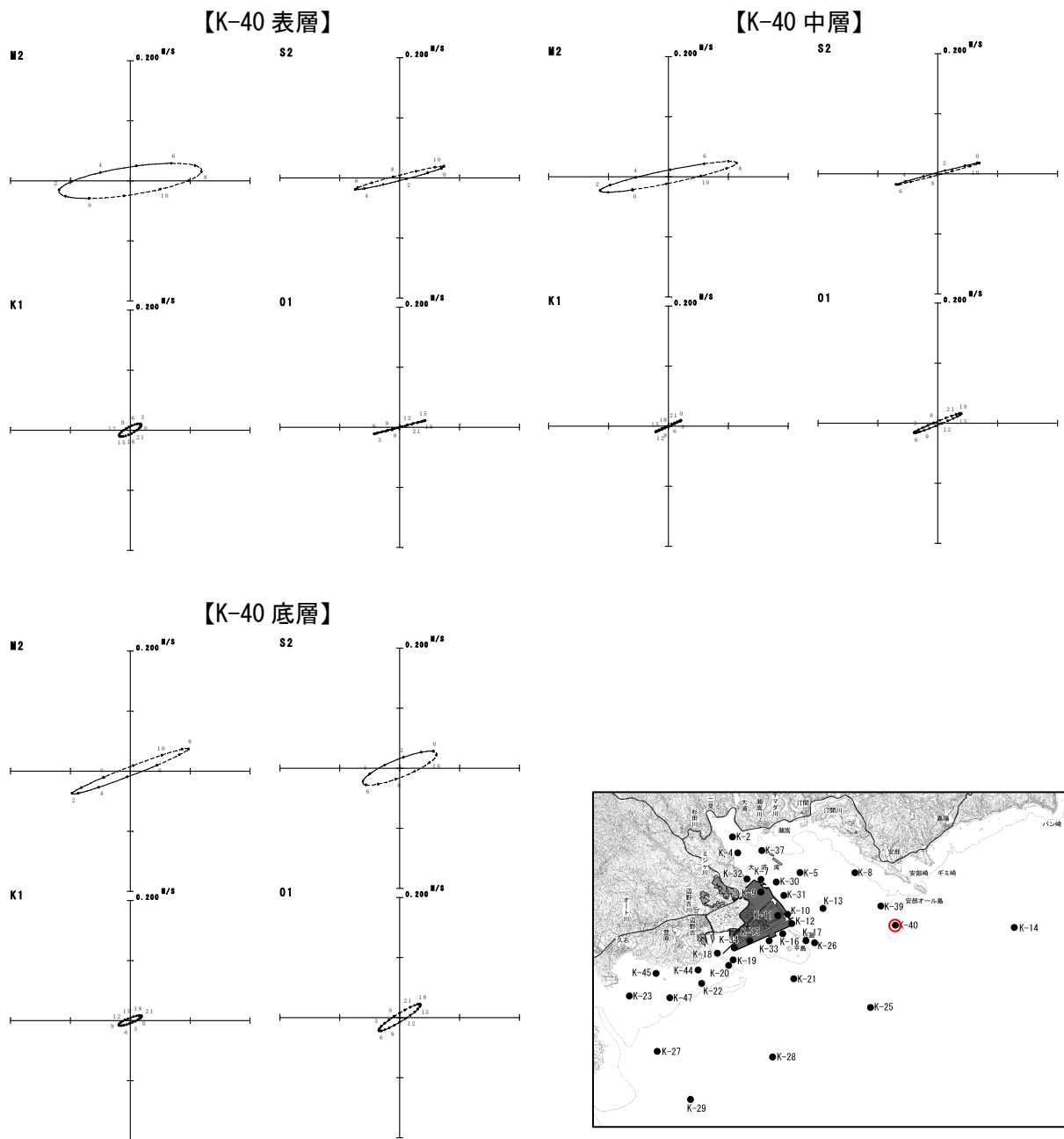


図-6.6.1.26(20) 超音波流速計による調査結果に基づく秋季の潮流楕円

注) 調査期間：平成20年10月5日～11月6日

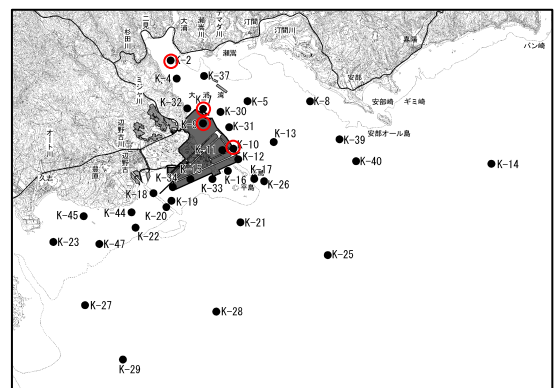
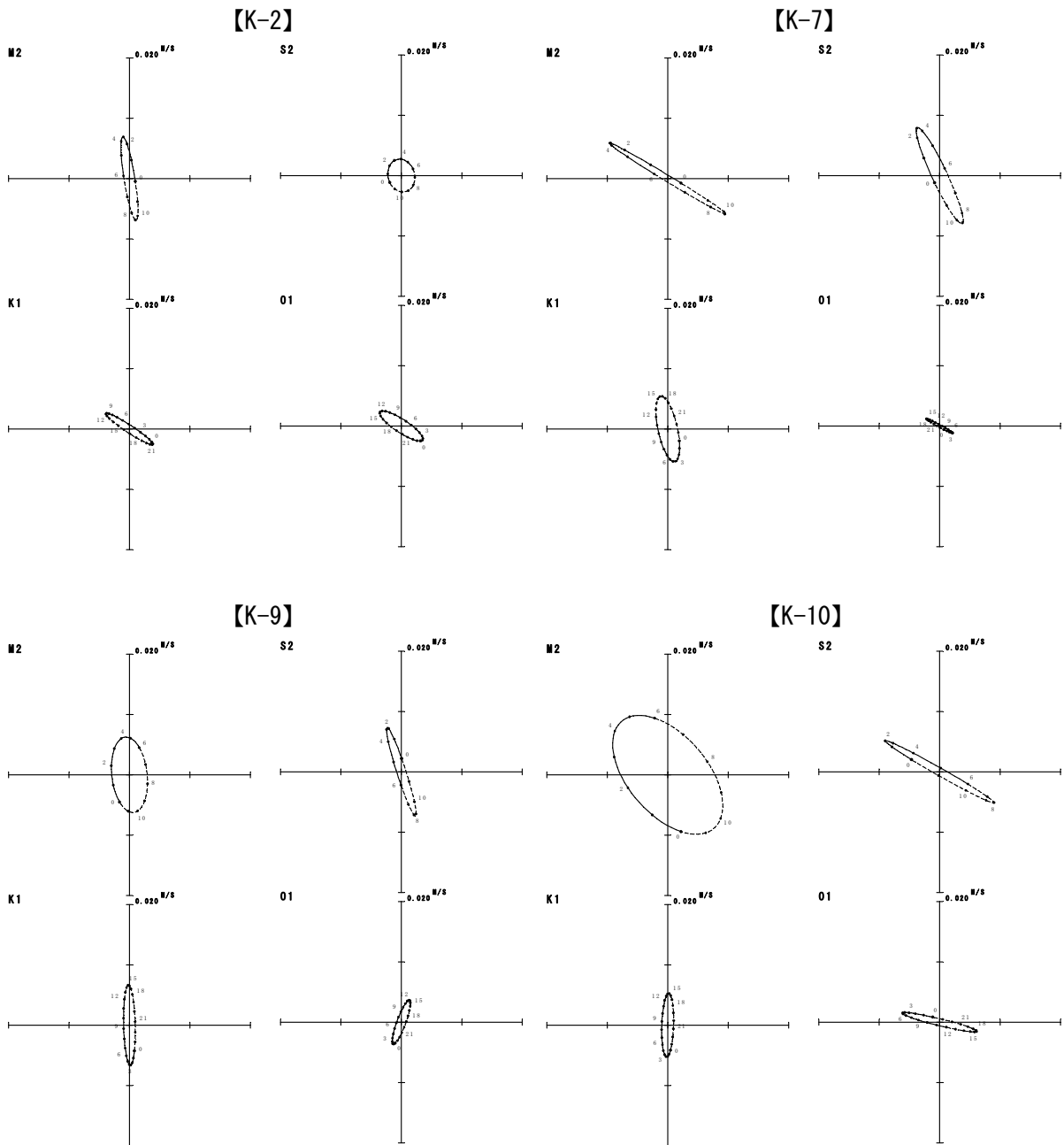


図-6.6.1.27(1) 電磁流速計による調査結果に基づく冬季の潮流楕円

注) 調査期間：平成20年12月1日～平成21年1月1日

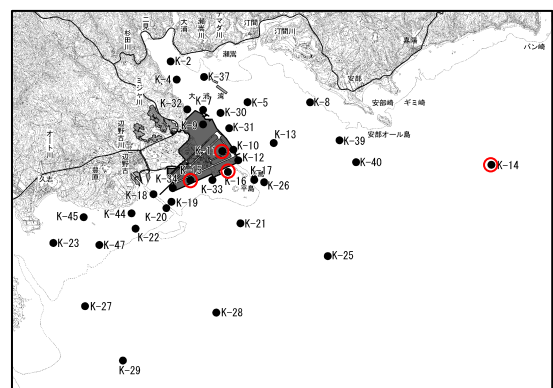
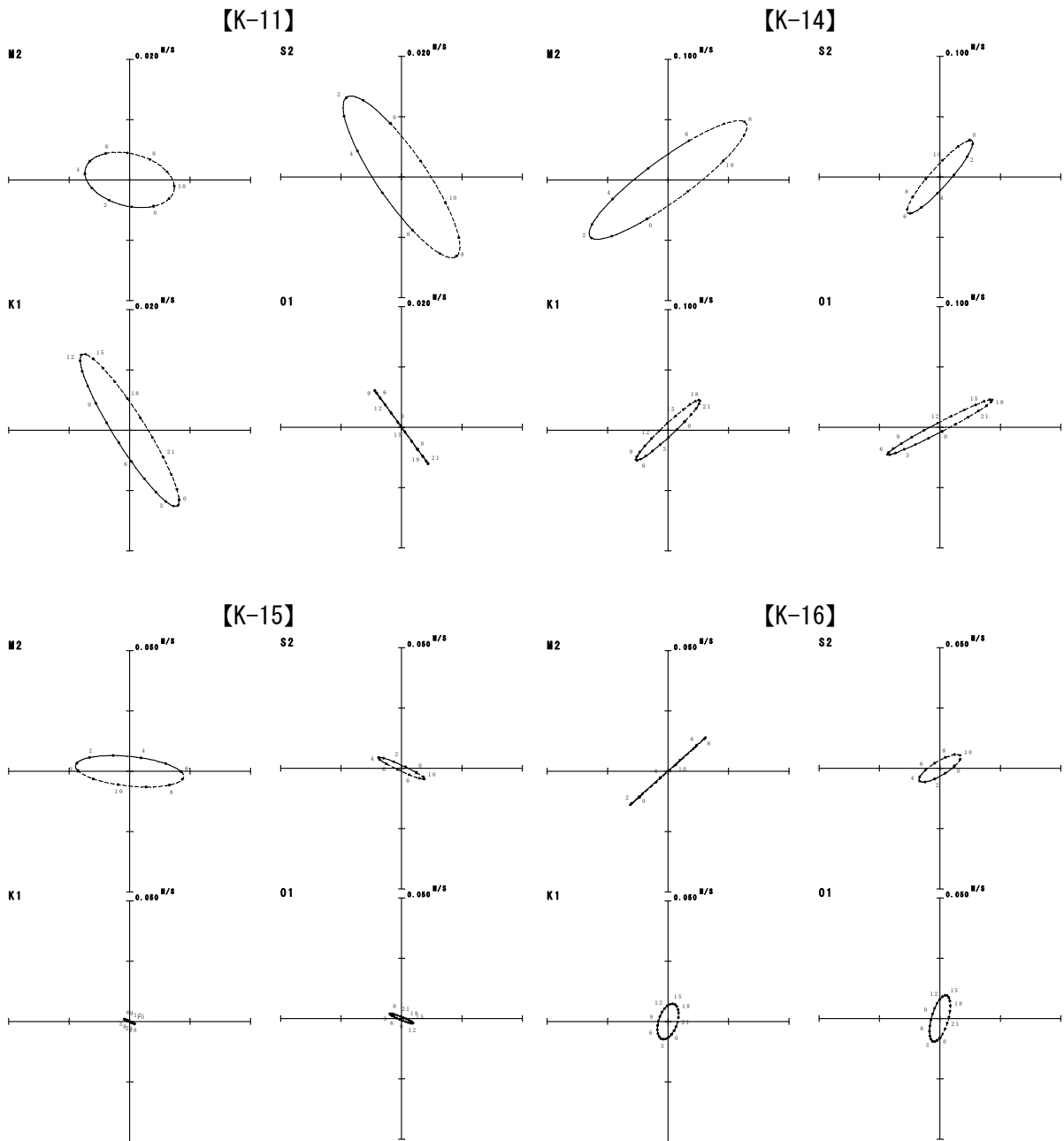


図-6. 6. 1. 27(2) 電磁流速計による調査結果に基づく冬季の潮流楕円

注) 調査期間：平成 20 年 12 月 1 日～平成 21 年 1 月 1 日

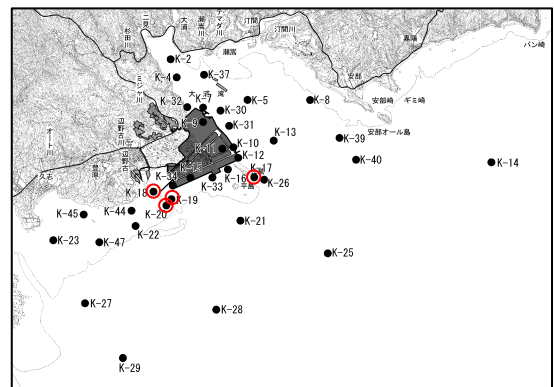
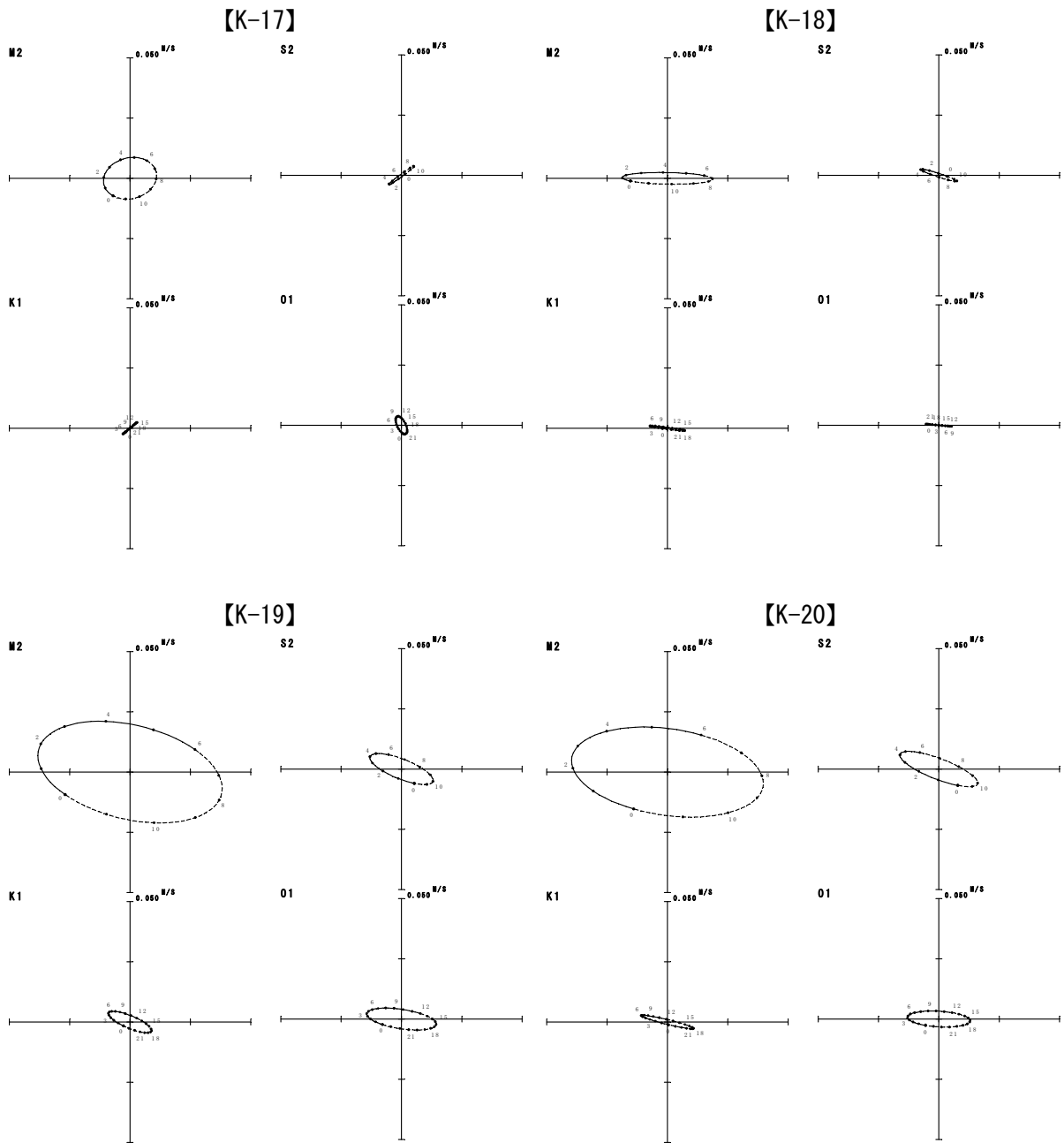


図-6. 6. 1. 27(3) 電磁流速計による調査結果に基づく冬季の潮流楕円

注) 調査期間：平成 20 年 12 月 1 日～平成 21 年 1 月 1 日

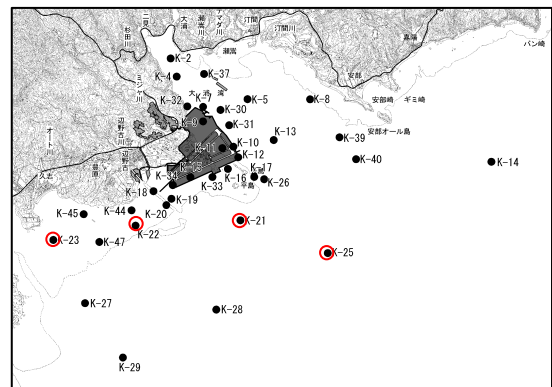
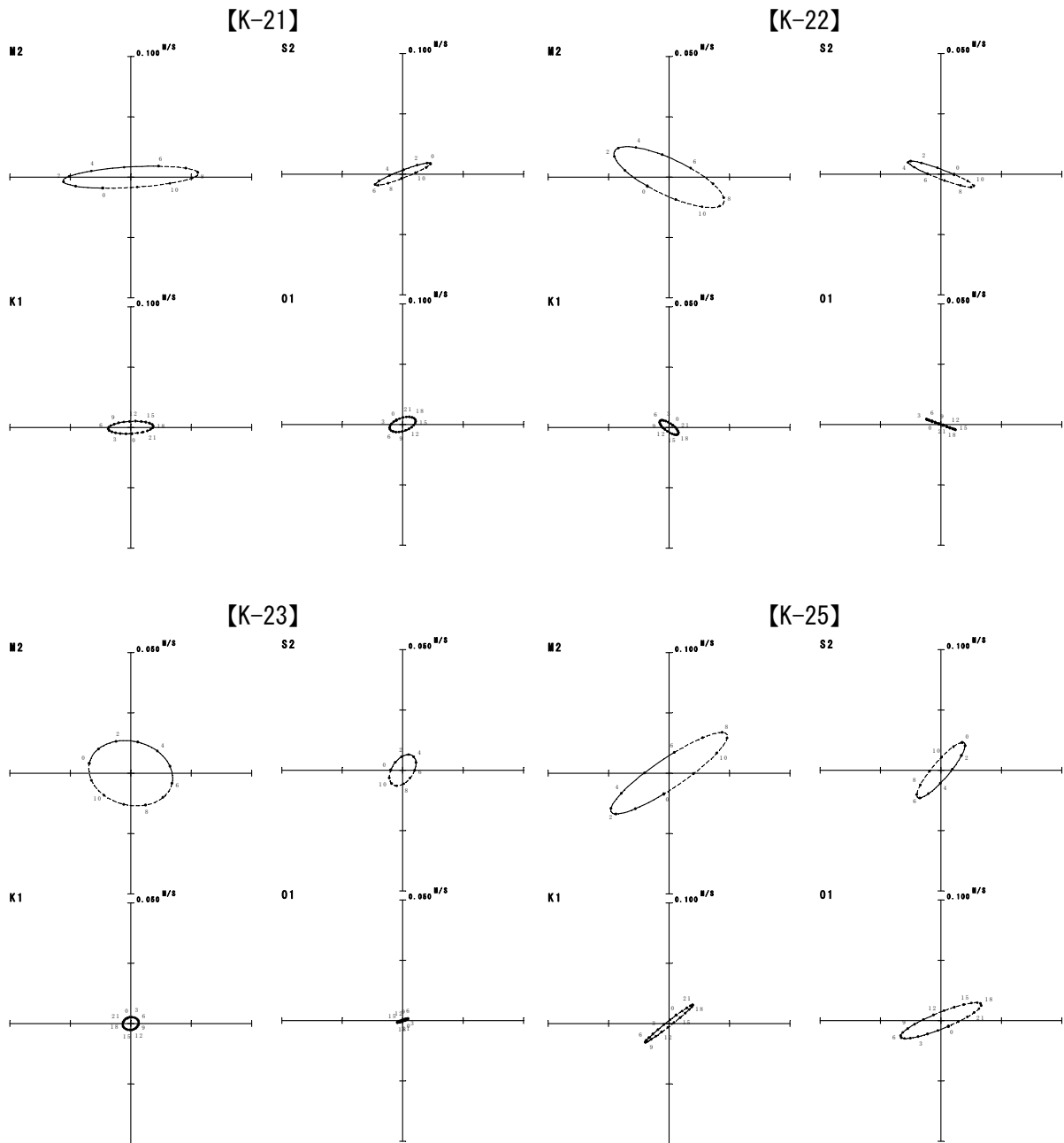


図-6. 6. 1. 27(4) 電磁流速計による調査結果に基づく冬季の潮流楕円

注) 調査期間：平成 20 年 12 月 1 日～平成 21 年 1 月 1 日

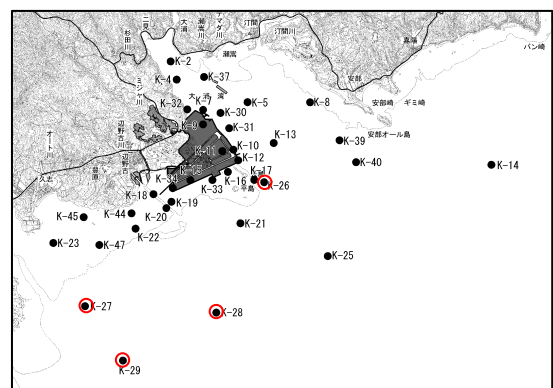
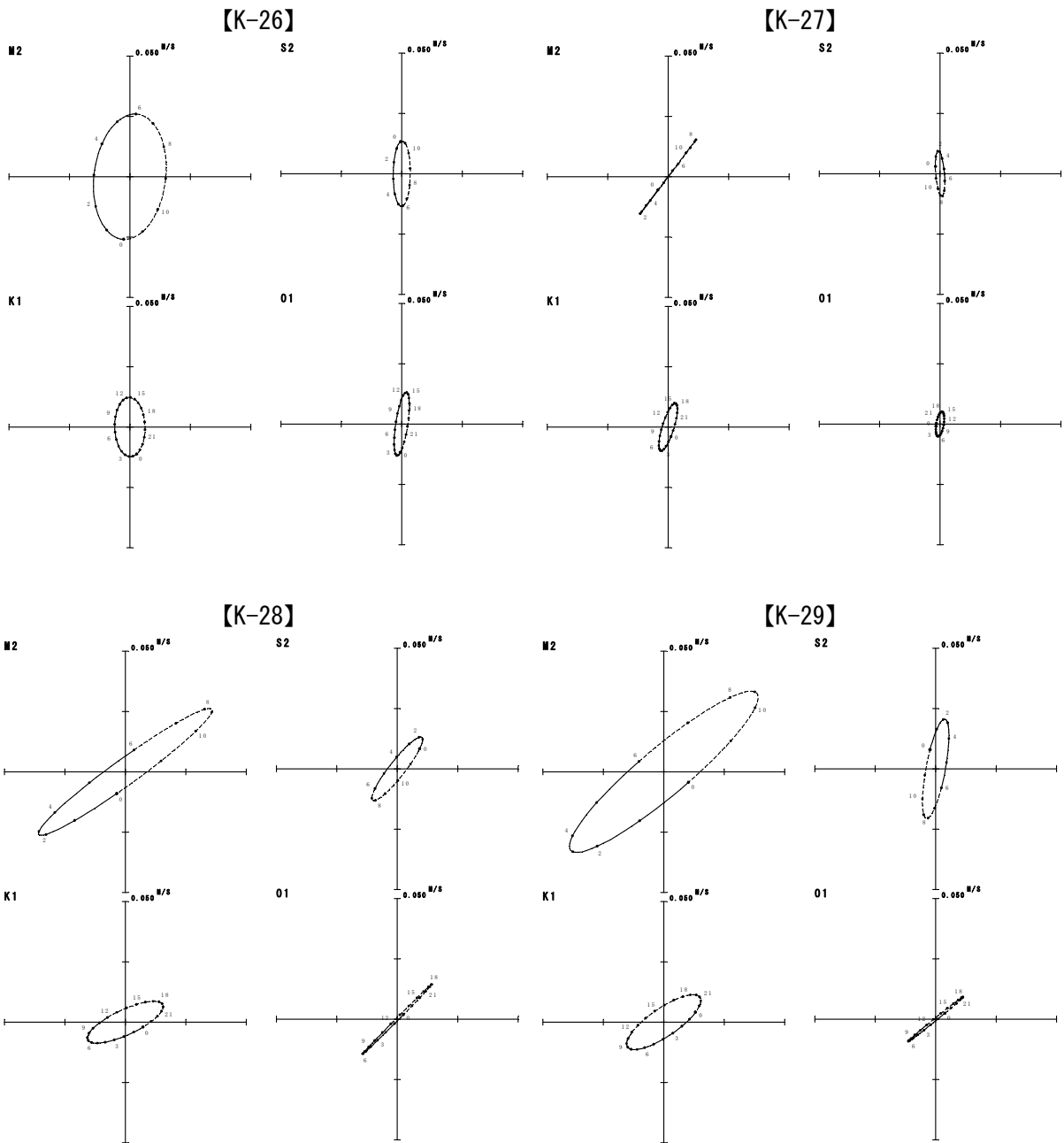


図-6. 6. 1. 27(5) 電磁流速計による調査結果に基づく冬季の潮流楕円

注) 調査期間：平成 20 年 12 月 1 日～平成 21 年 1 月 1 日

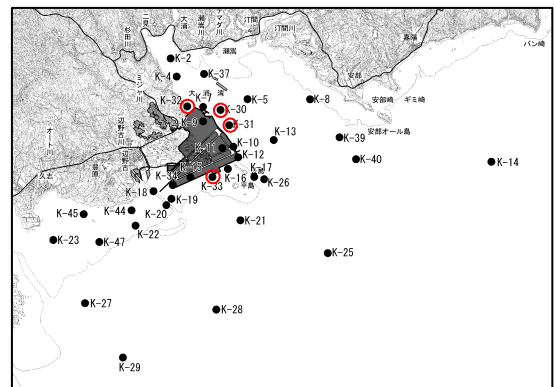
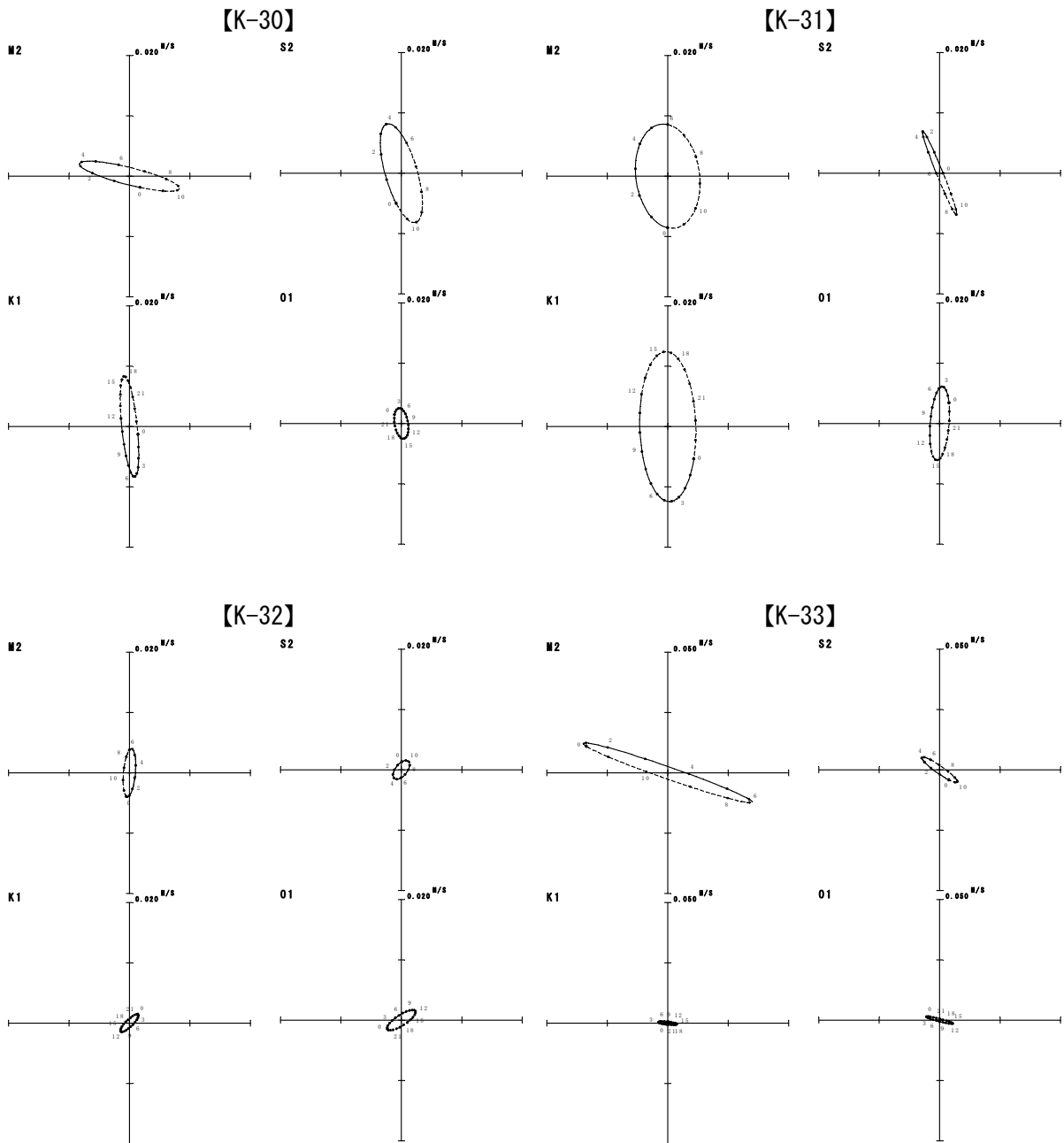


図-6. 6. 1. 27(6) 電磁流速計による調査結果に基づく冬季の潮流楕円

注) 調査期間：平成 20 年 12 月 1 日～平成 21 年 1 月 1 日

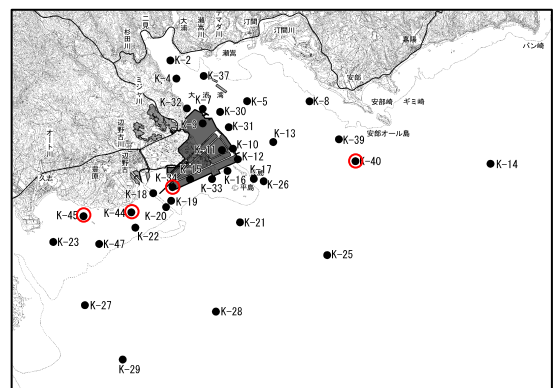
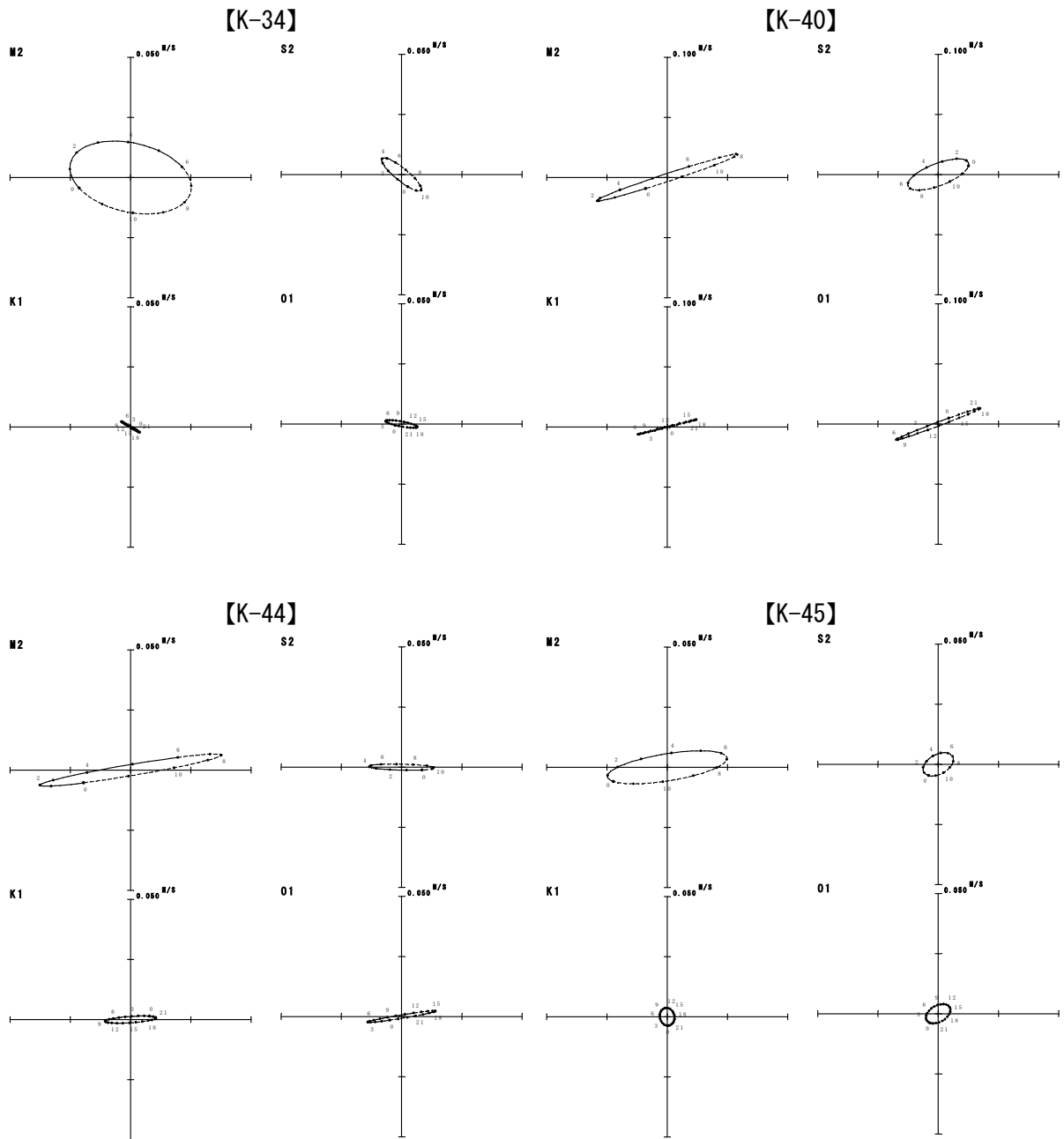


図-6. 6. 1. 27(7) 電磁流速計による調査結果に基づく冬季の潮流楕円

注) 調査期間：平成 20 年 12 月 1 日～平成 21 年 1 月 1 日

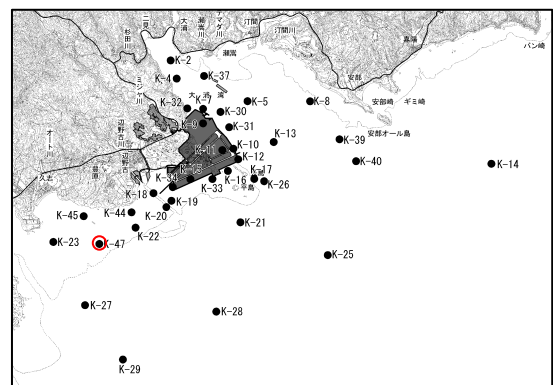
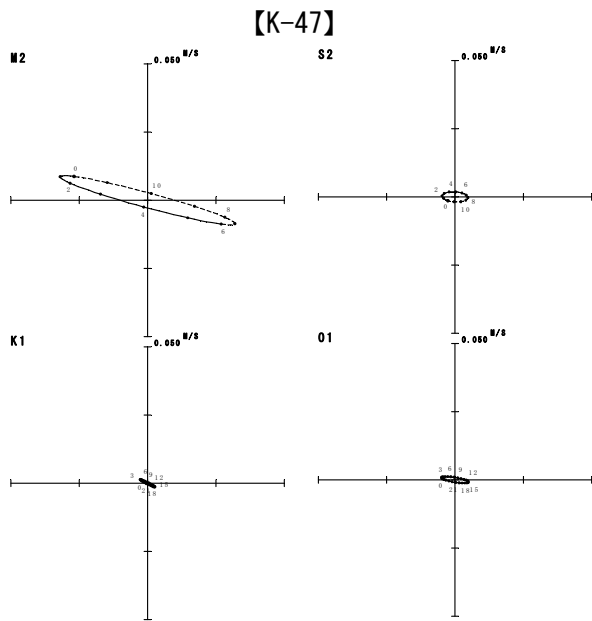


図-6. 6. 1. 27(8) 電磁流速計による調査結果に基づく冬季の潮流楕円

注) 調査期間：平成 20 年 12 月 1 日～平成 21 年 1 月 1 日

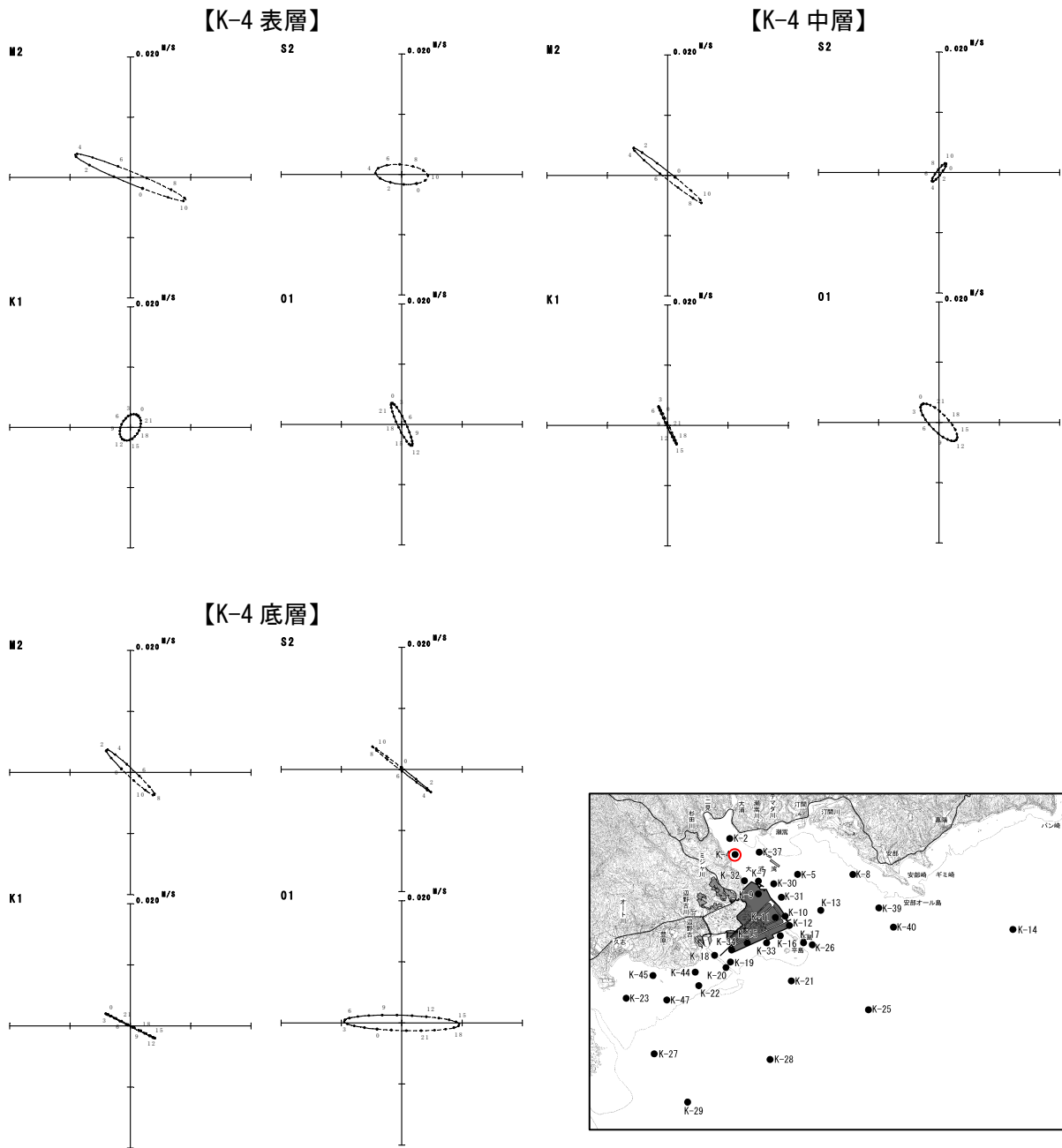


図-6.6.1.28(1) 超音波流速計による調査結果に基づく冬季の潮流楕円

注) 調査期間：平成 20 年 12 月 1 日～平成 21 年 1 月 1 日

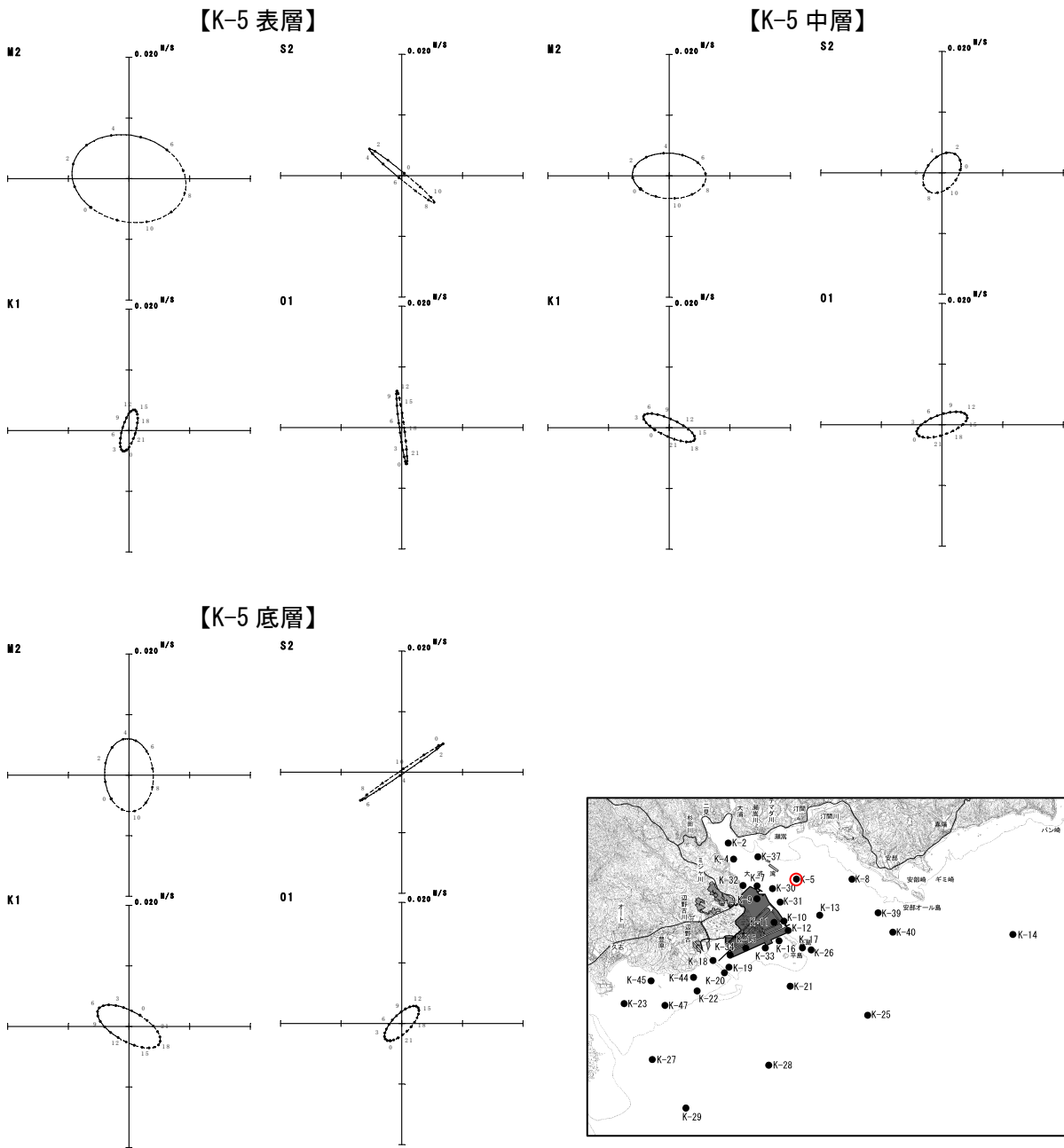


図-6. 6. 1. 28(2) 超音波流速計による調査結果に基づく冬季の潮流楕円

注) 調査期間：平成 20 年 12 月 1 日～平成 21 年 1 月 1 日

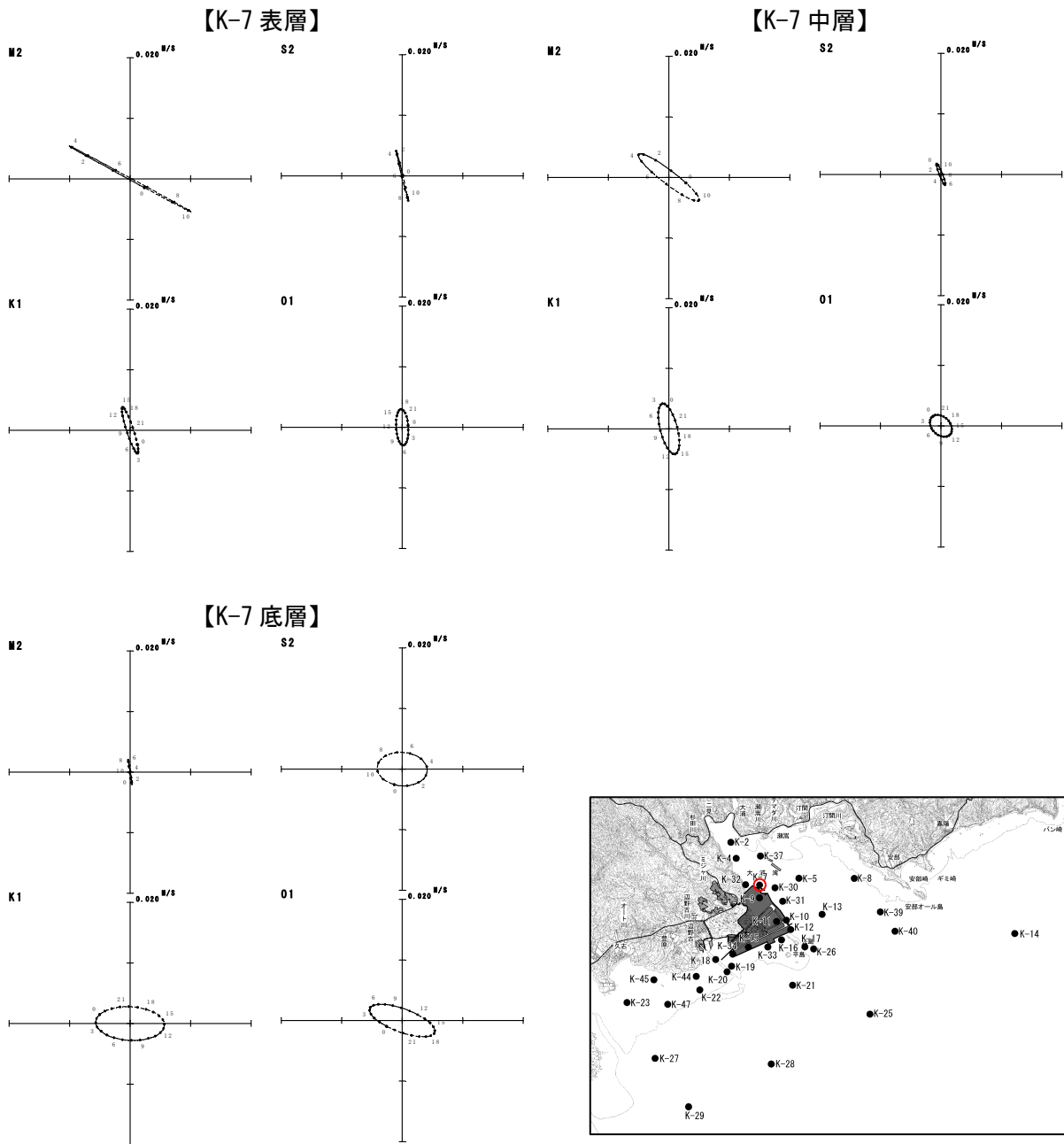


図-6. 6. 1. 28(3) 超音波流速計による調査結果に基づく冬季の潮流楕円

注) 調査期間：平成 20 年 12 月 1 日～平成 21 年 1 月 1 日

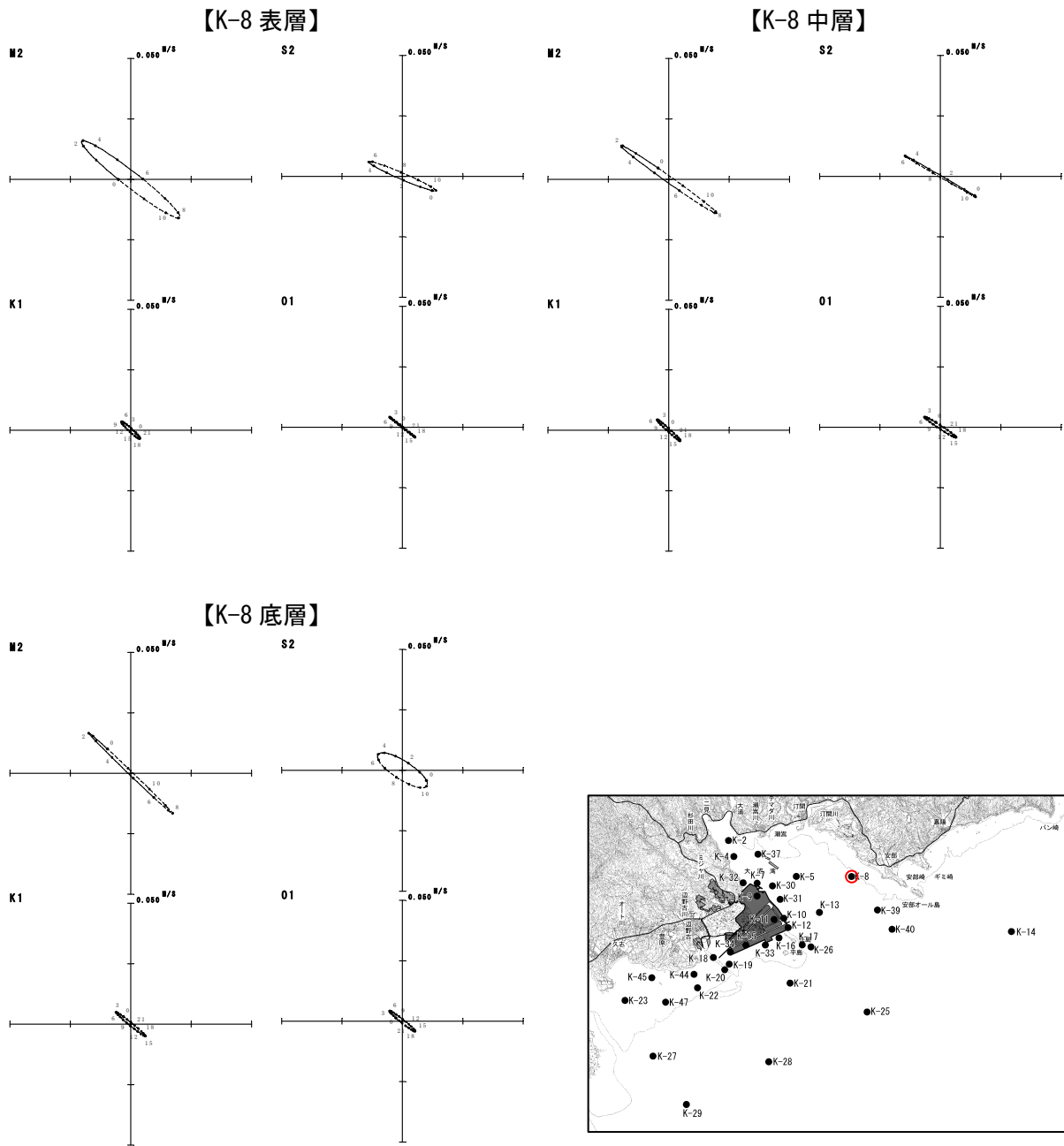


図-6. 6. 1. 28(4) 超音波流速計による調査結果に基づく冬季の潮流楕円

注) 調査期間：平成 20 年 12 月 1 日～平成 21 年 1 月 1 日

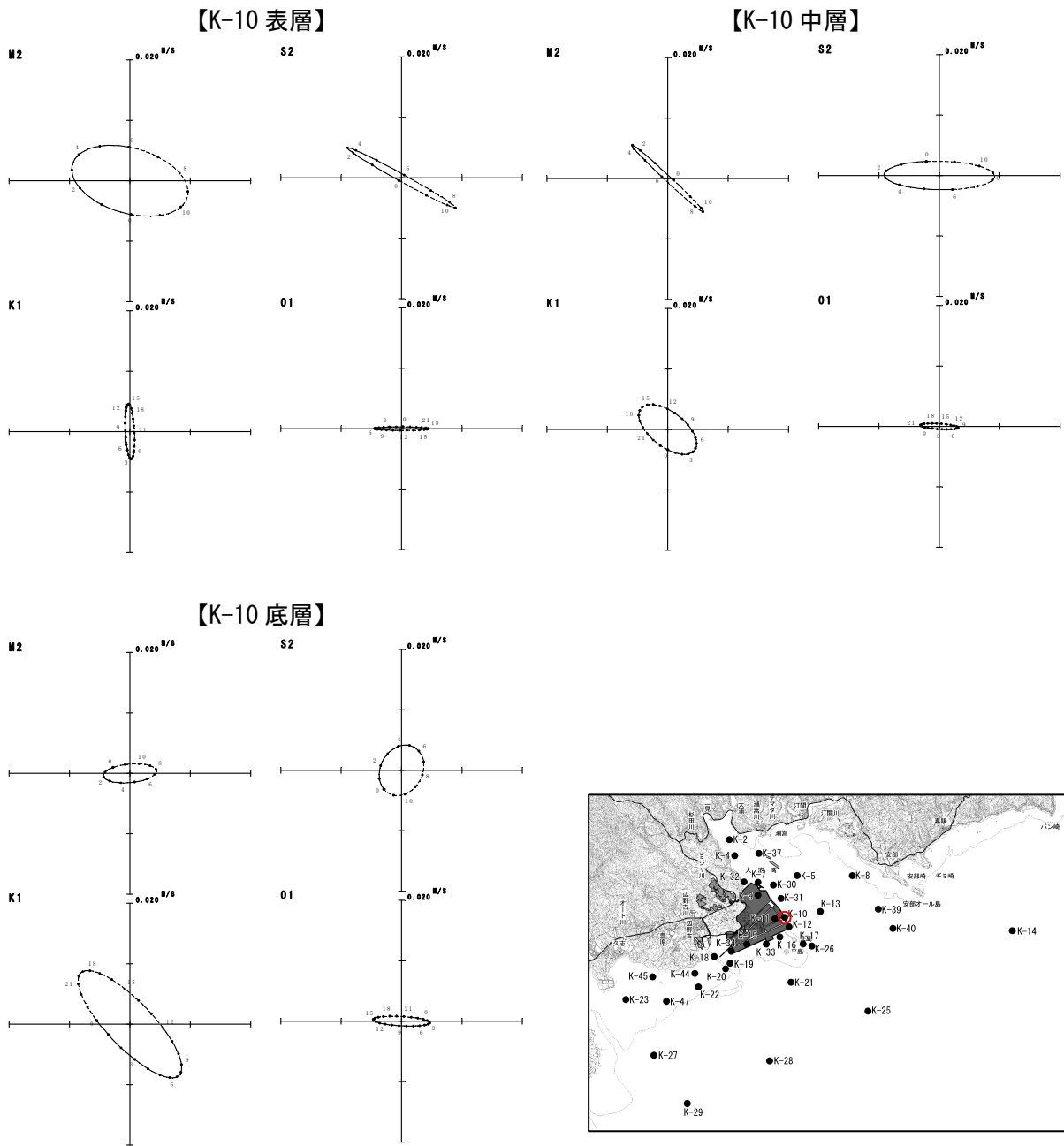


図-6. 6. 1. 28(5) 超音波流速計による調査結果に基づく冬季の潮流楕円

注) 調査期間：平成 20 年 12 月 1 日～平成 21 年 1 月 1 日

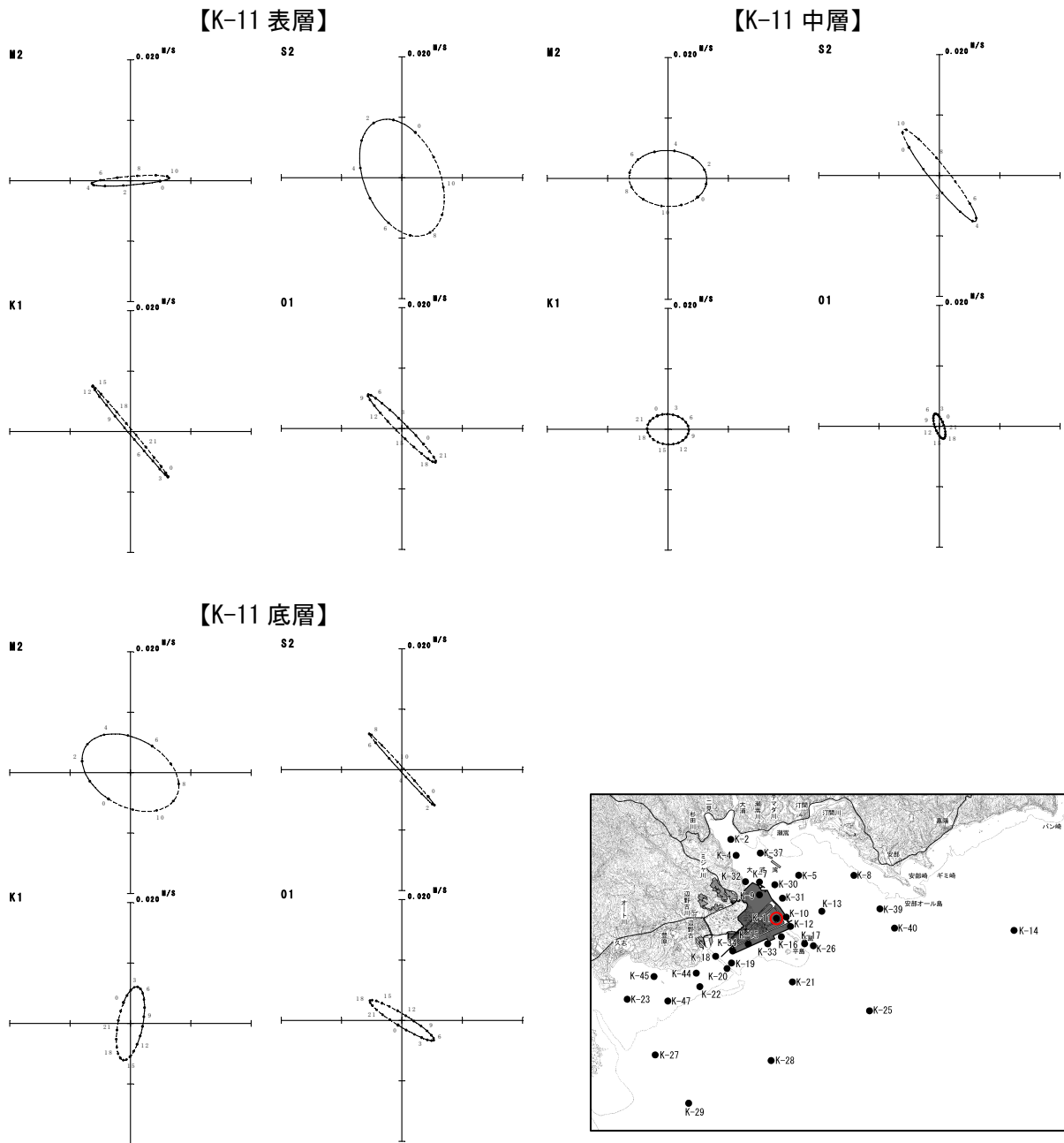


図-6.6.1.28(6) 超音波流速計による調査結果に基づく冬季の潮流楕円

注) 調査期間：平成 20 年 12 月 1 日～平成 21 年 1 月 1 日